

RÉPUBLIQUE TUNISIENNE
MINISTÈRE DE L'ENSEIGNEMENT SUPÉRIEUR,
DE LA RECHERCHE SCIENTIFIQUE
UNIVERSITÉ DE TUNIS EL MANAR



FACULTÉ DES SCIENCES DE TUNIS
DÉPARTEMENT DES SCIENCES DE L'INFORMATIQUE

Mémoire de Mastère

Présenté en vue de l'obtention du diplôme de

MASTÈRE DE RECHERCHE EN INFORMATIQUE

Par

Halima NEFZI

**PROPOSITION D'UNE NOUVELLE APPROCHE DE
RECOMMANDATION CONTEXTUELLE EN SE BASANT SUR
LA MÉTHODE D'ANALYSE HIÉRARCHIQUE DES PROCÉDÉS
(AHP)**

Soutenue le 17/02/2018 devant le jury composé de :

Mme. Amel GRISSA TOUZI

Professeuse à l'ENIT

Président de jury

Mme. Narjes DOGGAZ

Maître-Assistante à la FST

Rapporteur

M. Sadok BEN YAHIA

Professeuse à la FST

Directeur de mémoire

Au sein du laboratoire LIPAH : FST

Dédicace

À ma chère mère

Pour son sacrifice, sa tendresse, son amour infini et le soutien qu'elle m'a apporté durant toute ma vie.

À mon père

Pour son soutien, réconfort et dévouement continus.

À mes chers frères

À qui je souhaite toute la réussite et le bonheur. À toute personne qui m'a soutenue durant la période de ce projet. À tous ceux qui m'ont soutenu de près ou de loin à réaliser ce travail. Ainsi que tous ceux dont je n'ai pas indiqué le nom mais qui ne sont pas moins chers.

Remerciements

Je remercie le bon DIEU, qui m'a donné la force, la volonté et le courage pour terminer ce modeste travail.

*Mes remerciements vont également à Monsieur **SADOK BEN YAHIA**, Professeur à la Faculté des Sciences de Tunis, mon directeur de mémoire, son encadrement, son écoute, ses élucidations, ses conseils, ses directives et encouragements qu'il m'a afflué. Merci pour tout !*

*Je tiens aussi à remercier Mlle **IMEN BEN SASSI** pour l'aide qu'elle m'avait apportée tout le long de mon travail.*

*Je tiens à exprimer ma profonde gratitude à Madame **AMEL GRISSA TOUZI**, Professeur à l'École Nationale d'Ingénieurs de Tunis, pour l'honneur qu'elle m'a fait en acceptant de présider le jury de soutenance.*

*Mes remerciements s'adressent aussi à Madame **NARJES DOGGAZ**, Maître-Assistante à la Faculté des Sciences de Tunis, d'avoir accepté de rapporter mon travail avec patience et pertinence.*

J'exprime mes reconnaissances et mes respects envers tous les enseignants du Département des Sciences de l'informatique de la Faculté des Sciences de Tunis. Je tiens à remercier tous ceux, non cités ici, qui m'ont soutenu tout le long de ce travail.

Table des matières

Liste des symboles	vi
Table des figures	vii
Liste des tableaux	ix
Introduction générale	1
1 Notion de base	4
1.1 Introduction	4
1.2 Systèmes de recommandation classiques	4
1.2.1 Définition	4
1.2.2 Les données	5
1.2.3 La notion de profil dans les systèmes de recommandation	7
1.2.4 Classification des systèmes de recommandation	8
1.2.5 Les techniques de recommandation	9
1.2.5.1 Filtrage basé sur le contenu	9
1.2.5.2 Filtrage collaboratif	12
1.2.5.3 Étude comparative des méthodes collaboratives et des méthodes basées sur le contenu	20
1.2.5.4 Les méthodes hybrides	22
1.3 Limites des systèmes de recommandation	23
1.4 Les systèmes de recommandation sensibles au contexte	24
1.4.1 Définition	24

1.4.2	Contexte	25
1.4.2.1	Dimensions du contexte	25
1.4.2.2	Pertinence de l'information contextuelle	26
1.4.3	Modélisation des informations contextuelles dans les systèmes de recom- mandation	26
1.4.3.1	Les systèmes traditionnels ou bidimensionnels 2D	27
1.4.3.2	Les systèmes de recommandation contextuels	27
1.5	Conclusion	30
2	État de l'art	31
2.1	Introduction	31
2.2	Approche de Ostuni et al	31
2.2.1	Contexte	32
2.2.2	Objectif	32
2.2.3	Les techniques utilisées	32
2.2.4	Étude expérimentale	35
2.3	Approche de Campos et al	38
2.3.1	Contexte	39
2.3.2	Objectif	39
2.3.3	Les techniques utilisées	39
2.3.4	Étude expérimentale	41
2.4	Approche de Gantner et al	43
2.4.1	Contexte	44
2.4.2	Objectif	44
2.4.3	Les techniques utilisées	44
2.4.3.1	Encodage du temps en tant que contexte	44
2.4.3.2	Pairwise Interaction Tensor Factorization (PITF)	44
2.4.3.3	Méthode d'ensemble	45
2.4.4	Étude expérimentale	45
2.4.4.1	Christmas	45

2.4.4.2	Oscar	46
2.5	Approche de Biancalana et al	47
2.5.1	Contexte	47
2.5.2	Objectif	48
2.5.3	Description de l'approche	48
2.5.3.1	Recommandation de films basée sur le traitement du signal . . .	48
2.5.3.2	Réseaux de neurones et vote majoritaire pour l'identification de l'utilisateur	49
2.5.4	Les techniques utilisées	50
2.5.5	Étude expérimentale	51
2.5.5.1	Recommandations du ménage	51
2.5.5.2	Identification des évaluations	52
2.6	Approche de Shi et al	53
2.6.1	Contexte	53
2.6.2	Objectif	54
2.6.3	Les techniques utilisées	54
2.6.3.1	Similitude de film spécifique à l'humeur	54
2.6.3.2	Approche de Said et al	56
2.6.3.3	Joint Matrix Factorization (JMF)	56
2.6.4	Étude expérimentale	60
2.7	Approche de Said et al	61
2.7.1	Contexte	61
2.7.2	Objectif	61
2.7.3	Les techniques utilisées	62
2.7.3.1	Moviepilot	62
2.7.3.2	Filmtipset	64
2.7.4	Étude expérimentale	66
2.8	Approche de Wang et al	68
2.8.1	Contexte	68
2.8.2	Objectif	68

2.8.3	Les techniques utilisées	69
2.8.3.1	Le filtrage collaboratif	69
2.8.3.2	Recommandation tenant compte de l'humeur	70
2.8.4	Description de l'approche	70
2.8.4.1	Approche du filtrage collaboratif basée sur l'humeur	70
2.8.4.2	Approche du FC hybride basée sur l'humeur	72
2.8.5	Étude expérimentale	73
2.9	Étude comparative	74
2.10	Limites et discussion	76
2.11	Conclusion	76
3	Nouvelle approche de recommandation contextuelle en se basant sur la méthode d'Analyse Hiérarchique des Procédés (AHP)	77
3.1	Introduction	77
3.2	Description des méthodes de prise de décision multicritères (MCDM)	78
3.2.1	Définition des méthodes de prise de décision à critères multiples (MCDM)	78
3.2.2	Les étapes de prise de décision	80
3.2.3	Principe de fonctionnement	80
3.3	Méthode d'Analyse Hiérarchique des Procédés (AHP)	81
3.3.1	Définition de la méthode d'analyse hiérarchique des procédés (AHP) . . .	82
3.3.2	Fonctionnement de la méthode AHP	82
3.3.3	Caractéristiques de l'AHP	83
3.3.4	Mise en œuvre de la méthode AHP	83
3.3.5	Critiques	90
3.4	Approche proposée de recommandation contextuelle se basant sur la méthode AHP	91
3.4.1	Description de l'approche	91
3.4.2	Architecture de filtrage	91
3.4.3	Méthodologie de recommandation	92
3.4.3.1	Préparation et pré-traitement des données	93

3.4.3.2	Extraction de données à partir du dataset LDOS-CoMoDa . . .	93
3.4.3.3	Intégration de la méthode AHP	95
3.4.3.4	Recommandation contextuelle des films	97
3.5	Conclusion	97
4	Étude expérimentale	98
4.1	Introduction	98
4.2	Environnement d'expérimentation	98
4.2.1	Environnement matériel et logiciel	98
4.2.2	Base de test	99
4.2.2.1	LDOS-CoMoDa	99
4.2.2.2	MovieLens	100
4.2.3	Expérimentations	100
4.2.3.1	Expérimentation 1	100
4.2.3.2	Expérimentation 2	102
4.2.3.3	Expérimentation 3	105
4.2.4	Évaluation expérimentale	108
4.3	Conclusion	111
	Conclusion	112
	Annexes	114
A	LDOS-CoMoDa DATASET	115
A.1	Introduction	115
A.1.1	Présentation de dataset LDOS-CoMoDa	115
A.1.2	Description détaillée des fichiers de données	115
A.2	Conclusion	117
B	MovieLens DATASET	118
B.1	Présentation de dataset MovieLens	118
B.1.1	Informations sur le projet de recherche GroupLens	118

B.1.2	Description détaillée des fichiers de données	119
B.1.2.1	Les fichiers disponibles avec la base	119
B.2	Conclusion	122
Bibliographie		123

Table des figures

1.1	Exemple de notes : Site d'Amazon	6
1.2	LastFM : Exemple de tags	7
1.3	Système général de filtrage d'information	8
1.4	Recommandation basée sur le contenu	11
1.5	Recommandation basée sur le filtrage collaboratif	13
1.6	Exemple de recommandation basée sur le filtrage collaboratif	14
1.7	Architecture générale d'un système de filtrage collaboratif [1]	20
1.8	Pré-filtrage contextuel [2]	28
1.9	Post-filtrage contextuel [2]	29
1.10	Modélisation contextuelle [2]	30
2.1	Architecture du système [3]	33
2.2	Liste des films en fonction du profil utilisateur contextuel actuel [3]	35
2.3	Liste des options : "compagnon" [3]	36
2.4	Liste des films avec leurs descriptions [3]	36
2.5	Liste des salles de cinéma avec leurs emplacements [3]	37
2.6	La réponse de l'utilisateur et sa évaluation pour l'un des films présentés dans le cinéma [3]	38
2.7	Le modèle de PITF et les deux décompositions de Tucker et canonique [4]	43
2.8	Le modèle de PITF et les deux décompositions de Tucker et canonique [5]	45
2.9	Organigramme de l'algorithme proposé [6]	54
2.10	Un exemple illustratif du similitude de film spécifique à l'humeur [6]	55

2.11	Nombre d'évaluations par rapport à l'occurrence de taux des datasets d'apprentissage et de test [7]	62
2.12	Un diagramme entité-relation abstraite de dataset de Moviepilot [7]	64
2.13	Un diagramme entité-relation abstraite de dataset de Filmtipset [7]	65
2.14	Comparaison des performances de différentes approches FC pour le dataset Moviepilot sélectionné en ce qui concerne k le plus proche voisin [8]	74
3.1	Structure hiérarchique générique [9]	84
3.2	Format pour les comparaisons par paires [9]	84
3.3	Décomposition hiérarchique	87
3.4	Matrices des comparaisons par paires	88
3.5	Détermination de la performance relative des actions	90
3.6	Pré-filtrage contextuel [2]	92
3.7	Méthodologie de recommandation	93
3.8	Variables contextuelles et leurs propriétés de base [10]	94
3.9	Décomposition du problème en arbre hiérarchique	95
4.1	Dataset LDOS-CoMoDa	100
4.2	Histogramme des poids relatifs des genres avec tri décroissant	102
4.3	Recommandation de N-Top films	103
4.4	Recommandation de N-Top films	103
4.5	Recommandation de N-Top films	104
4.6	Film recommandé avec les informations contextuelles	104
4.7	Poids relatifs des genres avec tri dans MovieLens	106
4.8	Les poids relatifs des genres communs dans LDOS-CoMoDa et MovieLens	107
4.9	Film recommandé avec MovieLens	107
4.10	Les valeurs de précision, rappel et F-mesure pour LDOS-CoMoDa	109
4.11	Les valeurs de précision et rappel pour les deux datasets LDOS-CoMoDa et MovieLens	110
B.1	Script avec les ensembles d'apprentissage et de test	122

Liste des tableaux

1.1	Les échelles des notes les plus connues	6
1.2	Description des informations d'identification	16
1.3	Notations utilisées dans la méthode " Corrélation de Pearson "	17
1.4	Notations utilisées dans la méthode " Cosinus des vecteurs "	17
1.5	Notations utilisées de " La distance de Spearman "	18
1.6	Notations utilisées de la méthode " La similarité vectorielle "	19
1.7	Notations utilisées de " La similarité moyenne "	19
1.8	Synthèse comparative des techniques de recommandation	22
2.1	Notations utilisées dans "la similarité globale"	34
2.2	Les classificateurs utilisés dans le pré- et post-filtrage	40
2.3	Résultats d'évaluation pour la piste 1	41
2.4	Résultat de la piste 1 " MoviePilot Christmas "	46
2.5	Résultat de la piste 1 " MoviePilot Oscar "	47
2.6	Les paramètres utilisés pour l'évaluation	51
2.7	Résultats d'évaluation pour la piste 1	52
2.8	Valeur d'erreur pour " Neural network training "	52
2.9	Valeur d'erreur pour " Neural network training "	53
2.10	Les propriétés du MF	57
2.11	Comparaison des performances de la recommandation entre l'algorithme proposé et d'autres approches de base	60

2.12	Comparaison des performances de P@10 entre l’algorithme proposé et d’autres approches de référence par rapport aux utilisateurs ayant différents nombres de films classés	61
2.13	Le nombre de films, d’utilisateurs et d’évaluations dans Moviepilot	63
2.14	Affectations des tags dans Moviepilot	64
2.15	Le nombre de collections, de favoris, etc. dans Filmtipset	65
2.16	Nombre d’utilisateurs, de films et d’évaluations dans le dataset hebdomadaires Filmtipset	66
2.17	Nombre d’utilisateurs, de films et d’évaluations dans le dataset sociales Filmtipset	66
2.18	Les résultats obtenus dans chaque piste par les participants (les valeurs manquantes n’ont pas été fournies)	68
2.19	Les propriétés de la corrélation de Pearson	69
2.20	Comparaison théorique des approches dans la littérature	75
3.1	Matrice de décision [11]	79
3.2	Les étapes de la prise de décision	80
3.3	Principe de fonctionnement de MCDM	81
3.4	Échelle de Saaty [12]	85
3.5	Indice de cohérence moyen	86
3.6	Matrice des critères de décision	87
3.7	Description des critères	88
3.8	Normalisation des matrices pour les deux critères : qualité et fiabilité	88
3.9	Normalisation de matrice pour le critère : Économie	89
3.10	Évaluation des cohérences des jugements	89
3.11	Importance relative des éléments	96
4.1	Statistiques de dataset LDOS-CoMoDa	99
4.2	Statistiques de dataset MovieLens	100
4.3	Les différents types de genre pour quelques films	101
4.4	Description des genres avec leurs poids relatifs dans LDOS-CoMoDa	102
4.5	Description des genres avec leurs poids relatifs dans MovieLens	106

4.6	Description des informations personnelles de l'utilisateur	107
4.7	Notations utilisées dans les mesures de précision	108
4.8	Valeurs de métriques pour LDOS-CoMoDa	109
4.9	Précision des scores globaux [13]	110
4.10	Les valeurs de précision et de rappel pour notre approche et l'approche de Bader el al.	110
A.1	Description des variables contextuelles	116

Introduction Générale

Contexte et problématique :

La masse des données échangées aujourd'hui sur Internet constitue un atout sans précédent pour l'accès de tous à l'information. De même, l'explosion des services de recommandation de nos jours ont propulsé la recherche d'information (RI). En effet, la surabondance de l'information a engendré la dégradation de la qualité des résultats retournés par un système de recommandation et a apporté de nouveaux problèmes au domaine de recherche d'information. L'arrivée des systèmes de recommandation permet de résoudre le problème de la surcharge d'information auxquels ils sont confrontés, aujourd'hui, avec l'avènement d'Internet, en leur fournissant des recommandations. Ce sont alors des systèmes qui présentent aux utilisateurs les contenus les plus pertinents, en utilisant certaines informations concernant leurs historiques préférences.

Depuis les années 90, les systèmes de recommandation sont apparus comme un domaine de recherche indépendant. Les chercheurs ont commencé à se concentrer sur les problèmes de recommandation en s'appuyant sur la notion de classement « rating » (**R : USER x ITEM -> RATING**) pour exprimer les préférences des utilisateurs. Comme les gens disposent de leurs appareils mobiles à tout moment et partout dans le monde, l'utilisation des capacités de ces dispositifs intelligents offre une occasion importante pour améliorer la qualité des items recommandés aux utilisateurs (**Rcontext : USER x ITEM x CONTEXT -> RATING**) [14]. De ce fait, afin de choisir le film à regarder, les gens choisissent un film ou plusieurs à partir d'un grand nombre de films stockés dans une base de données (exemple : **MovieLens**). Toutefois, le choix de l'utilisateur est fortement lié à son contexte représenté par : sa localisation, le temps, son activité, et son humeur. Par exemple, un utilisateur peut regarder un film de genre "Romance" durant un jour de pluie et choisir un autre film de genre "Comedy" lorsqu'il est de

bonne humeur.

Dans ce contexte, citons le travail de Imen et al. (2017) [15], membre de notre laboratoire LIPAH, qui a exploité le contexte dans les systèmes de recommandation afin de suggérer des éléments qui aident les utilisateurs à prendre des décisions parmi un grand nombre d'actions possibles, telles que le lieu à visiter, le film à regarder ou l'ami à ajouter à un réseau social.

Alors, l'idée de proposer un système de recommandation, pouvant limiter les actions d'un ami proche ou d'un expert en adaptant les recommandations non seulement aux préférences de l'utilisateur, mais aussi à son contexte, devient de plus en plus intéressante.

Contributions

En recommandation, il peut être intéressant de placer les utilisateurs (ou les items) dans un contexte précis afin d'en extraire plus d'informations et ainsi obtenir une meilleure prédiction des préférences. L'objectif du présent mémoire est de proposer une nouvelle approche permettant l'introduction du contexte dans le processus de recommandation tout en se basant sur l'une des méthodes de prise de décision à critères multiples (MCDM) : c'est la méthode d'Analyse Hiérarchique des Procédés (AHP) qui permet de faciliter le choix de décision pour un utilisateur et aider à choisir la meilleure solution.

Plan du mémoire :

Les travaux de recherche sont synthétisés dans ce mémoire composé de quatre chapitres :

- Le premier chapitre récapitule quelques concepts de base, à savoir les systèmes de recommandation classiques et sensibles au contexte, leurs définitions et leurs techniques et leurs architectures.
- Le deuxième chapitre est consacré à la représentation des diverses approches des recommandations basées sur le contexte dans le domaine des films.
- Dans le troisième chapitre, nous allons présenter les méthodes de prise de décision à critères multiples (MCDM) et plus précisément la méthode d'Analyse Hiérarchique des

Procédés (AHP). Ensuite, nous allons proposer une nouvelle approche de recommandation contextuelle en utilisant la méthode AHP.

- Le quatrième chapitre exposera une étude expérimentale de notre nouvelle approche. Nous clôturons ce chapitre avec une synthèse de l'ensemble de nos travaux ainsi que quelques perspectives futures de recherche.

Chapitre 1

Notion de base

1.1 Introduction

Dans ce chapitre, nous présentons les notions de bases importantes que nous utilisons tout le long de ce mémoire. Nous commençons par les notions de base des systèmes de recommandations classiques en détaillant les techniques utilisées et les limites de ces systèmes. Ensuite, nous allons définir quelques notions de base des systèmes de recommandation contextuels et nous allons terminer par quelques définitions des façons d'intégration du contexte.

1.2 Systèmes de recommandation classiques

1.2.1 Définition

Les systèmes de recommandation peuvent être définis de plusieurs façons, vue la diversité des classifications proposées pour ces systèmes. La définition que nous utiliserons dans ce mémoire est une définition générale de J. Bobadilla :

les systèmes de recommandation peuvent être définis comme des programmes qui essaient de recommander les articles les plus appropriés (des produits ou des services) aux utilisateurs particuliers (des individus ou des affaires (activités)) en prévoyant l'intérêt d'un utilisateur dans un article basé sur des informations liées sur les articles, les utilisateurs et les interactions

entre des articles et des utilisateurs [16].

Définition de Burke et Robin " Des systèmes capables de fournir des recommandations personnalisées permettant de guider l'utilisateur vers des ressources intéressantes et utiles au sein d'un espace de données important " [17].

Voici les travaux qui ont menés en collaboration avec notre laboratoire LIPAH concernant les systèmes de recommandation personnalisés : Jelassi et al. (2013 [18], 2014 [19], 2015 [20], 2016 [21]).

D'après Chris Anderson dans " The Long Tail ", les bouleversements qu'a subi le Web et la masse de données qui constituent Internet font que " nous quittons progressivement l'âge de l'information pour rentrer dans l'âge de la recommandation " [22].

La tâche d'un système de recommandation consiste à accomplir un filtrage d'information afin de suggérer à un utilisateur des articles à acheter (ex. e-commerce) ou bien d'autres utilisateurs avec qui interagir/se connecter (ex. réseaux sociaux) [23]. Ces recommandations peuvent concerner un article à lire, un livre à commander, un film à regarder, un restaurant à choisir, une musique à écouter, etc. Ainsi, l'utilisation des systèmes de recommandation est arrivée pour résoudre le problème de surcharge et de profusion d'informations disponibles notamment à travers le Web ou les e-services.

1.2.2 Les données

Les deux entités de base qui apparaissent dans tous les systèmes de recommandations sont l'utilisateur et l'article (Item en Anglais). En effet, l'utilisateur est la personne qui utilise un système de recommandation, donne son opinion sur divers articles et reçoit les nouvelles recommandations du système et l'item est le terme général utilisé pour désigner ce que le système recommande aux utilisateurs. Les données d'entrée pour un système de recommandation dépendent du type de l'algorithme de filtrage employé. Généralement, elles appartiennent à l'une des catégories suivantes :

- **Des notes** aux items consultés indiquant le degré d'appréciation d'un item par cet utilisateur. Les notes sont souvent numériques et limitées par une échelle de valeurs.

Une note élevée signifie que l'utilisateur accorde un grand intérêt à l'item et qu'il correspond bien à ses goûts. Par contre, une note faible signifie que l'utilisateur ne s'intéresse pas à l'item. Dans d'autres cas, les notes peuvent être exprimées sous une forme binaire telle que "Aime" ou "Aime pas".

Les notes permettent de faciliter l'apprentissage des appréciations vu que les notes sont faciles à traiter par le système de recommandation. Les utilisateurs n'ayant pas les mêmes façons de noter, les notes peuvent ne pas être fiables. En effet, certains utilisateurs attribuent des notes élevées et d'autres non. Par exemple, sur une échelle [1 – 5], une note qui vaut 3 peut être négative pour un utilisateur et plutôt neutre pour un autre.

Exemple 1 (Site d'Amazon) Considérons l'exemple ci-dessous des notes dans le site "Amazon" :

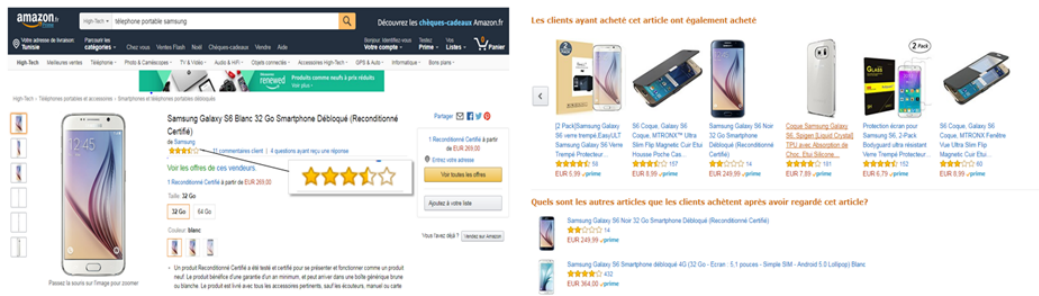


FIGURE 1.1 – Exemple de notes : Site d'Amazon

Le tableau 1.1 donne les échelles des notes avec leurs descriptions :

Type d'échelle	Description
Unaire	"Aime" ou "Je sais pas"
Binaire	"Aime" ou "Aime pas"
Entier	[1 – 5],[1 – 7] ou [1 – 10]

TABLE 1.1 – Les échelles des notes les plus connues

- **Des commentaires, des mots-clés ou des tags sur des items** ces tags ont eu l'intention d'inclure chaque artiste disponible sur LastFM indépendamment du genre et promouvoir un sens communautaire. Quand complété (achevé), toute la radio d'étiquette devrait fournir tout le

monde la capacité d'avoir accès à une sélection largement éclectique de musique. Ceci permettra à l'utilisateur de découvrir et développer des intérêts dans des styles de musique auxquels ils ne seraient pas autrement normalement exposés.

Exemple 2 (LastFM) La figure 1.2 montre un exemple d'ajout de tags sur le site de recommandation de musique "LastFM".



FIGURE 1.2 – LastFM : Exemple de tags

- **Des attributs démographiques** ces attributs concernant l'utilisateur, tels que : l'âge, le sexe, la catégorie socio-professionnelle, le niveau d'étude, la localité géographique, le statut personnel, etc. Ils ne fournissent pas d'informations sur les appréciations, mais ils permettent notamment d'affiner le profil utilisateur afin d'y adapter les recommandations.

1.2.3 La notion de profil dans les systèmes de recommandation

Les profils pour réaliser le filtrage, les systèmes de recommandation utilisent *les profils* représentant des préférences relativement stables des utilisateurs pour calculer des recommandations. Ce calcul se fait par la prédiction des scores qu'un utilisateur est susceptible d'attribuer aux contenus.

Les systèmes de recommandation adaptent ce profil au cours du temps en exploitant au mieux le retour de pertinence que les utilisateurs fournissent sur les documents reçus. Par exemple, dans la figure 1.3, la fonction de décision du système traite les flux entrant de documents pour suggérer à l'utilisateur, en consultant son profil, les documents qu'il préfère. Par la suite, l'utilisateur doit évaluer fréquemment les recommandations pour que le système comprenne mieux ses besoins en informations et lui fournisse par conséquent de meilleures nouvelles recommandations.

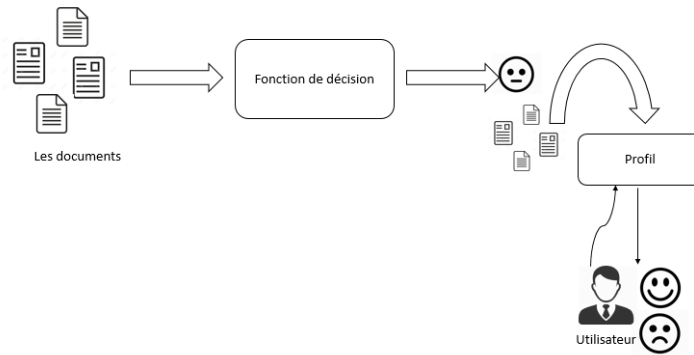


FIGURE 1.3 – Système général de filtrage d’information

1.2.4 Classification des systèmes de recommandation

Il existe plusieurs classifications des systèmes de recommandations :

- **La classification classique** cette classification de Adomavicius et Tuzhilin [24] est reconnue par trois types de filtrage : un filtrage collaboratif (CF), un filtrage basé sur le contenu (CBF) et le filtrage hybride.
- **La classification de Su et al.[25]** elle est utilisée dans les systèmes de collaboration. Ils proposent une sous classification qui comprend les techniques hybrides et les classer dans les méthodes de collaboration. Su et al. [25] classent le filtrage collaboratif en trois catégories :
 - Approches CF à base de mémoire : pour K-plus proches voisins.
 - Approches CF basé sur un modèle englobant une variété de techniques telles que : Clustering, les réseaux bayésiens, factorisation de matrices, les processus de décision de Markov.
 - CF hybride qui combine une technique de recommandation CF avec une ou plusieurs autres méthodes.
- **La classification de Rao and Talwar [26]** c’est une classification en fonction de la source d’information utilisée.

Pour tous les systèmes de recommandation développés jusqu’à nos jours, la collecte de données relatives aux utilisateurs et/ou aux items, représente une phase clé dans le processus

de personnalisation. La sous-section qui suit décrit les techniques utilisées par les systèmes de recommandation.

1.2.5 Les techniques de recommandation

Il existe une large variété de techniques de recommandation. À travers les travaux de recherche, différentes tentatives de classification des approches ou des techniques ont été réalisées. La classification de ces approches dépend notamment du type de données exploitées et de la méthode d'apprentissage utilisée par le système de recommandation. Dans cette partie, nous présentons les principales techniques de recommandation avec leurs apports et leurs limites.

Plusieurs facteurs entrent en considération afin de catégoriser les systèmes de recommandation :

- La connaissance de l'utilisateur c'est à dire le profil de l'utilisateur en fonction de ses préférences.
- La notion de classes ou réseaux d'utilisateurs : le positionnement d'un utilisateur par rapport aux autres.
- La connaissance des items à recommander.
- La connaissance des différentes classes d'items à recommander.

À partir de ces facteurs, divers types de recommandations ont été produits. Parmi les techniques les plus utilisées dans la littérature sont le filtrage basé sur le contenu, le filtrage collaboratif et les méthodes hybrides.

1.2.5.1 Filtrage basé sur le contenu

Dans cette partie, nous définissons dans un premier lieu le filtrage basé sur le contenu, puis nous donnons l'architecture générale de ce filtrage ainsi que les deux types de recommandation basée sur le contenu.

a) Définition du filtrage basé sur le contenu

Le filtrage basé sur le contenu est une évolution générale des études sur le filtrage d'information s'appuie sur des évaluations effectuées par un utilisateur sur un ensemble des

documents ou items [27].

Naak [28] a défini le filtrage basé sur le contenu comme ceci : *" les méthodes basées sur le contenu, comme leur nom l'indique, se basent sur la compréhension de pourquoi l'utilisateur, à qui la recommandation est destinée, a donné une haute valeur à certains items qu'il a évalués dans le passé ? Une fois cette question résolue, le système cherche parmi les nouveaux items ceux qui maximisent ces caractéristiques pour les lui recommander "*.

La technique de recommandation basée sur le contenu peut être appliquée à la recommandation de pages Web, de films, d'articles actualités, de restaurants, etc. Cette technique a pour avantage de pouvoir générer des recommandations en dépit d'une situation de démarrage à froid.

b) Architecture générale

Cette technique de recommandation basée sur le contenu s'articule autour de trois modules principaux :

- **L'analyseur de contenu** : selon la nature des données à recommander (texte, éléments multimédia, pages Web, produits commerciaux, etc.), une étape de pré-traitement est nécessaire afin de décrire les objets à recommander et d'en extraire les caractéristiques. Le module d'analyse de contenu est responsable de produire une description structurée de ces objets. Cette description va servir d'élément d'entrée aux autres modules.
- **Le module d'apprentissage de profils** : ce module est responsable de l'analyse des interactions passées de l'utilisateur sur les objets du système. En utilisant des méthodes empruntées au monde de l'apprentissage, ce module construit une description des préférences des utilisateurs.
- **Le module de filtrage** : à partir des profils utilisateurs et des descriptions des objets à recommander, ce module construit des listes de suggestions à présenter aux utilisateurs.

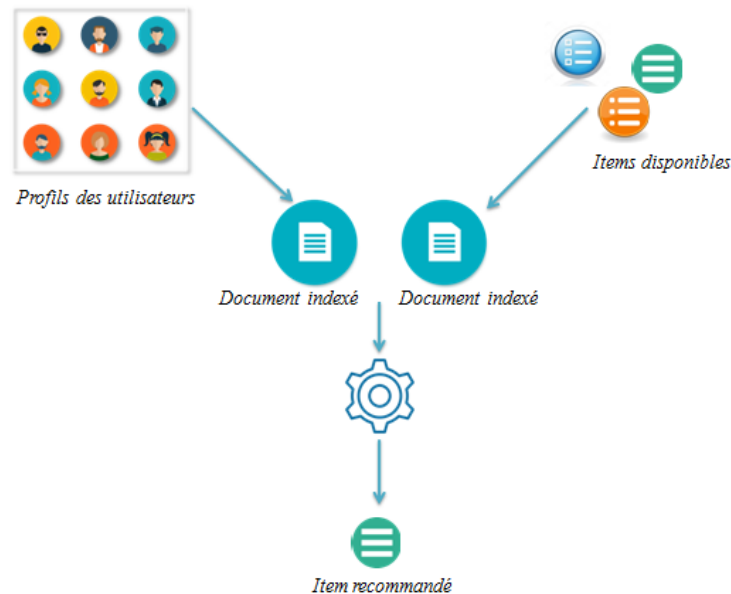


FIGURE 1.4 – Recommandation basée sur le contenu

c) Les deux types de recommandation basée sur le contenu

On distingue deux types de recommandation basée sur le contenu : la recommandation basée sur les mots clefs ainsi que la recommandation basée sur la sémantique.

- **Recommandation basée sur les mots clefs** lorsqu'un utilisateur a tendance à consulter souvent des articles portant sur le domaine de la génétique, le système lui proposera des recommandations liées à la génétique. En effet, ces articles disposent de mots-clés communs tels que : "ADN", "gène" ou "protéine".

Lorsque des caractéristiques plus complexes sont nécessaires, les approches à base de mots clefs montrent leurs limites. Si l'utilisateur, par exemple, aime "l'impressionnisme Français", les approches à base de mots-clefs chercheront seulement des documents dans lesquels les mots "Français" et "impressionnisme" apparaissent. Des documents concernant Claude Monet ou Renoir n'apparaîtront pas dans l'ensemble des recommandations, même s'ils sont susceptibles d'être pertinents pour l'utilisateur.

- **Recommandation basée sur la sémantique** les systèmes de recommandation basés sur la sémantique évoluent au rythme des méthodes et outils proposés dans le

domaine du Web sémantique. La sémantique a été introduite par plusieurs méthodes dans le processus de recommandation. Ces méthodes sont abordées en tenant compte de plusieurs critères :

- Le type de source de connaissance impliquée (lexique, ontologie, etc.).
- Les techniques adoptées pour l’annotation ou la représentation d’items.
- Le type de contenu inclus dans le profil utilisateur.
- La stratégie de correspondance entre items et profil.

Il existe différents méthodes basées sur le contenu qui ont donné des résultats pertinents et plus précis comparés aux méthodes traditionnelles basées sur le contenu.

SiteIF c’est le premier système à adopter une représentation basée sur le sens des documents pour construire un modèle des intérêts de l’utilisateur. SiteIF est un agent personnel pour un site Web de nouvelles multilingues [29].

ITR : ITerm Recommender un système capable de fournir des recommandations d’items dans plusieurs domaines (films, musique, livres), à condition que les descriptions d’articles soient disponibles sous forme de documents texte [30].

SEWeP : Semantic Enhancement for Web Personalization est un système de personnalisation Web, qui utilise à la fois les logs d’utilisation et la sémantique du contenu du site Web dans le but de le personnaliser.

Quickstep est un système de recommandation d’articles de recherche académique. Le système adopte une ontologie d’articles de recherche basée sur la classification scientifique du projet DMOZ open directory [31].

Informed Recommender ce système utilise les avis des utilisateurs sur les produits pour faire des recommandations. Le système convertit les opinions des clients dans une forme structurée en utilisant une ontologie de traduction, qui est exploitée pour la représentation et le partage de connaissance [32].

1.2.5.2 Filtrage collaboratif

a) Définition du filtrage collaboratif

Lorsque les systèmes de recommandation basés sur le contenu trouvent des propriétés

semblables, le filtrage collaboratif (FC) trouve des évaluations semblables. Ces systèmes comparent des utilisateurs et des articles seulement par le comportement d'utilisateur passé (c'est-à-dire les rangées et les colonnes de la matrice utilitaire), sans regarder leurs propriétés.

Cette deuxième grande famille de systèmes de recommandation est basée sur l'hypothèse que les utilisateurs qui ont aimé des articles similaires par le passé ont un goût similaire et vont donc apprécier les mêmes articles dans le futur. Un des exemples les plus connus d'un tel système a été popularisé par le site de commerce en ligne "Amazon.com" et son algorithme de Item-to-item Collaborative Filtering qui se traduit sur le site par la fonctionnalité "Les gens qui ont acheté le produit x ont aussi acheté le produit y" [33]. La figure 1.5 décrit la technique de filtrage collaboratif.

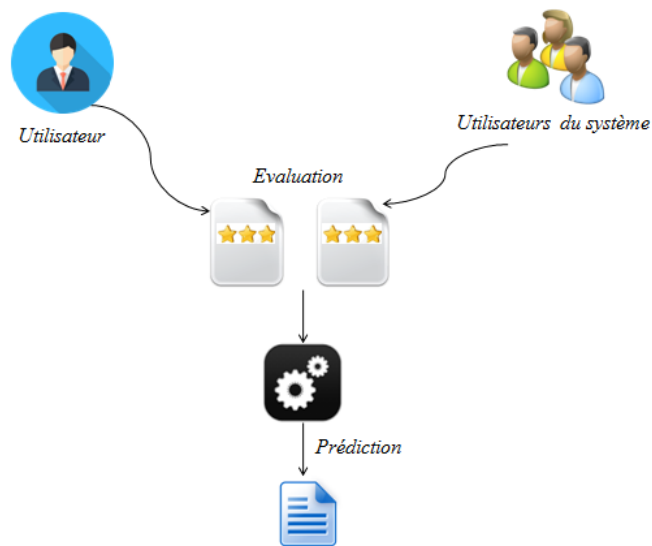


FIGURE 1.5 – Recommandation basée sur le filtrage collaboratif

Dans un système de filtrage collaboratif, il faut que les utilisateurs fournissent des évaluations des items qu'ils ont déjà utilisés, sous forme des notes, pour constituer leurs profils. Il n'y a aucune analyse du sujet ou du contenu des objets à recommander. Ce type de système est très efficace en cas où le contenu des objets est complexe, il est compliqué ou impossible de l'analyser, l'utilisateur peut apercevoir divers domaines intéressants, car le principe du filtrage collaboratif ne se fonde absolument pas sur la dimension thématique

des profils, et n'est pas soumis à l'effet « entonnoir ».

L'avantage principal de cette approche est qu'elle ne nécessite pas de description précise des objets à recommander. Les recommandations étant basées sur l'ensemble des interactions des utilisateurs avec les objets/produits, cette méthode permet de recommander des objets complexes sans avoir à les analyser. La plupart des services de recommandation de musique en ligne fonctionnent sur ce mode (ex. **LastFM**) car les fichiers multimédia sont difficiles à analyser.

Exemple 3 (un groupe d'amis sur MovieLens) la figure 1.6 représente un tableau de films : sur un axe les utilisateurs d'un même système et sur un autre les films. Chaque cellule de la matrice contient l'avis donné par un utilisateur pour un film, la cellule vide signifie qu'il n'a pas d'avis particulier sur ce film. Afin de prédire si **Mourad** apprécierait le film "**Harry Potter**" et probablement lui recommander ce film, on compare les votes de **Mourad** à ceux des autres utilisateurs choisis. On peut alors voir que **Mourad** et **Rahma** ont des votes identiques, et que **Rahma** n'a pas aimé le film "**Harry Potter**" et "**les Reliques de la Mort**", on pourrait alors prédire que **Mourad** n'aimera pas aussi ce film et de ne lui pas faire cette suggestion.


















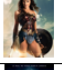
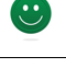


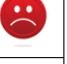

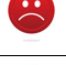
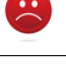
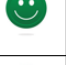
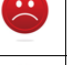
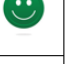

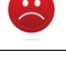

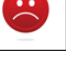

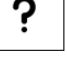
	Ahmed	Ines	Rahma	Amine	Mourad
					
					
					
					
					
					

FIGURE 1.6 – Exemple de recommandation basée sur le filtrage collaboratif

b) Processus du filtrage collaboratif

Évaluation des recommandations : pour pouvoir fonctionner, le système a besoin de collecter des données sur les utilisateurs et leurs préférences, cette collecte peut se faire

de deux façons : Collecte explicite et Collecte implicite

- **Collecte explicite** : dans ce cas, les utilisateurs sont sollicités pour émettre leurs avis sur des produits/objets. Ils peuvent le faire via un système de notation (ex. une grille de 5 étoiles, un questionnaire de satisfaction), ou bien en publiant leurs avis sur un élément donné (ex. La fonctionnalité "J'aime" sur le réseau social Facebook permet aux utilisateurs d'exprimer leur intérêt pour un élément donné).
- **Collecte implicite** : s'intéresse aux interactions des utilisateurs sur le système. Les exemples de cette collecte incluent la surveillance du nombre de visites sur une page, le nombre de vues sur une vidéo, le temps passé sur une section donnée ou de l'historique des achats sur une plateforme de e-commerce.

Production des recommandations : une fois la communauté de l'utilisateur est créée, le système prédit l'intérêt qu'un document particulier peut présenter pour l'utilisateur en s'appuyant sur les évaluations que les membres de la communauté ont faites sur ce même document. Lorsque l'intérêt prédit dépasse un certain seuil, le système recommande le document à l'utilisateur.

Profil de l'utilisateur : le profil de l'utilisateur est composé d'un ensemble des prédicats pondérés. Ce profil s'enrichit progressivement au fur et à mesure que l'utilisateur évalue des documents reçus. Outre les informations d'identification de base, le profil de l'utilisateur peut regrouper des informations très diverses selon les besoins.

Informations d'identification	Description
Les caractéristiques personnelles	Ces caractéristiques peuvent influencer fortement l'interaction (âge, sexe, etc.).
Sécurité	Cette dimension est le niveau de confidentialité concernant tous les autres critères.
Livraison	On peut citer la modalité de livraison des informations comme le format, le standard, le volume, le mode de visualisation et le délai.
Historique des interactions avec le service	Cet historique permet de modéliser les habitudes comportementales.

TABLE 1.2 – Description des informations d'identification

Communautés : la notion des communautés est définie comme le regroupement des utilisateurs en fonction de l'historique de leurs évaluations, afin que le système calcule des recommandations. Selon cette optique, les profils sont un facteur interactif alors que les communautés sont considérées comme un facteur interne du système.

Calcul de la prédiction pour un système de filtrage collaboratif : l'exploitation des données disponibles dans un système de filtrage peut se faire de plusieurs manières. Ces méthodes sont classées en deux principales familles : les algorithmes basés sur la mémoire et les algorithmes basés sur le modèle.

Algorithmes basés sur la mémoire : ils utilisent l'ensemble de la base de données des évaluations des utilisateurs pour faire les prédictions : les évaluations de l'utilisateur actif sont prédites à partir d'informations partielles concernant l'utilisateur actif, et un ensemble de poids calculés à partir de la base de données des évaluations des utilisateurs.

- **Filtrage collaboratif basé sur la mémoire (utilisateurs) :** les systèmes basés sur le voisinage utilisateur, évaluent l'intérêt d'un utilisateur pour un item en utilisant les notes de cet item. Ces notes sont données par d'autres utilisateurs, appelés voisins, qui ont des habitudes de notation similaires. En se basant sur le profil d'un

utilisateur u_i , le système recherche les utilisateurs u_j (j diffère de i) qui lui sont les plus similaires. Alors, Les deux mesures de similarité qui sont très utilisées sont : la corrélation de Pearson et la similarité vectorielle.

La corrélation de Pearson : la corrélation de Pearson est une méthode issue des statistiques. Elle est aussi très utilisée dans le domaine des systèmes de recommandation pour mesurer la similarité entre deux utilisateurs. La formule suivante, nous donne cette valeur pour deux utilisateurs A et B :

$$Sim(A, B) = \frac{\sum_j (v_{A,j} - v_{\bar{A},j})(v_{B,j} - v_{\bar{B},j})}{\sum_j (v_{A,j} - v_{\bar{A},j})^2 (v_{B,j} - v_{\bar{B},j})^2} \quad (1.1)$$

Notation	Signification
j	Indice d'objets ayant été voté à la fois par A et B
$v_{A,j}$	Vote de A pour l'item j
$v_{\bar{A},j}$	Moyenne des votes de A

TABLE 1.3 – Notations utilisées dans la méthode " Corrélation de Pearson "

Cosinus des vecteurs : dans cette méthode, les utilisateurs A et B sont considérés comme deux vecteurs de même origine dans un espace de m dimensions, m est égal au nombre d'items évalués par les deux utilisateurs.

Empiriquement, la similarité entre ces deux utilisateurs est calculée par la formule du Cosinus suivante :

$$Sim(A, B) = \sum_{j=1}^n \frac{v_{A,j}}{\sqrt{\sum_{j=1}^n v_{A,j}^2}} \times \frac{v_{B,j}}{\sqrt{\sum_{j=1}^n v_{B,j}^2}} \quad (1.2)$$

Notation	Signification
n	Nombre d'items communs entre A et B votés par v
$v_{A,j}$	Vote de A pour l'item j
$v_{B,j}$	Vote de B pour l'item j

TABLE 1.4 – Notations utilisées dans la méthode " Cosinus des vecteurs "

La distance de Spearman : est équivalente à la distance de Pearson, mais au lieu d'utiliser les évaluations comme critère pour la distance, elle utilise le classement des préférences. Si un utilisateur a évalué 20 items, l'item préféré a une note de 20 et

l'item le moins préféré a une note de 1.

Une fois que toutes les similarités de l'utilisateur cible A par rapport aux autres utilisateurs sont calculées et que les n utilisateurs les plus similaires qui constituent le voisinage de cet utilisateur cible sont définis, la prédiction de la valeur d'un item j évaluée par l'utilisateur A ($P_{A,j}$) est calculée à l'aide de la somme pondérée des estimations des voisins les plus proches qui ont déjà estimé l'item j :

$$P_{A,j} = \sum_{i=1}^n \frac{Sim(A,i) \times v_{i,j}}{\sum_{i=1}^n Sim(A,i)} \quad (1.3)$$

Notation	Signification
n	Nombre d'utilisateurs présents dans le voisinage de A, ayant déjà voté sur l'item j
$v_{i,j}$	Vote de l'utilisateur i pour l'objet j

TABLE 1.5 – Notations utilisées de " La distance de Spearman "

- **Filtrage collaboratif basé sur la mémoire (items)** : alors que les méthodes basées sur le voisinage utilisateur s'appuient sur l'avis d'utilisateurs partageant les mêmes idées pour prédire une note, les approches basées sur les items prédisent la note d'un utilisateur u pour un item i en se basant sur les notes de u pour des items similaires à i . Les choix possibles pour calculer la similarité $|sim(i, j)|$ entre les items i et j sont aussi la corrélation Pearson et la similarité vectorielle [34].

Similarité vectorielle la similarité vectorielle se sert de l'estimation moyenne d'utilisateur de chaque paire évaluée, et fait face à la limitation de la similarité vectorielle. Empiriquement, la similarité entre deux items est calculée par la formule du Cosinus suivante :

$$Sim(i, j) = \frac{(v_{A,i} - v_{\bar{A}})}{\sqrt{\sum_{A=1}^m (v_{A,i} - v_{\bar{A}})^2}} \times \frac{(v_{A,j} - v_{\bar{A}})}{\sqrt{\sum_{A=1}^m (v_{A,j} - v_{\bar{A}})^2}} \quad (1.4)$$

Notation	Signification
m	Nombre d'utilisateurs qui ont votés pour les deux items
$v_{A,i}$	Vote de A pour l'item i
$v_{A,j}$	Vote de A pour l'item j
$v_{\bar{A}}$	Moyenne des votes de l'utilisateur A

TABLE 1.6 – Notations utilisées de la méthode " La similarité vectorielle "

Une fois que la similarité parmi les items ait été calculée, la prochaine étape est de prévoir pour l'utilisateur cible A, une valeur pour l'item actif i . Une manière commune est de capturer comment l'utilisateur a évalué les items similaires [34]. La valeur prévue est basée sur la somme pondérée des estimations de l'utilisateur ainsi que les déviations des estimations moyennes et peut être calculée à l'aide de la formule suivante :

$$P_{A,i} = \bar{v}_i + \frac{\sum_{j=1}^m Sim(A, B) \times (v_{A,j} - \bar{v}_j)}{\sum_{j=1}^m |Sim(i, j)|} \quad (1.5)$$

Notation	Signification
m	Nombre d'items présents dans le voisinage de item i , ayant déjà été voté par l'utilisateur A
$v_{A,j}$	Vote de l'utilisateur A pour l'objet j
$v_{\bar{j}}$	Moyenne des votes pour l'item j
$ Sim(i, j) $	Similarité moyenne

TABLE 1.7 – Notations utilisées de " La similarité moyenne "

Algorithmes basés sur le modèle : ce type d'algorithme est comme le nom l'indique est basé sur des modèles, supposés réduire la complexité. Ces modèles utilisent la base de données des évaluations des utilisateurs pour estimer ou apprendre un modèle qui est alors utilisé pour les prédictions. Ils peuvent être basés sur des classificateurs permettant de créer des classes pour réduire la complexité. Exemple d'algorithmes utilisés : (Modèle de Clustering, K-Means, RecTree.)

c) Algorithme général d'un système de filtrage collaboratif

L'algorithme général d'un système de filtrage collaboratif suit les étapes suivantes ([24], [1]) :

- Collecter les appréciations de l'utilisateur sur les documents qu'il consulte.
- Intégrer ces informations dans le profil de l'utilisateur.
- Utiliser ce profil pour aider l'utilisateur dans ces prochaines recherches d'information.

d) Architecture générale d'un système de filtrage collaboratif

L'architecture générale d'un système de filtrage collaboratif s'articule autour de deux fonctionnalités centrales :

- Le calcul de la proximité entre les utilisateurs.
- Le calcul de la prédiction de l'évaluation qu'un utilisateur fera d'un document.

S'ajoute la fonctionnalité de mise à jour perpétuelle des profils d'utilisateurs, au fur et à mesure de la collecte de leurs évaluations.

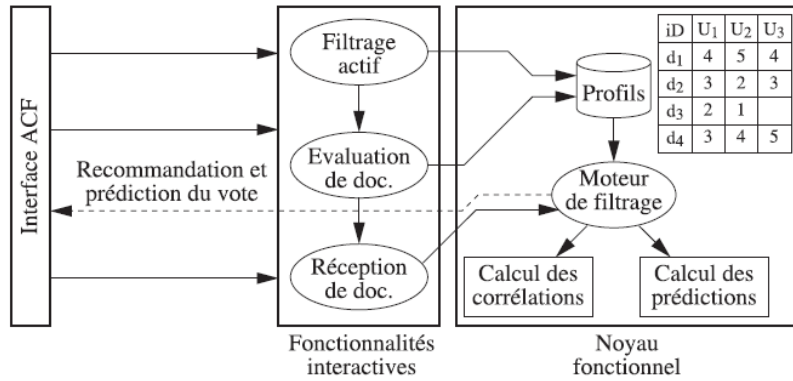


FIGURE 1.7 – Architecture générale d'un système de filtrage collaboratif [1]

1.2.5.3 Étude comparative des méthodes collaboratives et des méthodes basées sur le contenu

Les différentes techniques exploitées par les systèmes de recommandation ont chacune leurs apports mais aussi leurs limites. Le tableau 1.8 présente une synthèse comparant les avantages et les inconvénients des techniques de recommandation qui ont été présentées dans cette section.

Catégorie	Exemples d'algorithmes utilisés	Avantages	Inconvénients
Technique basée sur le contenu	<ul style="list-style-type: none"> — Analyse de similarité de contenu (TF/IDF) — Clustering — Arbres de décision 	<ul style="list-style-type: none"> — Amélioration de la qualité des recommandations — Réduction du problème de manque de données 	<ul style="list-style-type: none"> — Manque de diversité des recommandations — Nécessité d'indexation de contenus (extraction d'attributs représentatifs) — Problème d'indexation de documents multimédia
FC basé sur la mémoire	<ul style="list-style-type: none"> — FC exploitant l'approche kNN (basée sur l'utilisateur ou sur l'item) — Utilisation des mesures Pearson ou cosinus 	<ul style="list-style-type: none"> — Implémentation simple — Intégration facile de nouvelles données — Précision des recommandations 	<ul style="list-style-type: none"> — Dépendance aux données de notes — Détérioration de la qualité de recommandations à cause du manque de données — Problème de passage à l'échelle

<p>FC basé sur un modèle</p>	<ul style="list-style-type: none"> — Clustering — Approches probabilistes (réseaux bayésiens) — Méthodes de réduction de dimensionnalité (SVD, PCA) WUM (règles d'association, motifs séquentiels, modèles de Markov) 	<ul style="list-style-type: none"> — Amélioration de la qualité des recommandations — Réduction du problème de manque de données — Prédiction des futurs comportements de navigation 	<ul style="list-style-type: none"> — Construction coûteuse de modèles — Risque de perte d'information pertinente dû à la réduction de dimensionnalité — Problème de calcul des règles ou de motifs quand le système manque de données — Pas de considération du profil utilisateur (pour les modèles du WUM)
-------------------------------------	---	---	--

TABLE 1.8 – Synthèse comparative des techniques de recommandation

1.2.5.4 Les méthodes hybrides

Constatant les avantages et inconvénients de chacune des deux approches ci-dessus, on comprend que de nombreux systèmes reposent sur leur combinaison, ce qui en fait des systèmes de filtrage dits " **hybrides** ".

Plus généralement, les systèmes hybrides gèrent des profils d'utilisateurs orientés contenu, et la comparaison entre ces profils donne lieu à la formation de communautés d'utilisateurs permettant le filtrage collaboratif. En général, l'hybridation s'effectue en deux phases :

- Appliquer séparément le filtrage collaboratif et autres techniques de filtrage pour générer des recommandations.
- Combiner ces ensembles de recommandations préliminaires selon certaines méthodes telles

que la pondération, la cascade, la commutation, etc., afin de produire les recommandations finales pour les utilisateurs [35].

1.3 Limites des systèmes de recommandation

Malgré leur popularité croissante, les systèmes de recommandation ont des apports mais ont aussi des limites.

- **Démarrage à froid** : souvent, on se trouve confronté au problème qu'un utilisateur ne soit comparable avec aucun autre. Ce problème est du au fait que peu ou pas d'utilisateurs ont évalué un article donné, ou qu'un utilisateur donné a évalué très peu ou pas d'articles. Généralement, ce problème survient quand un nouvel utilisateur ou une nouvelle ressource est ajoutée à la base de la recommandation.
- **Masse critique** : afin de former de meilleures communautés, le système exige un nombre suffisant des évaluations en commun entre les utilisateurs pour les comparer entre eux. Malgré la taille énorme de l'ensemble des documents dans les systèmes, le nombre des évaluations en commun entre les utilisateurs risque d'être faible.
- **Principe d'induction** : les systèmes de recommandation se basent sur le principe qu'un utilisateur qui a offert un comportement dans le passé tendra à offrir un comportement semblable dans le futur. Cependant, ce principe n'est pas nécessairement vrai dans le contexte réel. Par exemple, un utilisateur peut changer complètement d'intérêt ou en avoir plusieurs.
- **Centralisé ou distribué** : les systèmes de recommandation tels qu'Amazon, sont basés sur une architecture centralisée. En effet, le moteur de recommandation centralisé permet de sauvegarder le profil de l'utilisateur et le calcul des recommandations dans un serveur central, par contre, les systèmes de recommandation centralisés souffrent de plusieurs problèmes tels que : le coût, la robustesse, la sécurité, la portabilité, etc. Une des solutions à ces problèmes est de répartir le système. Alors un système de recommandation centralisé pourrait être conçu pour tirer profit de la puissance de calcul disponible sur les ordinateurs des utilisateurs.

- **Sécurité ou crédibilité** : les systèmes de recommandation ne peuvent pas empêcher les actes de tromperie. Il est difficile de contrôler l'identité des utilisateurs et de pénaliser le comportement malveillant. Par conséquent, Il est indispensable d'avoir des moyens permettant à chaque utilisateur de décider en quels utilisateurs et en quels contenus avoir confiance.
- **Protection de la vie privé** : la protection des informations sensibles constituant le profil de l'utilisateur est considérée comme un autre problème qui touche les systèmes de recommandation. Vu la nature de l'information, ces systèmes doivent assurer une telle protection. Ainsi, des moyens de préserver l'anonymat des utilisateurs et chiffrer les données transmises sont nécessaires.

1.4 Les systèmes de recommandation sensibles au contexte

Les systèmes de recommandation jouent un rôle important dans la manipulation de grandes quantités d'information. Souvent, le contenu et les objets qui pourraient intéresser une personne, dépendant de sa situation spécifique : l'emplacement actuel, la saison, le rôle de l'utilisateur, l'heure, lieu, la compagnie d'autres personnes par exemple (pour regarder des films ou aller au restaurant), etc. Les systèmes de recommandation sensibles aux contextes tentent d'exploiter l'utilisation du contexte afin d'améliorer le processus de génération des recommandations.

1.4.1 Définition

Gorgoglione et al.[36] ont conclu que l'utilisation du contexte dans les systèmes de recommandation avait donné plus de confiance dans les recommandations. Cette augmentation du confiance conduit à son tour à des clients prêts à payer des prix plus élevés pour les produits, ce qui améliore les ventes.

Avant de discuter du rôle et de l'apport des informations contextuelles dans le système de recommandation, nous commençons par discuter la notion générale de contexte. Puis, nous nous concentrons sur les systèmes de recommandation et expliquons comment le contexte est spécifié

et modélisé ici.

Voici quelques travaux des systèmes de recommandation sensibles au contexte réalisés au sein de notre laboratoire LIPAH concernant les : Imen et al. (2012) [37]; (2013) [38]; (2017) [39]; Hazem et al. (2017) [40].

1.4.2 Contexte

Le contexte est un concept à multiples facettes qui a été étudié dans différentes disciplines de recherche, y compris l'informatique (principalement dans l'intelligence artificielle et l'informatique ubiquitaire), les sciences cognitives, la linguistique, la philosophie, la psychologie et les sciences organisationnelles.

Abowed, Day et al [41] "*Le contexte est n'importe quelle information qui peut être utilisé pour caractériser une situation d'une entité. Une entité peut être une personne, un endroit ou un objet que l'on considère comme étant pertinent à l'interaction entre un utilisateur et une application y compris ces deux derniers*"

Dey et al.,[42] ont défini le contexte :

- Comme étant toute information qui peut être utilisée pour caractériser la situation d'une entité. Une entité est une personne, un lieu ou un objet considéré comme pertinent pour l'interaction entre un utilisateur et une application, y compris l'utilisateur et les applications elles-mêmes.
- Un système est dit sensible au contexte s'il utilise un contexte pour fournir des informations et/ou des services pertinents à l'utilisateur, lorsque la pertinence dépend de la tâche de l'utilisateur.

1.4.2.1 Dimensions du contexte

M.Daoud [43] a proposé deux dimensions principales du contexte de recherche :

- **Le contexte lié à l'utilisateur** : c'est l'ensemble d'éléments qui peuvent être donnés explicitement par l'utilisateur ou implicitement déduits par le système. Il existe des préférences qui sont données explicitement et comportent les deux aspects suivants :
 - *Le fraîcheur* : l'utilisateur peut s'intéresser à l'information la plus récente ou bien

à des documents liés à des dates bien précises.

- **La granularité** : l'utilisateur peut s'intéresser à un certain niveau de détail de la réponse attendue, cela peut déterminer la structure de la réponse retournée.
- **Le contexte lié à la requête** : On peut définir ce contexte par différents paramètres descriptifs et mesurables à partir de la requête ou bien à partir du profil de n top documents retournés par la requête.
 - **Clarté de la requête** : ce paramètre quantifie le degré d'ambiguïté de la requête et permet de mieux cibler la recherche.
 - **Distribution de la datation des documents** : c'est la distribution de n meilleurs documents selon le paramètre date, et qui permet de mettre en évidence le fraîcheur de l'information.
 - **Degré de couverture de la requête par les services web** : ce paramètre permet d'orienter la réponse retournée vers un document ou service.

1.4.2.2 Pertinence de l'information contextuelle

Les informations contextuelles ne sont pas toutes pertinentes pour la formulation des recommandations [44] par exemple quelle est l'information contextuelle pertinente au moment de recommander un livre.

La détermination de la pertinence des informations contextuelles se fait selon les deux manières suivantes :

- Manuellement : se fait à l'aide de la connaissance du domaine du concepteur du système de recommandation.
- Automatiquement : se fait en utilisant des procédures de sélection de l'apprentissage automatique [45], Fouille de données [46] et des statistiques [47].

1.4.3 Modélisation des informations contextuelles dans les systèmes de recommandation

Dans cette partie, nous allons nous intéresser aux systèmes traditionnels, ainsi qu'aux systèmes de recommandation contextuels.

1.4.3.1 Les systèmes traditionnels ou bidimensionnels 2D

Le processus de recommandation commence généralement par la spécification de l'ensemble initial d'évaluations qui est explicitement fourni par les utilisateurs ou implicite dans le système. Une fois ces évaluations initiales ont été précisées, un système de recommandation tente d'estimer la fonction des évaluations \mathbf{R} :

$$\mathbf{R} : User \times Item \rightarrow Rating \quad (1.6)$$

Pour les paires (User, Item) qui n'ont pas encore été évaluées par les utilisateurs. Une fois que la fonction \mathbf{R} est estimée pour l'ensemble de l'espace Utilisateur \mathbf{x} , un système de recommandation peut recommander l'article le mieux noté pour chaque utilisateur. Nous appelons de tels systèmes traditionnels ou bidimensionnels (2D) puisqu'ils ne prennent en compte que les dimensions User et Item dans le processus de recommandation.

Les systèmes de recommandation fournissent aux utilisateurs des suggestions personnalisées de produits ou de services. Ils jouent un rôle important dans le succès du commerce électronique et sont utilisés dans la plupart des sites Web de vidéos tels que YouTube et Hulu. De nombreux réseaux sociaux permettent aux utilisateurs de noter des vidéos ou des films. En effet, les contributions de notre laboratoire LIPAH ont atteint un niveau avancé dans ce domaine, ce qui va énormément nous aider. Citons en quelques travaux intéressants : (Chiraz et al. (2011) [48], [49]; (2012) [50, 51, 52]; (2013) [53]; (2016) [54]).

1.4.3.2 Les systèmes de recommandation contextuels

La plupart des recherches effectuées se concentrent sur la recommandation d'items aux utilisateurs ou items aux utilisateurs et ne prennent pas en considération d'autres informations contextuelles telles que l'heure, le lieu et la compagnie d'autres personnes (par exemple pour regarder des films).

Alors nous explorons le domaine du système de recommandation contextuelle avec la modélisation et la prédiction des goûts et des préférences des utilisateurs en incorporant les informations contextuelles disponibles dans le processus de recommandation en tant que des catégories explicites de données supplémentaires. Ces préférences et goûts à long terme sont généralement exprimés sous la forme d'évaluations et sont modélisés en fonction non seulement des items et

des utilisateurs, mais aussi du contexte.

Contrairement au modèle traditionnel, les systèmes de recommandation contextuels tentent d'incorporer ou d'utiliser des preuves supplémentaires (au-delà des informations sur les utilisateurs et les items) pour estimer les préférences des utilisateurs sur des éléments non vus.

$$R : Users \times Items \times Contexts \rightarrow Rating \quad (1.7)$$

L'intégration de ce contexte dans les systèmes de recommandation peut se faire de trois façons : (le pré-filtrage contextuel, le post-filtrage contextuel et la modélisation contextuelle).

a) **Le pré-filtrage contextuel** dans l'approche de pré-filtrage contextuel, l'information contextuelle est utilisée comme une étiquette permettant de filtrer les évaluations qui ne correspondent pas à l'information contextuelle spécifiée. Cela se fait avant que la méthode principale de recommandation soit lancée sur le reste de données sélectionnées.

Si un contexte d'intérêt particulier est C , alors cette méthode sélectionne à partir de la série initiale toutes les évaluations relatives au contexte spécifié C , et elle génère la matrice "**User x Item**" ne contenant que les données relatives au contexte C . Puis, la méthode des systèmes de recommandation, comme le filtrage collaboratif, est lancée sur la base de donnée réduite afin d'obtenir les recommandations liées au contexte C (Voir la figure 1.8).

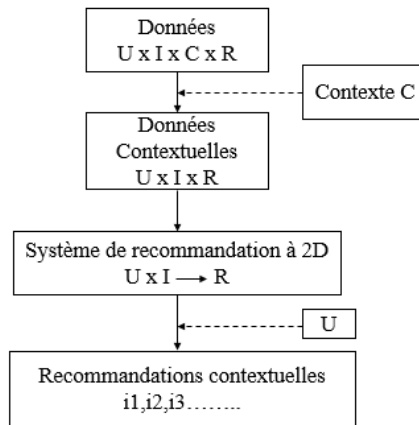


FIGURE 1.8 – Pré-filtrage contextuel [2]

- b) **Le post-filtrage contextuel** l'information contextuelle est utilisée après le lancement de la méthode principale de recommandation à deux dimensions (2D). Une fois les évaluations inconnues sont estimées et les recommandations sont produites, le système analyse les données pour un utilisateur donnée dans un contexte précis pour trouver les modèles d'utilisation des articles spécifiques, et utilise ces modèles pour contextualiser les recommandations obtenues à partir de la méthode classique de recommandation (2D), comme le filtrage collaboratif (Voir la figure 1.9).

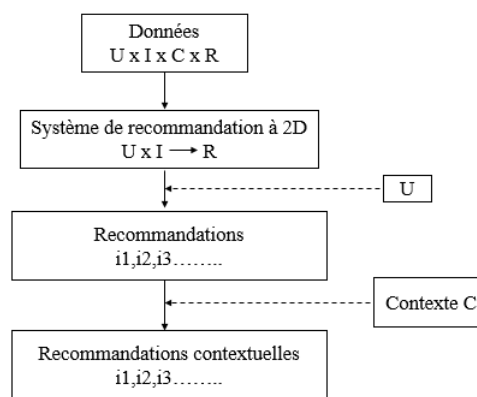


FIGURE 1.9 – Post-filtrage contextuel [2]

- c) **La modélisation contextuelle** est une méthode dans laquelle l'information contextuelle est utilisée directement à l'intérieur des algorithmes de génération de recommandation. La figure 1.10 montre l'intégration du contexte dans le processus de recommandation.

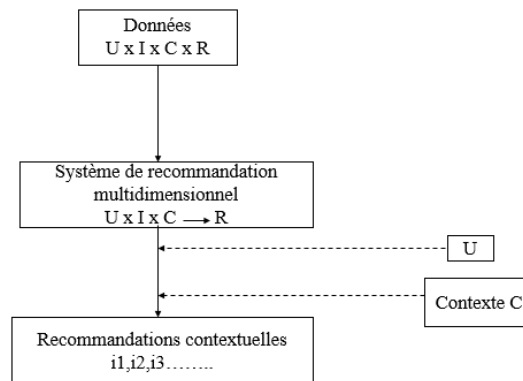


FIGURE 1.10 – Modélisation contextuelle [2]

1.5 Conclusion

Dans ce chapitre, nous avons d’abord présenté dans la première partie la notion des systèmes de recommandation en détaillant les différentes techniques utilisées par ces systèmes. Ensuite, nous avons défini la notion de profil utilisateur avec ses deux types de collecte des données (explicite et implicite). Puis, nous avons terminé par citer quelques problèmes rencontrés par les systèmes de recommandation classiques. Parmi ces problèmes, le fait que ces systèmes ne tiennent en compte du contexte dans lequel se trouve l’utilisateur lorsqu’il décide de faire une recommandation. Ainsi dans ce chapitre, nous avons mis l’accent sur les systèmes sensibles au contexte, qui apportent une solution pour le problème de contexte.

Chapitre 2

État de l'art

*“There’s too many men
Too many people
Making too many problems
And not much love to go round
Can’t you see
This is a **land of confusion**”*
— *Genesis, Land of confusion, 1986*

2.1 Introduction

Dans ce chapitre, nous allons présenter les principales approches proposées des systèmes de recommandation contextuels dans le domaine des films et nous allons terminer par une étude comparative de ces approches.

2.2 Approche de Ostuni et al

Dans cette section, nous nous intéressons à l’approche de Ostuni et al. qui a été introduite dans le contexte d’utilisation des systèmes de recommandation sensibles au contexte. Cependant, ces auteurs arrivent à développer une application appelée " **Cinemappy** ", basée sur la localisation qui calcule les recommandations contextuelles de films.

2.2.1 Contexte

Grâce aux grands progrès technologiques réalisés ces dernières années, en particulier dans l'informatique ubiquitaire, les utilisateurs peuvent exécuter presque n'importe quelle sorte de demande (d'application) et exécuter presque n'importe quelle tâche sur des petits dispositifs mobiles. Les smartphones et les tablettes deviennent une plate-forme principale (primaire) pour l'accès à l'information [55].

2.2.2 Objectif

" Cinemappy " est une application qui met en œuvre un moteur de recommandation contextuelle. Cette application affine les résultats de recommandation d'un système de recommandation basé sur le contenu en exploitant des informations contextuelles liées à la position spatiale et temporelle actuelle de l'utilisateur.

2.2.3 Les techniques utilisées

L'application de " Cinemappy " utilise certaines techniques pour suggérer des films à l'utilisateur.

- **DBPEDIA** : Le système choisit le graphique localisé dans DBPEDIA. En effet, DBpedia contient aussi des informations extraites des versions localisées de Wikipédia. Les données venant de ces sources Web sont représentées comme les graphiques RDF différents qui peuvent être facilement choisis via la clause d'une question de SPARQL. La figure 2.1 décrit les composantes de base du système.

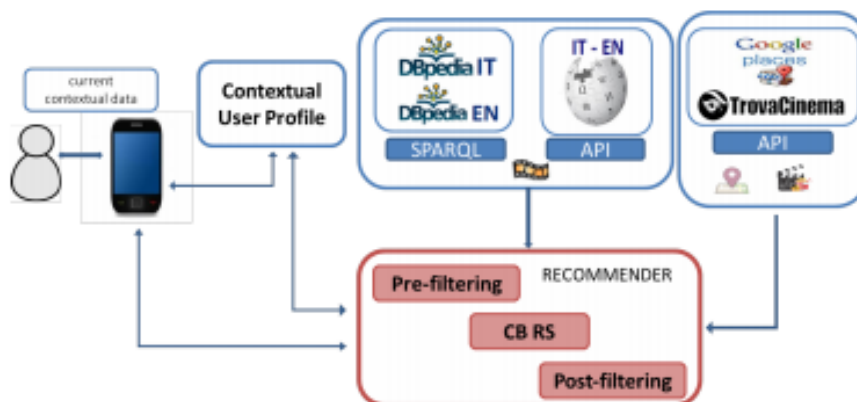


FIGURE 2.1 – Architecture du système [3]

Cinemappy utilise plusieurs approches de recommandation pour suggérer des films et des salles de cinéma à l'utilisateur. Les auteurs tirent parti des informations contextuelles, des techniques de pré-filtrage et de post-filtrage pour les attributs contextuels. En particulier, pour modéliser l'attribut Companion, Ostuni et al utilisent ce que l'on appelle approche de micro-profilage [56], une technique de pré-filtrage particulière. Fondamentalement, avec le micro-profilage, Ostuni et al ont associé un profil différent à l'utilisateur en fonction du compagnon sélectionné.

- **Pré-filtrage contextuel** : Avec Cinemappy, il y a une recommandation des films à regarder dans les cinémas. Pour cette raison, les films qui ne seront pas présentés dans le futur ne seront pas suggérés à l'utilisateur. Néanmoins, ces films seront considérés dans le profil de l'utilisateur si ce dernier les a évalués. De plus, pour la position temporelle et spatiale actuelle de l'utilisateur, Ostuni et al ont contraint l'ensemble des films à recommander des critères géographiques et temporels. Pour chaque utilisateur u , l'ensemble des films M_u est défini comme le contenant des films programmés dans les prochains jours dans les cinémas dans une plage de k kilomètres autour de la position de l'utilisateur. La liste de recommandations finale sera calculée en considérant uniquement les articles disponibles en M_u . Ce genre de restriction sur les éléments, en ce qui concerne le temps, est un pré-filtrage de l'ensemble des articles et non des classements comme cela arrive habituellement dans les approches de pré-filtrage.

En ce qui concerne le contexte d'accompagnement, l'approche de micro-profilage est modélisée en considérant un profil spécifique pour utilisateur u et pour chaque compagnon cmp :

$$\mathit{profile}(u, cmp) = \langle m_j, v_j \rangle \mid v_j = 1 \text{ si } u \text{ aime } m_j \text{ avec compagnon } cmp \text{ } v_j = -1 \text{ sinon}$$

- **Recommandation basée sur le contenu** : l'algorithme de recommandation est basé sur celui proposé dans [57], amélioré avec la gestion des micro-profils. Afin d'évaluer si un film $m_i \in M_u$ pourrait être intéressant pour u donné cmp . Ostuni et al. ont dû de combiner les valeurs de similarité liées à chaque propriété p de m_i et de calculer une valeur de similarité globale $\bar{r}_{preF}(u_{cmp}, m_i)$:

$$\bar{r}_{preF}(u_{cmp}, m_i) = \frac{\sum_{m_j \in \mathit{profile}(u, cmp)} v_j \times \frac{\sum_p \alpha_p \times \mathit{sim}^p(m_j m_i)}{p}}{|\mathit{profile}(u, cmp)|} \quad (2.1)$$

Notation	Signification
P	Nombre de propriétés dans DBpedia qui sont considérées comme pertinentes.
$\mathit{profile}(u, cmp)$	La cardinalité du profil d'ensemble (u, cmp) .
$\mathit{sim}^p(m_j m_i)$	Représente la similarité entre les deux films m_i et m_j par rapport à une propriété p .
α_p	C'est un poids qui est attribué à chaque propriété représentant sa valeur par rapport au profil de l'utilisateur.

TABLE 2.1 – Notations utilisées dans "la similarité globale"

La valeur est calculée en adaptant l'approche du modèle d'espace vectoriel à un paramètre basé sur RDF.

- **Post-filtrage contextuel** : l'application du post-filtrage sur $R_{u,cmp}$ est effectuée pour reclasser ses éléments. En particulier, pour chaque critère, on introduit une variable dont la valeur est définie comme suit :

- **h (hierarchy)** : Elle est égale à 1 si le cinéma est dans la même ville que la position courante de l'utilisateur, sinon 0.

- ***c (cluster)*** : Il est égal à 1 si le cinéma fait partie d'un cinéma multiplex, sinon 0.
- ***cl (co-location)*** : Il est égal à 1 si le cinéma est proche d'autres POI, sinon 0.
- ***ar (association-rule)*** : Il est égal à 1 si l'utilisateur connaît le prix du ticket, sinon 0. Cette information est implicitement tirée des informations sur le cinéma.
- ***ap (anchor-point proximity)*** : Il est égal à 1 si le cinéma est proche de la maison de l'utilisateur ou du bureau de l'utilisateur, sinon 0.

Ces critères géographiques sont combinés avec $\bar{r}_{preF}(u_{cmp}, m_i)$ pour obtenir un seul score :

$$\bar{r}(u_{cmp}, m_i) = \beta_1 \times \bar{r}_{preF}(u_{cmp}, m_i) + \beta_2 \frac{(a + c + c_1 + a_r + a_p)}{5} \quad (2.2)$$

Où $\beta_1 + \beta_2 = 1$. Dans la mise en œuvre actuelle de **Cinemappy**, à la fois β_1 et β_2 ont été choisis expérimentalement et ont été fixés respectivement à 0,7 et 0,3.

2.2.4 Étude expérimentale

Cinemappy a été implémenté en tant qu'une application mobile pour les smartphones Android. Lorsque l'utilisateur démarre l'application, **Cinemappy** affiche une liste de films en fonction du profil utilisateur contextuel actuel (voir la figure2.2).

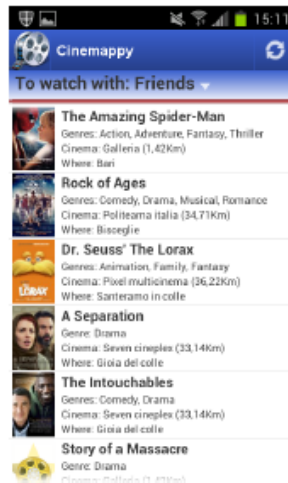


FIGURE 2.2 – Liste des films en fonction du profil utilisateur contextuel actuel [3]

L'utilisateur peut choisir son compagnon actuel à partir d'une liste de différentes options permettant ainsi son micro-profil (voir la figure2.3).

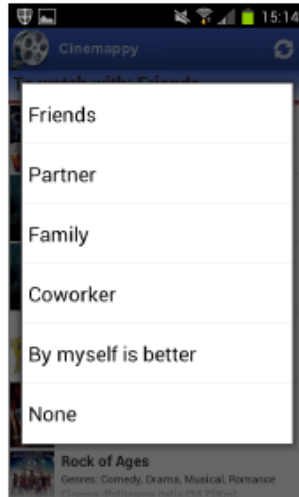


FIGURE 2.3 – Liste des options : "compagnon" [3]

Cinemappy est en mesure de proposer des films basés exclusivement sur des informations contextuelles. Pour chaque film de la liste, ses genres et la distance de la salle de cinéma suggérée par rapport à la position de l'utilisateur sont affichés. Par conséquent, l'utilisateur peut cliquer sur l'un des films suggérés et regarder sa description, regarder sa bande-annonce et exprimer une préférence en termes de "je regarderais" / "je ne regarderais pas" (voir la figure 2.4).

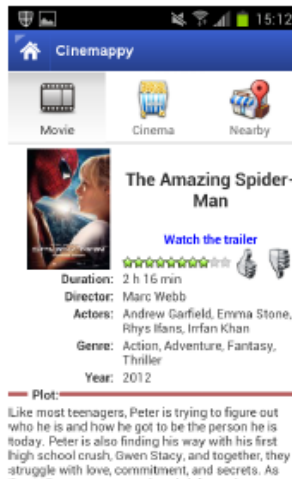


FIGURE 2.4 – Liste des films avec leurs descriptions [3]

En outre, l'utilisateur peut trouver des informations sur la salle de cinéma recommandée ou les autres salles qui diffusent ce film. Selon l'emplacement de la salle de cinéma, l'utilisateur pourrait être intéressé par les endroits où passer du temps avec ses amis, comme les pubs, ou avec partenaire comme les restaurants ou les bars, ou avec sa famille, et dans ce cas l'utilisateur pourrait être intéressé par certains types d'endroits également appropriés pour les enfants. Pour supporter l'utilisateur dans ce choix, l'application suggère des PI en tenant compte des critères contextuels (voir la figure 2.5).



FIGURE 2.5 – Liste des salles de cinéma avec leurs emplacements [3]

L'application, au moyen d'un service d'arrière-plan, capture la position de l'utilisateur. Si l'utilisateur a été pendant au moins 90 minutes dans une position similaire à proximité d'un cinéma dans une durée correspondante à un ou plusieurs films programmés, Ostuni et al ont supposé que l'utilisateur a regardé un film dans ce cinéma. Alors, dans ce cas, l'application demande à l'utilisateur s'il est allé au cinéma et si une réponse positive s'ensuit, l'utilisateur peut évaluer l'un des films présentés dans ce cinéma (voir la figure 2.6).

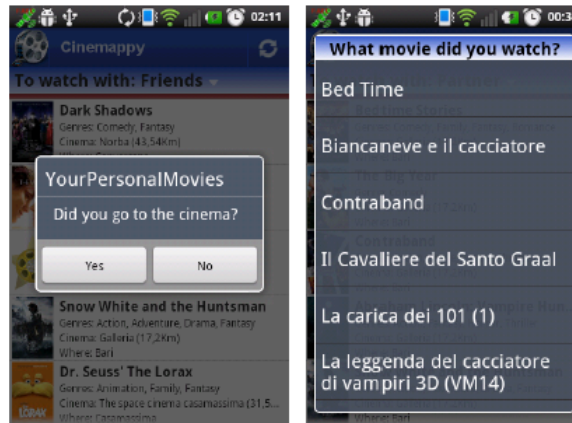


FIGURE 2.6 – La réponse de l'utilisateur et sa évaluation pour l'un des films présentés dans le cinéma [3]

- ☞ Ostuni et al ont présenté Cinemappy qui est un système de recommandation contextuel basé sur le contenu pour les suggestions de films et des salles de cinéma. Ce système est alimenté avec des données provenant de graphiques DBpedia localisés et les résultats sont améliorés en exploitant les informations contextuelles sur l'utilisateur.
- ☞ L'application a été implémentée en tant qu'application Android. Des critères géographiques, qui vont au-delà de la simple distance géographique, ont été mis en œuvre pour exploiter pleinement les informations basées sur la localisation.

Dans ce contexte et avec la disponibilité des appareils mobiles et la diversité des fonctionnalités qu'ils offrent, les nouvelles approches en recherche d'information ont eu l'avantage de fournir aux utilisateurs des éléments plus pertinents et plus adaptés à leurs situations courantes [38]. Citons dans ce cas, quelques travaux qui sont effectués dans le laboratoire **LIPAH** concernant la prédiction des intérêts des utilisateurs afin d'enrichir leurs requêtes et d'élargir leurs cercles sociaux : Imen et al. (2012, 2013) [38] [37].

2.3 Approche de Campos et al

Dans cette section, nous allons présenter l'approche de Campos et al. [4] dans le cadre d'utilisation des systèmes de recommandation contextuelles. Les auteurs ont abordé ce problème en effectuant une comparaison empirique de plusieurs approches de pré-filtrage, de post-filtrage contextuel et de la modélisation contextuelle dans le domaine de recommandation des films.

2.3.1 Contexte

Les systèmes de recommandation suggèrent des articles aux utilisateurs qui s'appuient sur des préférences généralement exprimées sous la forme d'évaluations numériques des personnes ayant les mêmes idées.

Les systèmes de recommandation sensibles au contexte prennent également en compte des informations contextuelles (par exemple : le temps, l'emplacement, le compagnon social et l'humeur) associées aux préférences collectées. De cette façon, Ces systèmes peuvent distinguer l'intérêt d'un utilisateur dans différents contextes et situations.

2.3.2 Objectif

L'objectif de cette recherche est de répondre aux deux questions suivantes :

- **Question 1** : Est-ce que les approches des systèmes de recommandation contextuelles (Pré-filtrage contextuel, Post-filtrage contextuel, Modélisation contextuelle) sont capables de mieux prédire la note attribuée à un film dans un contexte particulier ?
- **Question 2** : Quelle information contextuelle ou compagnon social (ou une combinaison des deux) fournit des informations plus utiles pour prédire des notes ?

2.3.3 Les techniques utilisées

Plusieurs approches ont été proposées pour traiter correctement les informations contextuelles. Adomavicius et al. [14, 2] distinguent trois types principaux de CARS : le pré-filtrage contextuel, le post-filtrage contextuel et la modélisation contextuelle. Alors l'évaluation de ces approches se fait comme suit :

- **Dans le cas du pré-filtrage** : Campos et al. ont utilisé la stratégie de pré-filtrage exacte proposée par Adomavicius et al.[14], et la technique de division d'éléments proposée par Baltrunas et Ricci [58, 59].
- **Dans le cas du post-filtrage** : Campos et al. ont utilisé la stratégie de filtrage présentée par Panniello et al. dans [60].

- **Dans le cas de modélisation contextuelle** : Campos et al. ont évalué plusieurs classificateurs développés par la communauté Machine Learning, notamment les algorithmes Naïve Bayes, Random Forest, MultiLayer Perceptron (MLP) et Support Vector Machine (SVM) [61, 62]. Tous les classificateurs ont été construits avec des vecteurs d'attributs basés sur le contenu correspondant aux informations sur l'utilisateur et le genre d'élément, et différents signaux contextuels.

Les approches basées sur le pré-filtrage contextuel et celles qui sont basées sur le post-filtrage contextuel utilisent les classificateurs décrits dans le tableau 2.2.

Nom du classifieur	Description
knearest neighbor (KNN)	L'algorithme knearest neighbor (kNN) [63] a été utilisé comme un algorithme de recommandation sous-jacent.
Item Splitting (IS)	IS est une variante du pré-filtrage contextuel. Cette méthode divise les données de préférence pour les éléments en fonction du contexte dans lequel ces données ont été générées.
Matrix Factorization (MF)	Est une factorisation d'une matrice en un produit de matrices.

TABLE 2.2 – Les classificateurs utilisés dans le pré- et post-filtrage

Pour la méthode **Item Splitting (IS)** il y a quelques **Critères d'impureté** à définir :

- $ic_{IG}(i, s)$: C'est un critère qui mesure le gain d'information donné par s à la connaissance de l'item i .
- $ic_M(i, s)$: Estime la signification statistique de la différence dans les moyennes des notations associées à chaque contexte dans s en utilisant le test t .
- $ic_p(i, s)$: Estime la signification statistique de la différence entre la proportion d'évaluations élevées et faibles dans chaque contexte de s en utilisant le test z à deux proportions.

Pour le pré-filtrage contextuel : Campos et al. utilisent les algorithmes de filtrage collaboratif kNN et factorisation matricielle (MF) [64] séparément comme stratégies de recommandation après IS. Cependant dans le post-filtrage contextuel (PoF), les prédictions d'évaluation sont générées par un algorithme qui ignore le contexte dans une première étape, puis les prédictions

sont contextualisées en fonction du contexte cible. Campos et al. ont utilisé le même algorithme de prédiction d'évaluation kNN utilisé avec les approches de pré-filtrage. La contextualisation des prédictions d'évaluation a été réalisée par une stratégie de filtrage présentée dans [60], qui pénalise la recommandation des items qui ne sont pas pertinents dans le contexte cible.

La pertinence d'un item i pour l'utilisateur cible u dans un contexte particulier c est approchée par la probabilité $P_c(u, i, c) = \frac{|U_{u,i,c}|}{k}$

Notation	Description
K	Nombre de voisins utilisés par kNN
$ U_{u,i,c} $	Les voisins de l'utilisateur v dans le voisinage de u , $N(u)$, qui ont évalué l'item i dans son contexte c .

TABLE 2.3 – Résultats d'évaluation pour la piste 1

La pertinence des items est déterminée par une valeur seuil τ_{Pc} qui est utilisée pour contextualiser les évaluations comme suit :

$$F(u, i, c) = \begin{cases} F(u, i) & \text{si } P_c(u, i, c) \geq \tau_{Pc} \\ F(u, i) - 0.5 & \text{si } P_c(u, i, c) < \tau_{Pc} \end{cases}$$

Les algorithmes de Machine Learning utilisés pour la modélisation contextuelle fournissent une distribution de score pour une note (étiquette de classe) dans l'espace des valeurs de notation 1, 2, 3, 4 et 5. En effet, les caractéristiques de l'utilisateur et de l'item analysées correspondent aux genres de films. Pour chaque utilisateur u , la valeur de l'attribut a_m était le nombre d'éléments préférés de u avec le genre m . Pour chaque item i , la valeur de l'attribut a_n était 1 si n est le genre correspondant, et 0 sinon.

2.3.4 Étude expérimentale

Une validation croisée 10 fois a été effectuée dans toutes les expériences. Dans les cas de pré-filtrage et de post-filtrage, Campos et al ont utilisé les implémentations **kNN** et **MF** fournies par le projet Apache Mahout3, avec $K = 30$ et la corrélation de Pearson pour **kNN**, et 60 facteurs pour l'algorithme **MF**. Pour obtenir une couverture complète, dans les cas où un algorithme était incapable de calculer une prédiction, l'évaluation de l'ensemble de données a

été fournie comme prévision.

Dans les cas de la modélisation contextuelle, Campos et al. ont utilisé les implémentations des classificateurs fournies dans Weka4. Ils ont calculé aussi l'exactitude des approches de recommandation évaluées en termes de taux de classification correcte pour chaque valeur de notation ($acc1$, $acc2$, $acc3$, $acc4$ et $acc5$), et le taux de classification correct global pondéré (acc) [65]. Puis, ils ont également calculé la métrique Area under the Curve (AUC) [66].

Le figure 2.7 montre les meilleurs résultats obtenus pour chacune des approches testées sur l'ensemble de données enrichi en contextes. Les résultats sont regroupés selon l'approche de contextualisation (pré-filtrage et post-filtrage ou modélisation contextuelle) et le type de données de profil fourni à chaque algorithme de recommandation. Dans les approches IS, Campos et al. ont testé différentes valeurs de seuil pour les critères d'impureté considérés.

Campos et al. ont conclu qu'il n'y a pas de CARS supérieur unique pour améliorer les prédictions d'évaluation dans le domaine des films, et que les améliorations de performance ont une forte dépendance avec l'algorithme de recommandation sous-jacent. De plus, aucune information contextuelle ne semble être plus informative que d'autres pour tous les systèmes de recommandation contextuels évalués. De même que les résultats de recherches antérieures comparant certaines approches CARS sur les applications de commerce électronique [60], l'identification de l'approche la plus performante nécessite une évaluation et une comparaison de plusieurs CARS sur les données cibles. Enfin, les auteurs ont conclu que l'utilisation d'un grand nombre des informations contextuelles ne conduit pas nécessairement à de meilleures performances CARS, et la contribution donnée à une information contextuelle dépend de la combinaison particulière d'approche de contextualisation et d'algorithme de recommandation utilisé.

	Profile type	Classifier	acc1	acc2	acc3	acc4	acc5	acc	AUC	
Contextual Pre- and Post-Filtering	user and item genres	kNN	23.077	5.405	6.522	87.442	8.871	43.659	0.494	
		MF	0.000	21.622	23.913	67.442	30.645	44.283	0.626	
	user and item genres + time contexts	PeF	7.692	0.000	1.087	99.070	0.000	44.699	0.466	
		IS $i_{c_{it}}$ + kNN	23.077	2.703	4.348	87.442	8.871	43.035	0.493	
		IS i_{c_M} + kNN	23.077	5.405	4.348	86.047	10.484	43.035	0.514	
		IS i_{c_P} + kNN	23.077	5.405	3.261	88.372	8.871	43.451	0.504	
		IS $i_{c_{it}}$ + MF	0.000	21.622	23.913	66.512	31.452	44.075	0.625	
		IS i_{c_M} + MF	0.000	21.622	25.000	66.977	32.258	44.699	0.636	
		IS i_{c_P} + MF	0.000	18.919	25.000	66.977	33.065	44.699	0.635	
		PoF	23.077	5.405	6.522	88.372	8.871	44.075	0.510	
		user and item genres + social context	PeF	0.000	0.000	1.087	95.814	1.613	43.451	0.468
			IS $i_{c_{it}}$ + kNN	0.000	2.703	5.435	88.837	9.677	43.451	0.508
	IS i_{c_M} + kNN		23.077	5.405	6.522	87.442	8.871	43.659	0.494	
	IS i_{c_P} + kNN		7.692	2.703	5.435	85.581	6.452	41.372	0.486	
	IS $i_{c_{it}}$ + MF		0.000	21.622	25.000	66.512	29.839	43.867	0.625	
	IS i_{c_M} + MF		0.000	21.622	23.913	67.442	29.839	44.075	0.626	
	IS i_{c_P} + MF		0.000	24.324	22.826	67.907	32.258	44.906	0.639	
	PoF		23.077	5.405	6.522	86.512	8.871	43.243	0.493	
	user and item genres + all contexts	PeF	0.000	0.000	0.000	100.000	0.000	44.699	0.462	
		IS $i_{c_{it}}$ + kNN	0.000	2.703	4.348	88.372	8.871	42.827	0.510	
		IS i_{c_M} + kNN	23.077	5.405	4.348	86.047	10.484	43.035	0.514	
		IS i_{c_P} + kNN	7.692	2.703	3.261	88.372	4.839	41.788	0.489	
		IS $i_{c_{it}}$ + MF	0.000	21.622	25.000	66.047	29.839	43.659	0.625	
		IS i_{c_M} + MF	0.000	21.622	25.000	66.977	32.258	44.699	0.636	
		IS i_{c_P} + MF	0.000	21.622	22.826	68.372	33.871	45.322	0.642	
		PoF	23.077	5.405	6.522	86.977	8.871	43.451	0.499	
	Contextual Modeling	user and item genres	Naive Bayes	38.462	0.000	6.522	73.488	31.452	43.243	0.615
			Random Forest	0.000	21.622	25.000	62.791	51.613	47.817	0.669
MLP			0.000	13.514	29.348	59.070	46.774	45.114	0.646	
SVM			0.000	16.216	20.652	54.884	37.903	39.501	0.554	
user and item genres + time contexts		Naive Bayes	38.462	0.000	8.696	72.093	32.258	43.243	0.613	
		Random Forest	15.385	13.514	23.913	61.395	48.387	45.946	0.649	
		MLP	0.000	8.108	29.348	54.419	43.548	41.788	0.648	
		SVM	23.077	16.216	21.739	59.535	40.323	43.035	0.573	
user and item genres + social context		Naive Bayes	38.462	0.000	6.522	71.628	33.871	43.035	0.619	
		Random Forest	0.000	16.216	20.652	60.930	54.032	46.362	0.672	
		MLP	7.692	13.514	23.913	57.674	41.935	42.412	0.631	
		SVM	7.692	10.811	18.478	59.070	41.129	41.580	0.563	
user and item genres + all contexts		Naive Bayes	38.462	0.000	8.696	71.163	33.871	43.243	0.617	
		Random Forest	7.692	13.514	22.826	63.721	44.355	45.530	0.666	
		MLP	7.692	18.919	21.739	57.209	44.355	42.827	0.631	
		SVM	15.385	13.514	17.391	63.721	37.903	43.035	0.568	

FIGURE 2.7 – Le modèle de PITF et les deux décompositions de Tucker et canonique [4]

2.4 Approche de Gantner et al

Gantner et al. [5] présentent dans ce qui suit, une méthode appelée "Pairwise Interaction Tensor Factorization (PITF)" qui a été utilisée pour la recommandation d'étiquette personnalisée, pour modéliser le contexte temporel (semaine).

2.4.1 Contexte

La recommandation contextuelle est considérée comme un cas particulier de recommandation d'item classique. Dans la recommandation des items classiques, le contexte est juste l'utilisateur pour lequel Gantner et al. ont voulu prédire des items (par exemple, des films). Dans une recommandation contextuelle, le contexte contient habituellement plus d'informations que juste l'utilisateur.

2.4.2 Objectif

L'approche de Gantner et al. suggère d'utiliser **Pairwise Interaction Tensor Factorization (PITF)** qui est une méthode utilisée pour la recommandation d'étiquette personnalisée et ainsi pour modéliser le contexte temporel (semaine). D'une autre manière, Gantner et al. présentent également une version étendue de **PITF** qui gère le contexte de la semaine.

2.4.3 Les techniques utilisées

2.4.3.1 Encodage du temps en tant que contexte

Il existe différentes granularités possibles pour coder les épisodes temporelles en tant que contexte. Dans ce travail, la semaine est l'entité principale. Outre les semaines calendaires normales qui commencent le lundi, il est également possible de laisser démarrer d'autres types de "semaines" les autres jours. En combinant des modèles de différentes "semaines", il est possible d'encoder le contexte de la semaine avec la granularité du jour.

2.4.3.2 Pairwise Interaction Tensor Factorization (PITF)

PITF [67] est un modèle de factorisation tensorielle initialement développé pour la prédiction d'étiquettes, mais il est également applicable aux d'autres types de tâches de recommandation contextuelle. Le modèle est un cas particulier de la décomposition de Tucker et de la décomposition canonique (voir la figure 2.8).

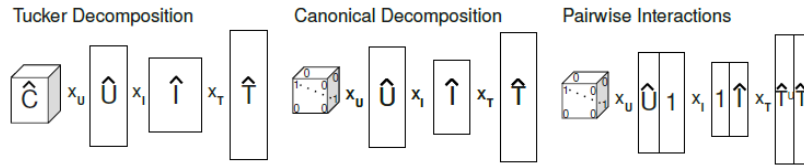


FIGURE 2.8 – Le modèle de PITF et les deux décompositions de Tucker et canonique [5]

2.4.3.3 Méthode d'ensemble

La combinaison de modèles factoriels [68] avec des régularisations et des dimensions différentes est supposée éliminer la variance des estimations de classement. Il existe essentiellement deux approches simples combinant les prédictions $\hat{y}_{u,c,i}^l$ des modèles l :

- **Ensemble des estimations de valeur** $\hat{y}_{u,c,i}^l$:

$$\hat{y}_{u,c,i}^{val} := \sum_l w_l \times \hat{y}_{u,c,i}^l \quad (2.3)$$

Où w_l est le paramètre de pondération pour chaque modèle.

- **Ensemble des estimations des rang** $\hat{r}_{u,c,i}^l$:

$$\hat{y}_{u,c,i}^{rank} := \sum_l w_l \times (|I| - \hat{r}_{u,c,i}^l) \quad (2.4)$$

2.4.4 Étude expérimentale

Pour faire une étude expérimentale, Gantner et al. utilisent :

- Dataset : original Movie Pilot training
- Les méthodes comparées : BPR-MF, PITF, item-knn, mp, mp (date/week/event/prior), random.

2.4.4.1 Christmas

Les résultats du problème de prédiction de Noël sont présentés dans le tableau 2.4. Compte tenu de la précision, BPR-MF est la méthode la plus forte en termes de prédiction, ce qui montre qu'il y a encore des améliorations possibles pour les modèles de factorisation BPR-MF et PITF.

PITF-8 est légèrement meilleur que les modèles PITF-16 et PITF-32, ce qui suggère que les auteurs doivent rechercher de meilleurs paramètres de régularisation pour les modèles plus grands, ainsi la méthode BPR-MF avec 32 facteurs est la plus forte en termes d'AUC.

Les lignes de base contextuelles les plus populaires ne fonctionnent pas mieux que les prévisions les plus populaires, à l'exception des films les plus populaires de la semaine, juste avant la semaine de Noël.

Méthode	AUC	Prec@5	Prec@10
Random	0.5131	0	0.00125
mp	0.9568	0.1075	0.085
mp (date)	0.8634	0.09875	0.079375
mp (week)	0.8649	0.1000	0.081875
mp (event)	0.8677	0.09875	0.07875
mp (prior)	0.9533	0.11125	0.106875
item-knn	0.9555	0.1325	0.12
BPR-MF-16	0.9680	0.1418	0.1281
BPR-MF-32	0.9711	0.1397	0.1231
PITF-8	0.9511	0.13125	0.1125
PITF-16	0.9490	0.125	0.103125
PITF-32	0.9501	0.12875	0.109375

TABLE 2.4 – Résultat de la piste 1 " MoviePilot Christmas "

2.4.4.2 Oscar

Les résultats pour le problème de prédiction d'Oscar peuvent être vus dans le tableau 2.5. Ici, PITF se comporte comme prévu, les prédictions s'améliorent avec les modèles qui sont plus grands. Cependant, les auteurs s'attendent à ce que PITF surpasse BPR-MF. Le modèle de prédiction le plus fort en termes de précision est mp (prior).

Méthode	AUC	Prec@5	Prec@10
random	0.5018	0.00136	0.00066
most-popular	0.9611	0.07895	0.08026
mp (date)	0.9048	0.0684	0.0697
mp (week)	0.8979	0.0803	0.0631
mp (event)	0.9001	0.075	0.0743
mp (prior)	0.9623	0.2039	0.1822
item-knn	0.9597	0.1289	0.1243
BPR-MF-16	0.9695	0.1609	0.1442
BPR-MF-32	0.9755	0.1660	0.1498
most-popular (recent)	0.9656	0.0888	0.0825
item-knn	0.9644	0.135	0.1325
BPR-MF-16 (recent)	0.9728	0.1634	0.1472
BPR-MF-32 (recent)	0.9735	0.1574	0.1464
PITF-8	0.9511	0.13125	0.1125
PITF-16	0.9490	0.125	0.103125
PITF-32	0.9501	0.12875	0.109375

TABLE 2.5 – Résultat de la piste 1 " MoviePilot Oscar "

2.5 Approche de Biancalana et al

Dans cette partie, nous allons aborder les deux approches de Biancalana et al. [69] dans le cadre d'utilisation des systèmes de recommandation sensibles au contexte, qui tentent d'exploiter l'utilisation du contexte afin d'améliorer le processus de génération des recommandations. Ces auteurs ont proposé deux approches contextuelles différentes pour la recommandation des films.

2.5.1 Contexte

La plupart des moteurs de recommandation existants ne prennent pas en compte les informations contextuelles pour suggérer des items intéressants aux utilisateurs. Des caractéristiques

telles que l'heure, l'emplacement ou la météo peuvent affecter les préférences de l'utilisateur pour un élément particulier.

Néanmoins, peu de systèmes de recommandation incluent explicitement cette information dans les modèles de préférence. Les systèmes de recommandation contextuels et les systèmes de recommandation classiques sont utilisés pour fournir aux utilisateurs des informations pertinentes : les premiers exploitent les contextes des utilisateurs, les seconds exploitent au moyen les intérêts des utilisateurs.

Les systèmes de recommandation contextuels visent à améliorer la satisfaction des utilisateurs en offrant une meilleure suggestion en fonction d'un contexte d'utilisation particulier.

2.5.2 Objectif

Biancalana et al. ont proposé deux approches contextuelles différentes pour la tâche de recommandation des films :

- Un système de recommandation hybride qui évalue les facteurs contextuels disponibles liés au temps afin d'accroître le rendement des approches traditionnelles du filtrage collaboratif FC.
- La seconde approche vise à identifier les utilisateurs d'un ménage ayant soumis une note donnée. Cette dernière approche est basée sur des techniques d'apprentissage automatique, à savoir des réseaux de neurones et des classificateurs à vote majoritaire.

2.5.3 Description de l'approche

2.5.3.1 Recommandation de films basée sur le traitement du signal

Une hypothèse liée à la tâche de recommandation actuelle implique que des événements ayant lieu à un moment donné influencent potentiellement les films regardés. Le plus pertinent est le nombre de notes que l'utilisateur soumet habituellement dans une période donnée. La plupart du temps, les utilisateurs rassemblent un certain nombre de préférences et les soumettent au système dans un court laps de temps, généralement autour d'une heure. Un très petit sous-ensemble d'utilisateurs répartit les notations sur plusieurs jours ou semaines.

L'hypothèse de Biancalana et al : *Si un utilisateur est particulièrement intéressé par le visionnage de films sur une période donnée, les films les plus regardés de cette période sont ceux qui devraient gagner en importance au cours de la recommandation collaborative traditionnelle.*

Un pré-traitement de l'ensemble de données disponibles a été effectué en regroupant le nombre d'évaluations d'un utilisateur donné selon un intervalle de temps prédéfini, à savoir un jour, une semaine ou un mois. Les auteurs ont obtenu des échantillons quantifiés composant une représentation numérique d'une quantité variable dans le temps, c'est-à-dire un signal.

La première mesure du signal correspond au nombre de films visionnés par l'utilisateur donné dans l'intervalle considéré. La deuxième mesure fait référence à l'intervalle suivant, et ainsi de suite. Le même processus a affecté le nombre de vues d'un film "m". Ensuite, il est possible de corréler les deux signaux dessinant des mesures de similarité. En particulier, Biancalana et al. ont des signaux se rapportant au comportement de l'utilisateur (c'est-à-dire, des films regardés) et un signal associé à chaque film.

2.5.3.2 Réseaux de neurones et vote majoritaire pour l'identification de l'utilisateur

- a) **Analyse de la distribution des valeurs données par un utilisateur (classificateur c1)** : Biancalana et al. ont regroupé la fréquence des évaluations des utilisateurs en les divisant en cinq classes :

1.	0-40
2.	41-60
3.	61-80
4.	81-90
5.	91-100

Le but de cette analyse est de modéliser chaque utilisateur en fonction des valeurs de ses évaluations. Chaque utilisateur est ainsi représenté par une distribution normalisée par un indice de normalisation Z-score qui est comparé à l'évaluation donnée.

- b) **Analyse de la distribution des temps où la notation a été donnée par un utilisateur (classificateur c2)** : Comme dans le cas précédent, les données d'entrée sont

traitées avec les quatre groupes suivants :

1.	morning (7am to 12pm)
2.	afternoon (1pm to 5pm)
3.	evening (6pm to 10pm)
4.	night (11pm to 6am)

Ce modèle représente l'habitude de l'utilisateur de donner ses notes à certains moments [70].

- c) **Analyse des films pour déterminer si deux utilisateurs ont vu le même film (classificateur c3)** Biancalana et al. analysent les utilisateurs qui ont vu un film. Ils sont comparés à l'ensemble des utilisateurs candidats via la distance Jaccard suivante :

$$\frac{\cap(S_u, S_v)}{\cup(S_u, S_v)}$$

Où S_u et S_v sont l'ensemble des films évalués par l'utilisateur u et v , respectivement. Le réseau de neurones est entraîné en utilisant les paramètres d'entrée suivants (68 caractéristiques) :

- La distribution du nombre d'utilisateurs qui ont évalué un film par semaine (53 fonctionnalités).
- La distribution du nombre d'utilisateurs qui ont évalué un film par jour de la semaine (7 fonctions).
- La distribution des notes attribuées à un film, réparties en cinq groupes (5 fonctions).
- La date de soumission de la notation, identifiée par semaine de l'année (de 1 à 53) et par jour de la semaine (de 1 à 7) (2 caractéristiques).
- Le nombre de notes attribuées à un film (1 caractéristique).

2.5.4 Les techniques utilisées

Les moteurs de recommandation exploitent généralement des rétroactions explicites ou des données d'utilisation implicites pour déterminer les films que l'utilisateur voudra voir ensuite.

Algorithm 1 Algorithme d'empilement pondéré

Require: : Donner un ensemble d'apprentissage $(t_1, \vec{c}_1), \dots, (t_n, \vec{c}_n)$ et un tuple t

for $i=1$ **to** 3 **do**

$TS_i \leftarrow$ Sélection de N exemples aléatoires de l'ensemble d'apprentissage

$f_i \leftarrow$ Le résultat de l'apprentissage basé sur l'algorithme d'apprentissage sur TS_i donne la sortie y_{c1}, y_{c2}, y_{c3} à partir du réseau de neurones

end for

Sortie du classificateur combiné $g(t) = \text{majorité}(y_{c1} \cdot f_1(t), y_{c2} \cdot f_2(t), y_{c3} \cdot f_3(t))$

Biancalana et al. ont utilisé la **technique de filtrage collaboratif (FC)** dans la première approche en tenant compte des facteurs contextuels. Par contre, Dans la deuxième approche, Biancalana et al. ont utilisé la **technique de Machine learning** ou **Apprentissage automatique** qui permet de prévoir l'utilisateur qui a soumis une évaluation donnée.

2.5.5 Étude expérimentale

L'évaluation se concentre sur les métriques d'exactitude de classification pour deux pistes différentes comme suit :

- **Piste 1** : il est demandé de générer des recommandations pour chaque ménage. Le nombre de recommandations à suggérer est prédéterminé pour chaque ménage.
- **Piste 2** : le but est d'identifier quel membre d'un ménage a effectué une évaluation donnée. Bien sûr, les membres des ménages sont connus.

2.5.5.1 Recommandations du ménage

Les paramètres utilisés pour l'évaluation qui ont été définis empiriquement sont les suivants :

Notation	Description
$N_u = 7$	Nombre d'utilisateurs dans le neighborhood
$N_m = 60$	Les premiers résultats du réducteur utilisé pour le ré-classement
$b = 1.25$	Rescorer bosting

TABLE 2.6 – Les paramètres utilisés pour l'évaluation

Lorsque le ménage est composé de plus d'une personne, les listes de résultats des algorithmes de chaque utilisateur du ménage sont fusionnées et les résultats les mieux classés sont utilisés

pour les tests. Alors, les résultats sont résumés comme suit :

	CF	CF w/Rescover
MAP	0,002	0,298
$P@5$	0,010	0,170
$P@10$	0,006	0,124

TABLE 2.7 – Résultats d'évaluation pour la piste 1

2.5.5.2 Identification des évaluations

Afin de déterminer les valeurs optimales pour les poids du réseau, Biancalana et al. ont déjà appliqué un algorithme d'apprentissage supervisé basé sur la descente de gradient et une validation croisée de 10 pour ajuster les poids vers la convergence. Ils ont obtenu une précision de classification élevée de 71,9%. Les valeurs des autres mesures pertinentes sont résumées dans le tableau 2.8 :

0,03	Mean absolute error (MAE)
0,26	Root mean squared error (RMSE)
0,23	Relative absolute error (RAE)
44 %	Root relative squared error (RRSE)

TABLE 2.8 – Valeur d'erreur pour " Neural network training "

Les résultats des trois classificateurs $c1$, $c2$, $c3$ et du classificateur NN, qui adoptent l'approche combinée avec le réseau neuronal, sont résumés dans le tableau 2.9, en utilisant le taux d'erreur de classification par ménage (Average Error Rate, AER), Taux d'erreur moyen pour le ménage (AERH) pour chaque taille de ménage $\{2, 3, 4\}$, zone de ménage sous la courbe ROC (AUC) et (MAP : Mean Average Precision).

	c1	c2	c3	NN
MAP	0.621	0.623	0.792	0.824
AUC	0.614	0.695	0.756	0.815
AER	0.605	0.610	0.755	0.800
$AERH_2$	0.606	0.621	0.756	0.804
$AERH_3$	0.609	0.619	0.705	0.735
$AERH_4$	0.483	0.510	0.838	0.777

TABLE 2.9 – Valeur d'erreur pour " Neural network training "

Les résultats montrent que les approches $c1$ et $c3$ fournissent des résultats comparables, tandis que l'approche $c2$ présente la pire performance. La combinaison des trois classificateurs à travers un réseau de neurones fournit des valeurs significativement plus élevées de **MAP** et d'**AUC** que celles fournies par les classificateurs uniques, représentant ainsi les meilleurs résultats de ces expériences.

Dans l'ensemble de tests, il n'y a pas de ménages avec plus de quatre membres effectuant des évaluations. Par conséquent, Biancalana et al. ont décidé de ne pas utiliser les mesures **P@5** et **P@10** dans chaque piste, car leurs valeurs ne seraient pas significatives.

2.6 Approche de Shi et al

Les systèmes recommandation contextuels visent à améliorer les performances de la recommandation en exploitant différentes sources d'informations. Dans cette section, Shi et al. [6] ont présenté un nouvel algorithme de recommandation contextuelle de film basé sur **Joint matrix Factorization (JMF)**.

2.6.1 Contexte

La recommandation tenant compte du contexte a connu un regain d'intérêt dans la communauté des systèmes de recommandation [7]. L'intérêt a été stimulé par une prise de conscience croissante du potentiel de l'information contextuelle, si disponible, pour améliorer la qualité des recommandations [24],[17]. Les informations contextuelles peuvent être exploitées pour estimer

de manière plus fiable les relations entre les items en compensant les cas dans lesquels les informations de la matrice d'utilisateur-article (en Anglais : user-item) d'origine sont insuffisantes.

2.6.2 Objectif

Shi et al. [6] ont proposé un nouvel algorithme de recommandation contextuelle des films qui étend le modèle de factorisation matricielle de base (MF) pour prendre en compte les liens induits par le contexte entre les films.

2.6.3 Les techniques utilisées

Dans cette partie, Shi et al. ont présenté leur algorithme proposé pour la tâche de recommandation contextuelle des films du défi Moviepilot. L'organigramme de l'algorithme proposé est présenté à la figure 2.9.

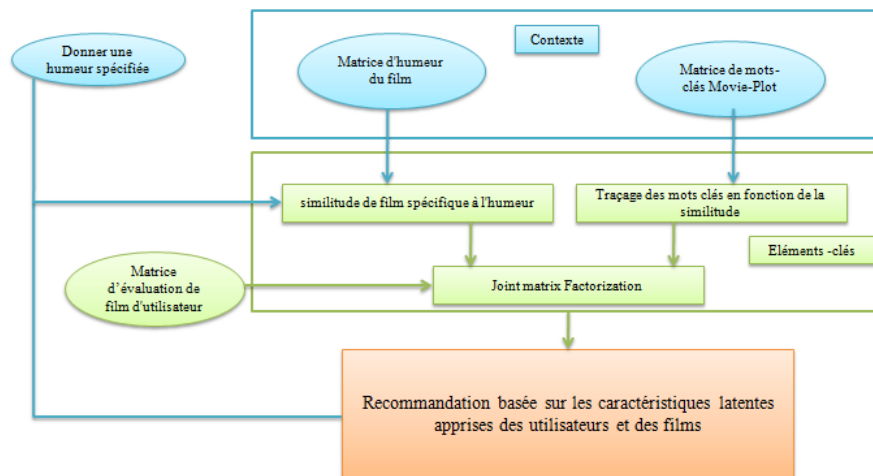


FIGURE 2.9 – Organigramme de l'algorithme proposé [6]

2.6.3.1 Similitude de film spécifique à l'humeur

Selon le filtrage collaboratif (FC) basé sur les items, la similarité item à item peut être calculée comme la similarité cosinus entre deux vecteurs d'évaluation d'items [71]. De même, étant donné la matrice M (composée de N films et de K_1 marqueurs d'humeur), la similarité

d'humeur entre le film j et le film n est calculé comme suit :

$$S_{jn}^{(Mov-mood)} = \frac{\sum_{k=1}^{K_1} M_{jk} M_{nk}}{\sqrt{\sum_{k=1}^{K_1} M_{jk}^2} \sqrt{\sum_{k=1}^{K_1} M_{nk}^2}} \quad (2.5)$$

Avec $M_{jk} = 1$ indique que le film j à l'étiquette d'humeur k , sinon $M_{jk} = 0$.

Exemple 4 Comme le montre la figure 2.10, deux films (A et B) partageant différentes propriétés de l'humeur pourraient être également similaires à un autre film (D). Si l'humeur requise d'un film est spécifiée, cette similitude ne permet pas de différencier les films A et B.

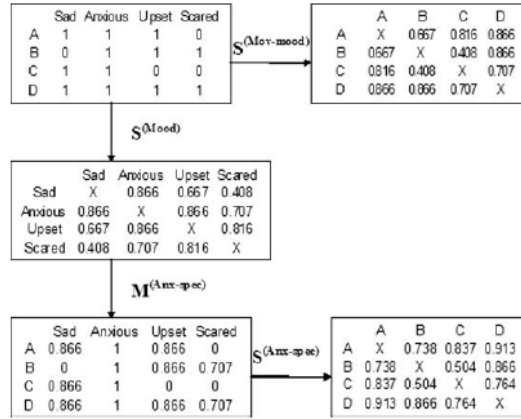


FIGURE 2.10 – Un exemple illustratif du similitude de film spécifique à l'humeur [6]

Au lieu d'évaluer la cohérence des marqueurs d'humeur entre deux films, comme dans l'équation 2.5, le calcul de la cooccurrence normalisée de l'humeur i et de l'humeur k dans la collection de films se fait comme suit :

$$S_{ik}^{(mood)} = \frac{\sum_{j=1}^N M_{ji} M_{jk}}{\sqrt{\sum_{j=1}^N M_{ji}^2} \sqrt{\sum_{j=1}^N M_{jk}^2}} \quad (2.6)$$

Une fois que la matrice de cooccurrence d'humeur $S_{ik}^{(mood)}$ est obtenue, La matrice d'humeur cinématographique spécifique à l'humeur est générée, comme l'exprime l'équation 2.7 :

$$M_{jk}^{m-spec} = \begin{cases} S_{jk}^{mood} & k \neq m \\ M_{jk} & k = m \end{cases} \quad (2.7)$$

Tout en conservant les valeurs originales de matrice de l'humeur du film dans la colonne correspondant à l'humeur m , les valeurs de la matrice comme dans l'équation 2.7, pour toute

autre humeur k , sont remplacées par les valeurs des similitudes dans l'équation 2.6, indiquant implicitement dans quelle mesure l'humeur k est informative sur l'humeur m . Ensuite, les auteurs ont défini la similarité cinématographique spécifique à l'humeur comme suit :

$$S_{jn}^{(m-spec)} = \frac{\sum_{k=1}^{k_1} M_{jk}^{(m-spec)} M_{nk}^{(m-spec)}}{\sqrt{\sum_{k=1}^{k_1} M_{jk}^{(m-spec)^2}} \sqrt{\sum_{k=1}^{k_1} M_{nk}^{(m-spec)^2}}} \quad (2.8)$$

2.6.3.2 Approche de Said et al

La similitude entre les films en termes de mots-clés (PK). Puisque les PK représentent le contenu du film, cette similitude peut améliorer les liens basés sur l'humeur entre les films. Tout d'abord, la création d'une matrice P de film-PK binaire composée de N films et K_2 PK.

Où $P_{jk} = 1$ si le film j a le PKk , et $P_{jk} = 0$ sinon.

Ensuite, la similarité **PK-based** entre le film j et le film n peut être définie comme suit :

$$S_{(jn)}^{(Mov-PK)} = \frac{\sum_{k=1}^{k_2} P_{jk} P_{nk}}{\sqrt{\sum_{k=1}^{k_2} P_{jk}^2} \sqrt{\sum_{k=1}^{k_2} P_{nk}^2}} \quad (2.9)$$

2.6.3.3 Joint Matrix Factorization (JMF)

Le MF de base [64] peut être formulé comme dans l'équation 2.10 :

$$U.V = \underset{U,V}{\operatorname{argmin}} \left\{ \frac{1}{2} \sum_{u=1}^K \sum_{j=1}^n I_{uj}^R (R_{uj} - U_u^T V_j)^2 + \frac{\lambda u}{2} \|U\|_F^2 + \frac{\lambda v}{2} \|V\|_F^2 \right\} \quad (2.10)$$

Notation	Signification
\mathbf{R}	La matrice d'évaluation User-item \mathbf{R} composée de \mathbf{K} utilisateurs et de \mathbf{N} éléments.
\mathbf{MF}	La matrice d'évaluation \mathbf{R} par les deux matrices de rang inférieur. \mathbf{U} et \mathbf{V}
U_u	Une colonne de vecteur de caractéristique d-dimensionnelle de l'utilisateur u .
V_j	Un vecteur de caractéristique de dimension d de colonne de film j .
R_{uj}	L'évaluation de l'utilisateur u sur le film j .
I_{uj}^R	Désigne une fonction indicatrice égale à 1 lorsque $R_{uj} > 0$, et 0 sinon.
$\ U\ _F, \ V\ _F$	Des normes Frobenius de U et V , qui contribuent à atténuer le sur-apprentissage.
$\lambda v, \lambda u$	Des paramètres de régularisation.

TABLE 2.10 – Les propriétés du MF

Les auteurs exigeaient que les films soient similaires les uns aux autres, en ce qui concerne le critère de similarité propre à l'humeur dans l'équation 2.8, partageant des caractéristiques de film similaires. Alors, ces auteurs ont formulé une fonction appelée : **context-aware loss function** $L_1(V)$ comme indiqué dans l'équation 2.11 :

$$L_1(V) = \frac{1}{2} \sum_{j=1}^N \sum_{n=1}^N I_{jn}^{MS} (S_{jn}^{(m-spec)} - V_j^T V_n)^2 \quad (2.11)$$

Où I_{jn}^{MS} désigne une fonction d'indicateur qui est égale à 1 lorsque $S_{jn}^{(m-spec)} >$ et 0 sinon.

les auteurs ont supposé que les films similaires les uns aux autres (voir l'équation 2.9), devraient également partager des caractéristiques de films similaires, ce qui implique que la similitude des graphiques est informative pour un film spécifique à l'humeur. Par conséquent, les auteurs ont formulé une autre fonction de perte contextuelle $L_2(V)$ comme indiqué dans l'équation suivante 2.12 :

$$L_2(V) = \frac{1}{2} \sum_{j=1}^N \sum_{n=1}^N I_{jn}^{PK} (S_{jn}^{(Mov-PK)} - V_j^T V_n)^2 \quad (2.12)$$

Où I_{jn}^{PK} désigne une fonction d'indicateur qui est égale à 1 lorsque $S_{jn}^{(Mov-PK)} >$ et 0 sinon.

En prenant en compte les fonctions de perte contextuelle en tant que termes de régularisation dans le modèle de base **MF**, un modèle de (*JMF : joint matrix factorization*) peut être formulé comme suit :

$$\begin{aligned} L(U, V) = & \frac{1}{2} \sum_{u=1}^K \sum_{j=1}^N I_{uj}^R (R_{uj} - V_u^T V_j)^2 \\ & + \frac{\alpha}{2} \sum_{j=1}^N \sum_{n=1}^N I_{jn}^{MS} (S_{jn}^{(m-spec)} - V_j^T V_n)^2 \\ & + \frac{\beta}{2} \sum_{j=1}^N \sum_{n=1}^N I_{jn}^{PK} (S_{jn}^{(Mov-PK)} - V_j^T V_n)^2 + \frac{\lambda}{2} (\|U\|_F^2 + \|V\|_F^2) \end{aligned}$$

Dans ce modèle, α et β sont des paramètres utilisés pour pondérer les contributions de la régularisation par la similitude de film spécifique à l'humeur et par la similarité de film **PK**, respectivement.

Lorsque $\alpha = 0$ et $\beta = 0$, le modèle **JMF** converge vers le modèle de base **MF**.

Algorithm 2 JMF-MS-PK

Entrée : Matrice d'évaluation de film d'utilisateur R , similarité de film à film spécifique à l'humeur $S^{(m-spec)}$, similarité de film à film à base de **PK** $S^{(Mov-PK)}$, paramètres de tradeoff α et β , paramètre de régularisation λ , condition d'arrêt ϵ .

Sortie : Compléter la matrice de pertinence du film-utilisateur \hat{R} .

Initialiser $U^{(0)}, V^{(0)}$ avec des valeurs aléatoires ;

$t = 0$;

$f = 0$;

Calculer $L^{(t)}$ comme dans l'équation 2.10.

Répéter

$\eta = 1$;

Calculer $\frac{\partial L}{\partial U^{(t)}}, \frac{\partial L}{\partial V^{(t)}}$ comme dans l'équation 2.13 et 2.14 ;

Répéter

$\eta = \frac{\eta}{2}$; // Maximiser la taille de l'apprentissage.

jusqu'à

$L(U^{(t)} - \eta \frac{\partial L}{\partial U^{(t)}}, V^{(t)} - \frac{\partial L}{\partial V^{(t)}}) < L^{(t)}$;

$U^{(t+1)} = U^{(t)} - \frac{\partial L}{\partial U^{(t)}}, V^{(t+1)} = V^{(t)} - \frac{\partial L}{\partial V^{(t)}}$ Calculer $L^{(t+1)}$ comme dans l'équation 2.10 ;

Si $1-L^{(t+1)} / L^{(t)} \leq \epsilon$ **Alors**

$f = 1$; // indicateur de convergence

Fin Si

$t = t + 1$;

jusqu'à $f = 1$

$\hat{R} = U^{(t)T}V^{(t)}$;

Les gradients de $L(U, V)$ par rapport à \mathbf{U} et \mathbf{V} peuvent être calculés comme suit :

$$\frac{\partial L}{\partial U_u} = \sum_{j=1}^N I_{uj}^R (U_u^T V_j - R_{uj}) V_j + \lambda U_u \quad (2.13)$$

Selon l'équation 2.14, les auteurs exploitent la symétrie de $S^{(m-spec)}$ et $S^{(Mov-PK)}$. L'algorithme **JMF-MS-PK** est décrit en détail dans l'algorithme 2.

$$\begin{aligned}
 \frac{\partial L}{\partial V_j} = & \sum_{u=1}^K I_{uj}^R (U_u^T V_j - R_{uj}) U_u + 2\alpha \sum_{n=1}^N I_{jn}^{MS} (V_j^T V_n - S_{jn}^{(m-spec)}) V_n \\
 & + 2\beta \sum_{n=1}^N I_{jn}^{PK} (V_j^T - S_{jn}^{(Mov-PK)}) V_n + \lambda V_j \quad (2.14)
 \end{aligned}$$

2.6.4 Étude expérimentale

Selon Shi et al., les expériences montrent que l'algorithme surpasse plusieurs autres approches de recommandation. Une amélioration peut être obtenue en exploitant les similarités de séquences contextuelles, parmi lesquelles la similarité de film spécifique à l'humeur est montrée pour apporter la contribution majeure à la performance de recommandation et la similitude de film basée **PK** pourrait augmenter la contribution. De plus, ces auteurs ont validé spécifiquement l'utilité de la similarité de film spécifique à l'humeur par rapport à la similarité de film basée sur l'humeur générale, ce qui conduit en effet à une amélioration des performances. Ils ont montré également le **JMF** avec similarité de film spécifique de l'humeur et la similarité de film en termes de mots-clés de la parcelle pourrait être l'option la plus bénéfique pour les utilisateurs de profils contenant différents nombres de films classés, par rapport aux autres variantes.

	P@1	P@5	P@10	MAP
PopRec	0.213	0.248	0.251	0.264
RWR	0.238	0.253	0.274	0.281
MF	0.325	0.305	0.241	0.252
JMF-MB	0.338	0.328	0.286	0.273
JMF-MS	0.350	0.335	0.295	0.289
JMF-MS-PK	0.363	0.335	0.306	0.290

TABLE 2.11 – Comparaison des performances de la recommandation entre l'algorithme proposé et d'autres approches de base

Num. films classés (Num. Utilisateurs)	MF	JMF-MB	JMF-MS	JMF-MS-PK
1 ~ 50 (19)	0.305	0.326	0.374	0.379
51 ~ 100 (16)	0.250	0.269	0.313	0.313
101 ~ 150 (13)	0.208	0.223	0.238	0.238
151 ~ 200 (12)	0.242	0.317	0.250	0.267
>200 (20)	0.195	0.285	0.270	0.300

TABLE 2.12 – Comparaison des performances de P@10 entre l’algorithme proposé et d’autres approches de référence par rapport aux utilisateurs ayant différents nombres de films classés

2.7 Approche de Said et al

2.7.1 Contexte

L’importance du contexte et des données contextuelles d’un utilisateur pour des recommandations précises a été largement reconnue [14, 72]. Cependant, la grande majorité des techniques de recommandation existantes se concentrent sur la recommandation des items les plus pertinents aux utilisateurs et ne tiennent pas compte du contexte. De plus, il en résulte des recommandations qui ont été statiques. Alors, les systèmes de recommandation sensibles au contexte sont arrivés pour résoudre ce problème puisque ces systèmes utilisent la notion du contexte pour fournir des informations et/ou des services pertinents à l’utilisateur [42].

2.7.2 Objectif

Le défi sur la recommandation contextuelle des films(CAMRa20101) visant à stimuler la recherche de la conscience du contexte dans le système de recommandation. Deux Datasets, rassemblés par les communautés de recommandation des films en ligne **Moviepilot** et **Film-tipset**, ont été lancés exclusivement pour le défi.

2.7.3 Les techniques utilisées

Le défi a servi à stimuler la recherche sur la connaissance du contexte dans les systèmes de recommandation. Ceci a été réalisé en rassemblant des chercheurs travaillant sur des systèmes de recommandation et en les laissant étudier les mêmes défis, tout en évaluant les solutions proposées en utilisant les mêmes Datasets et les mêmes métriques d'évaluation.

Cet environnement semi-contrôlé permettrait une comparaison juste des solutions et des algorithmes développés par les participants. De plus, les participants devaient utiliser uniquement les datasets fournis.

Les datasets utilisés dans le défi ont été publiés exclusivement par les sites de recommandation de films **Moviepilot2** et **Filmtipset3**. Pour des raisons de confidentialité, les datasets ont été anonymisés avant la publication. Quatre versions des datasets ont été créées : deux ensembles **Moviepilot** et deux ensembles **Filmtipset**, c'est-à-dire une version pour chaque piste et sous-piste. Les datasets ont été générés à l'aide des algorithmes aléatoires.

La figure 2.11 montre le nombre d'évaluations par rapport à l'occurrence de taux dans les datasets. La distribution des évaluations dans tous les datasets suit la distribution de la loi de puissance, démontrant qu'il n'y avait pas d'anomalie liée aux évaluations dans les datasets.

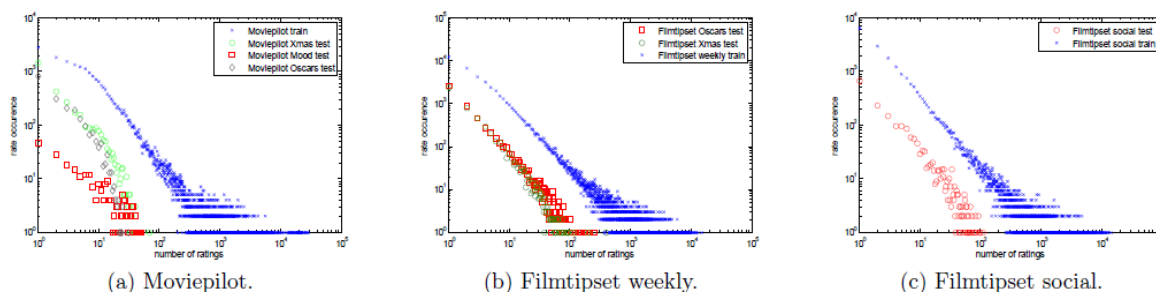


FIGURE 2.11 – Nombre d'évaluations par rapport à l'occurrence de taux des datasets d'apprentissage et de test [7]

2.7.3.1 Moviepilot

Moviepilot est la première communauté de recommandation de films et de télévision en ligne en Allemagne. Il compte plus de 100 000 utilisateurs enregistrés et une base de données de plus de 40 000 films avec environ 7,5 millions d'évaluations. Les détails du dataset sont présentés

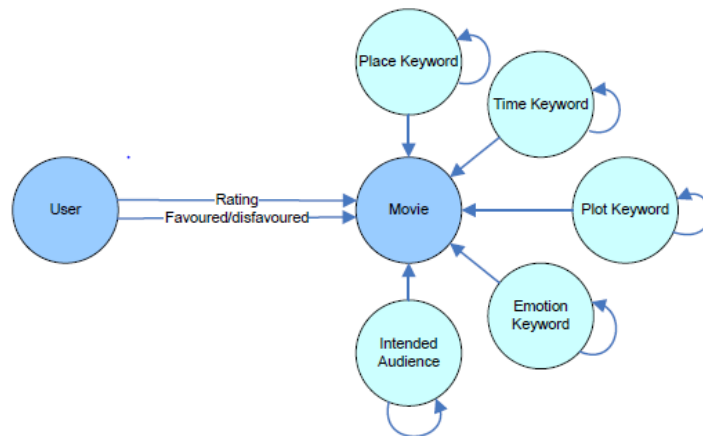
dans le tableau 2.13. **Moviepilot** étaient basés sur les évaluations qui ont été divisées en sept parties :

- Ensemble d'apprentissage (Train-set).
- L'ensemble de test pour la semaine de Noël.
- L'ensemble d'évaluation pour la semaine de Noël.
- L'ensemble de test pour la semaine des Oscars.
- L'ensemble d'évaluation pour la semaine des Oscars.
- L'ensemble de test pour la piste d'humeur.
- L'ensemble d'évaluation pour la piste d'humeur.

	Utilisateurs	Films	Évaluations
Train-set	105,137	25,058	4,544,409
Ensemble de test pour la semaine de Noël	160	3,377	16,174
Ensemble d'évaluation pour la semaine de Noël	80	2,153	6,701
Ensemble de test pour la semaine des Oscars	160	2,144	8,277
Ensemble d'évaluation pour la semaine des Oscars	80	1,520	4,169
Ensemble de test pour la piste d'humeur	160	251	2,656
Ensemble d'évaluation pour la piste d'humeur	80	220	1,421

TABLE 2.13 – Le nombre de films, d'utilisateurs et d'évaluations dans **Moviepilot**

En plus des évaluations, les datasets comprenaient plusieurs autres caractéristiques, telles que les étiquettes d'humeur cinématographique, les étiquettes d'audience prévues, les films préférés/détestés et le lieu et l'heure du film. Un diagramme entité-relation abstraite des ensembles de données et de leurs caractéristiques est présenté dans la figure 2.12 :

FIGURE 2.12 – Un diagramme entité-relation abstraite de dataset de **Moviepilot** [7]

Toutes les données se rapportant aux paires utilisateur-film trouvées dans les ensembles de test et d'évaluation et dans les semaines correspondantes (Noël 2009 et Oscars 2010 [73]) ont été supprimées. Afin de ne pas révéler des informations non disponibles au moment des recommandations. Les statistiques d'attribution d'étiquettes dans l'ensemble d'apprentissage sont présentées dans le tableau 2.14.

	Affectations
Humeur	6,712
Plot	92,124
Time	3,687
Place	8,586
Audience	2,436

TABLE 2.14 – Affectations des tags dans **Moviepilot**

2.7.3.2 Filmtipset

Filmtipset est la plus grande communauté de recommandation de films en Suède. Il compte plus de 90 000 utilisateurs enregistrés et une base de données de plus de 20 millions d'évaluations. Ces datasets ont été divisés en plusieurs fichiers, chaque piste ayant un ensemble d'apprentissage, un ensemble de test et un ensemble d'évaluation.

Ces données d'évaluation ont été regroupées avec d'autres fonctionnalités, telles que les commentaires, les relations avec les amis, les informations sur les acteurs/auteurs/réalisateurs et les détails. Un diagramme d'entité-relation abstraite du dataset et de leurs caractéristiques est présenté à la figure 2.13.

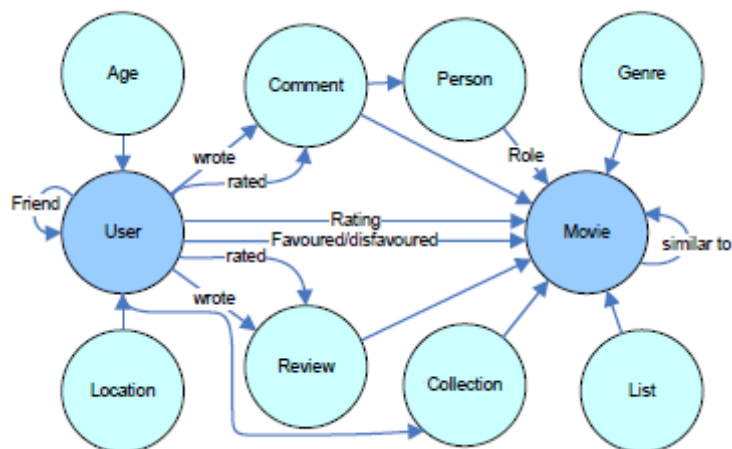


FIGURE 2.13 – Un diagramme entité-relation abstraite de dataset de **Filmtipset** [7]

Le tableau 2.15 montre certaines collections non liées à l'évaluation dans Filmtipset.

	hebdomadaire	Social
Collection	307,131	102
Favorites	44,765	15,283
Friends	83,966	12,171
Genres	143,316	67,997
Lists	519,515	438,643
Movie comments	289,586	146,510
People in movies	452,074	224,410
Person comments	322,555	2,822
Review ratings	37,491	2,423
Reviews	1,341	1,044
Movie similarities	35,925	28,372

TABLE 2.15 – Le nombre de collections, de favoris, etc. dans **Filmtipset**

L'ensemble de test pour la piste des recommandations hebdomadaires était basé sur toutes les évaluations fournies entre le premier février 2008 et le 25 février 2010. Les ensembles de test et d'évaluation pour la sous-piste de la semaine de Noël étaient basés sur les évaluations fournies entre le 21 décembre 2009 et le 27 décembre 2009. Les détails de ces datasets sont présentés dans le tableau 2.16.

	Utilisateurs	Films	Évaluations
Ensemble d'apprentissage	34,857	53,600	5,862,464
Ensemble de test pour la semaine de Noël	2,500	5,110	23,393
Ensemble d'évaluation pour la semaine de Noël	1,000	3,450	9,250
Ensemble de test pour la semaine des Oscars	2,500	5,670	33,548
Ensemble d'évaluation pour la semaine des Oscars	848	3,235	11,486

TABLE 2.16 – Nombre d'utilisateurs, de films et d'évaluations dans le dataset hebdomadaires **Filmtipset**

Les données hebdomadaires ont été supprimées du dataset de recommandations sociales, créant pratiquement deux ensembles de données disjoints par un utilisateur. Les détails de ces datasets sont présentés dans le tableau 2.17.

	Utilisateurs	Films	Évaluations
Train-set	16,473	24,222	3,075,346
Test	439	1,915	15,729
Évaluation	153	1,449	6,224

TABLE 2.17 – Nombre d'utilisateurs, de films et d'évaluations dans le dataset sociales **Filmtipset**

2.7.4 Étude expérimentale

Les pistes hebdomadaires et les datasets ont été couverts par [74] où les auteurs ont mis en œuvre un modèle de filtrage collaboratif prenant en compte le temps en utilisant la factorisation matricielle. La piste hebdomadaire utilisant les données de **Moviepilot** a été couverte par [5] où les auteurs ont utilisé une approche de la recommandation de tag, PITF (Pairwise Interaction

Tensor Factorization) où des semaines ont été utilisées pour former des tenseurs de film pour des utilisateurs. Deux essais sur la piste hebdomadaire utilisant les données de **Filmtipset** ont été présentés par les auteurs de [75, 76], les documents ont présenté une recommandation utilisant kNN basé sur le temps [76] et une approche basée sur des modèles de régression [75].

La piste d'humeur a été couverte par [77, 78] où les approches utilisées étaient une moyenne pondérée kNN basée sur l'humeur et l'utilisateur [8], un modèle de factorisation matricielle étendue incluant des informations sur l'humeur [77] et un algorithme de filtrage collaboratif utilisant des utilisateurs experts [78]. Enfin, la piste sociale a été couverte par les auteurs de [79, 80, 81]. L'approche sociale de [74] était, de même que l'approche hebdomadaire couverte par cet article, basée sur la factorisation matricielle. L'approche dans [79] était un modèle de random-walk utilisant l'information implicite dans les amitiés [80], présentée et étendue du filtrage collaboratif traditionnel où les données sociales étaient prises en compte, et [81] présentait deux approches : une approche kNN basée sur des combinaisons linéaires de mesures de similarité entre des utilisateurs, et une approche basée sur la programmation logique inductive. Les résultats de chaque approche sont présentés dans le tableau 2.18.

	paper	P@5	P@10	MAP	AUC
MP_{Xmas}	[74] $_{TWMF}$	0.3637	0.3168	0.1654	0.9212
	[5]	0.1418	0.1281		0.9680
MP_{Oscar}	[74] $_{TWN}$	0.2775	0.2237	0.1362	0.9556
	[5]	0.2039	0.1822		0.9623
FT_{Xmas}	[74] $_{SMF}$	0.0817	0.0596	0.0902	0.9283
	[76]	0.0070	0.0044	0.0405	0.4552
	[75]	0.0795	0.0821	0.0973	0.9231
FT_{Oscar}	[74] $_{SMF}$	0.1087	0.0708	0.0911	0.9467
	[76]	0.0034	0.0028	0.0359	0.4161
	[75]	0.0942	0.0655	0.0849	0.9295

Mood	[77]	0.3380	0.2970	0.2940	0.8690
	[78]	0	0	0.0037	0.6548
Social	[74] _{NRMF}	0.5144	0.4185	0.3103	0.9782
	[79]	0.0802	0.0704	0.0596	0.4276
	[80]			0.4167	
	[81]	0.1480	0.1230	0.0970	0.9880

TABLE 2.18 – Les résultats obtenus dans chaque piste par les participants (les valeurs manquantes n'ont pas été fournies)

2.8 Approche de Wang et al

2.8.1 Contexte

Les technologies de personnalisation et les systèmes de recommandation ont été largement utilisés dans plusieurs domaines (tels que la recherche d'informations) pour atténuer le problème de "surcharge d'informations". Le but de tels systèmes est d'aider les utilisateurs à trouver des articles (tels que des films, des pages Web et des services).

La grande majorité des systèmes de recommandation basiques se concentrent sur la recommandation des éléments les plus pertinents aux utilisateurs et ne tiennent pas compte du contexte. Alors, les systèmes de recommandation sensibles au contexte arrivent pour résoudre ce problème. Dans ce cadre, l'humeur s'est avérée être une caractéristique contextuelle importante dans les systèmes de recommandation contextuels par certaines études.

2.8.2 Objectif

Wang et al. [8] ont proposé deux nouvelles approches du filtrage collaboratif hybride (FC) basé sur l'humeur afin d'améliorer encore la précision des performances et la satisfaction des utilisateurs en utilisant le contexte émotionnel dans les systèmes de recommandation contextuels.

2.8.3 Les techniques utilisées

2.8.3.1 Le filtrage collaboratif

Le filtrage collaboratif (FC) ([24], [82]) est l'approche la plus populaire dans le domaine des systèmes de recommandation. Alors, Wang et al. ont utilisé le filtrage collaboratif traditionnel basé sur l'utilisateur comme étant l'approche de base qui peut être divisée en deux étapes :

- L'évaluation de la similarité de l'utilisateur.
- La prédiction d'évaluation.

L'approche du filtrage collaboratif traditionnelle basée sur l'utilisateur repose sur des utilisateurs similaires ayant des profils d'évaluation similaires, c'est-à-dire que la prédiction d'une évaluation $r_{c,m}$ pour l'utilisateur c et l'élément m est calculée comme un agrégat des utilisateurs pour le même élément m [24].

Les k utilisateurs les plus similaires sont généralement appelés k plus proches voisins (KNN). Ainsi, une mesure de similarité $sim(x, y)$ entre l'utilisateur x et y doit être définie et calculée avec le coefficient de corrélation de Pearson, le cosinus ou d'autres méthodes. Dans ce cadre, les auteurs ont utilisé le coefficient de corrélation de Pearson pour mesurer la similarité de x et y comme suit [24] :

$$Sim(x, y) = \frac{\sum_{s \in S_{xy}} (r_{x,s} - \bar{r}_x)(r_{y,s} - \bar{r}_y)}{\sqrt{\sum_{s \in S_{xy}} (r_{x,s} - \bar{r}_x)^2 \sum_{s \in S_{xy}} (r_{y,s} - \bar{r}_y)^2}} \quad (2.15)$$

Notation	Propriétés
$S_{xy} = \left\{ s \in S \mid r_{x,s} \neq nul, r_{y,s} \neq nul \right\}$	Ensemble de tous les éléments co-évalués par les deux utilisateurs x et y
$ S_{xy} $	Nombre d'éléments co-évalués

TABLE 2.19 – Les propriétés de la corrélation de Pearson

L'approche du filtrage collaboratif traditionnelle introduit généralement l'évaluation moyenne de l'utilisateur. Ensuite, l'estimation prédite \bar{r}_x, m peut être calculée comme suit :

$$r_{c,m} = \frac{\bar{r}_c + \sum_{c' \in \hat{C}} Sim(c, c')_{tran-pearson} \times (r_{c',m} - \bar{r}_{c'})}{\sum_{c' \in \hat{C}} |sim(c, c')|_{tran-pearson}} \quad (2.16)$$

2.8.3.2 Recommandation tenant compte de l'humeur

La plupart des travaux sur la recommandation d'humeur ont abordé les recommandations d'humeur et de musique, mais il y avait peu d'études liées au cinéma. Winoto et al. [83] ont étudié le rôle de l'humeur de l'utilisateur dans les recommandations de films en proposant une approche du **FC** sensible à l'humeur et ont comparé aussi les performances par rapport à l'approche classique.

2.8.4 Description de l'approche

Dans cette partie, nous allons aborder de l'approche de Wang et al. Dans le contexte d'utilisation de des systèmes de recommandation contextuels, les auteurs ont présenté une nouvelle approche FC basée sur l'humeur, puis, ils ont proposé deux approches hybrides basées sur l'approche décrite ci-dessus afin d'améliorer la précision des performances dans les systèmes de recommandation.

2.8.4.1 Approche du filtrage collaboratif basée sur l'humeur

La logique de la piste **Moviepilot** implique que l'humeur d'un film pourrait implicitement refléter l'humeur d'un utilisateur au moment de regarder le film [7]. L'approche proposée du filtrage collaboratif basée sur l'humeur repose sur des utilisateurs similaires qui ont des profils de préférence d'humeur similaires, c'est-à-dire ceux qui ont un intérêt similaire pour le contexte émotionnel. De plus, l'approche proposée prend en considération l'effet de la volatilité de l'évaluation d'humeur sur les préférences de l'utilisateur.

L'humeur choisie pour cette piste était "Eigenwillig", c'est-à-dire "bizarre". Cependant, les participants n'ont pas reçu la description textuelle de l'humeur, mais plutôt une représentation numérique anonymisée. Par conséquent, Wang et al. ont utilisé le modèle d'espace vectoriel (VSM) pour décrire le contexte émotionnel :

$$r_{c,m} = \frac{\bar{r}_c + \sum_{c' \in \hat{C}} Sim(c, c')_{tran-pearson} \times (r_{c',m} - \bar{r}_{c'})}{\sum_{c' \in \hat{C}} |sim(c, c')|_{tran-pearson}} \quad (2.17)$$

— Cette approche est divisée en trois étapes :

☞ Construire une matrice des préférences de l'humeur basée sur la matrice d'évaluation **user-movie**, les relations entre les films et les émotions et le facteur de volatilité d'évaluation émotionnelle. Chaque rangée de la matrice construite est représentée comme le vecteur émotionnel d'un utilisateur :

$$P_{c,E} = \left\{ p_{c,e} \mid e \in E, p_{c,e} \in [0, 100] \right\} \quad (2.18)$$

Où $p_{c,e}$ est le poids qui mesure la préférence de l'utilisateur c à une émotion spécifique $e \in E$.

Un ensemble des calculs est effectué comme suit :

- $r_c^{\bar{e}} = \frac{1}{N_e} \sum_{e \in E} r_{c,e}$: mesurer la préférence moyenne de l'utilisateur c pour toutes les émotions, C_1 et C_2 sont des seuils constants, et Θ est un coefficient exponentiel.
- Si $vol_{c,e}$ est inférieur à un certain seuil (C_1), l'émotion e a un effet significatif sur les préférences de l'utilisateur et $p_{c,e}$ peut être représenté comme $r_{c,e}$.
- Si $vol_{c,e}$ est au-delà d'un certain seuil (C_1), l'émotion e a peu ou pas d'effet sur les préférences de l'utilisateur et $p_{c,e}$ peut être représenté comme la valeur moyenne $r_{c,e}$.

☞ Calcul de la similarité entre l'utilisateur x et y :

$$sim(x, y)_{mood-pearson} = \frac{\sum_{e \in E} (p_{x,e} - \bar{p}_x)(p_{y,e} - \bar{p}_y)}{\sqrt{\sum_{e \in E} (p_{x,e} - \bar{p}_x)^2 \sum_{e \in E} (p_{y,e} - \bar{p}_y)^2}} \quad (2.19)$$

Où p_x signifie les préférences émotionnelles moyennes de l'utilisateur x .

☞ La valeur prédite $r_{c,m}$ peut être calculée comme dans l'équation 2.20 et des recommandations basées sur l'humeur peuvent alors être générées.

$$r_{c,m} = \bar{r}_c + \frac{\sum_{c' \in \hat{C}} sim(c, c')_{mood-pearson} \times (r_{c',m} - \bar{r}_{c'})}{\sum_{c' \in \hat{C}} |sim(c, c')_{mood-pearson}|} \quad (2.20)$$

2.8.4.2 Approche du FC hybride basée sur l'humeur

— **Approche de fusion de similarité** : Pour rechercher des voisins plus proches, Wang et al. ont proposé une méthode de recherche KNN en plusieurs étapes. Ensuite, les auteurs ont prédit les films non évalués pour les utilisateurs. Le processus d'algorithme est décrit comme suit :

1. Mesure des similarité de chaque utilisateur x et des autres utilisateurs en fonction de l'approche du **FC** traditionnelle, et construire un vecteur sim_{tran_x} pour l'utilisateur x .

$$sim - tran_x = \left\{ \begin{array}{l} sim(x, y)_{tran - pearson} \mid \\ |S_{xy}| \geq min - corated - num \end{array} \right\} \quad (2.21)$$

Où min-corated-num signifie le nombre minimum de séquences vidéo.

2. Mesure des similarité de chaque utilisateur x et d'autres utilisateurs en fonction du FC basé sur l'humeur, et construire une ambiance de simulation vectorielle sim_{mood_x} pour l'utilisateur x .

$$sim - tran_x = \left\{ \begin{array}{l} sim(x, y)_{mood - pearson} \mid \\ |S_{xy}| \geq min - corated - num \end{array} \right\} \quad (2.22)$$

3. Trouver les plus proches voisins pour l'utilisateur x basé sur sim_{tran_x} et sim_{mood_x} . Trouver d'abord la k-ème valeur maximale $sim_{tran_{xk}}$ et les valeurs qui ne sont pas inférieures à $D\%$ $0 \leq D \leq 100$ à partir du vecteur sim_{tran_x} , en les considérant comme les plus proches voisins candidats. Ensuite, sélectionner le même nombre de valeurs maximales à partir du vecteur sim_{mood_x} avec la construction de deux groupes de voisins les plus proches pour l'utilisateur x .

$$G1 = \left\{ y \mid sim_{x, y_{tran-pearson}} \in [sim - tran_{xk} \times (2 - D\%), sim - tran_{x1}] \right\}$$

$$G2 = \left\{ \begin{array}{l} y \mid sim_{x, y_{tran-pearson}} \in [sim - tran_{xk} \times D\%, \\ sim - tran_{xk} \times (2 - D\%)], sim(x, y)_{mood-pearson} \geq sim - mood_{xk} \times D\% \end{array} \right\}$$

Les utilisateurs de ces deux groupes sélectionnés sont considérés comme les plus proches voisins de l'utilisateur x : $KNN_x = \{y \mid y \in G1 \cup G2\}$

4. Les évaluations prédites $r_{c,m}$ peuvent être calculées pour l'utilisateur c comme dans l'équation 2.17

2.8.5 Étude expérimentale

Dans cette sous-section, les auteurs ont présenté les résultats expérimentaux moyens pour 160 utilisateurs de test de la figure 2.14, respectivement pour MAP , $P@N$ et AUC . Alors, ils définissent $C_1 = 0.1$, $C_2 = 0.5$, $\Theta = 2$ et $\alpha = 0.6$ en raison de meilleurs résultats avec ces valeurs.

Les résultats de la figure 2.14 montrent que les deux approches (c'est-à-dire la fusion prédictive, la fusion par similarité) surpassent les autres approches du FC en termes des trois métriques d'évaluation. Ainsi, en incorporant l'humeur dans FC en utilisant la fusion de similitude et fusion prédictive.

Les stratégies de fusion des évaluations peuvent améliorer la précision des recommandations sur la piste **Moviepilot**. Cependant, les deux autres solutions proposées de la FC axée sur l'humeur qui ne prennent pas en compte la volatilité des évaluations d'humeur, ne sont pas meilleures que les approches du FC traditionnelles. Ce résultat indique que seuls les états d'humeur ou les préférences d'humeur de l'utilisateur peuvent ne pas suffire à générer des recommandations précises.

De plus, la figure 2.14 montrvoisin le plus proche [e seulement les résultats expérimentaux moyens, tandis que pour quelques certains utilisateurs, l'approche à base d'humeur ne fonctionne pas plus mauvais que FC traditionnel. À partir des résultats de l'expérience, que la volatilité (basée sur l'humeur) permet d'obtenir une meilleure précision des recommandations que celle basée sur l'humeur (non-volatilité) pour les trois mesures d'évaluation. Il est donc significatif de présenter la volatilité dans l'approche de filtrage collaboratif basé sur l'humeur. Par ailleurs, $P@5$ est meilleur que $P@10$ pour toutes les approches, alors que ce n'est pas très intéressant puisque la performance semble augmenter de façon monotone avec la valeur de k .

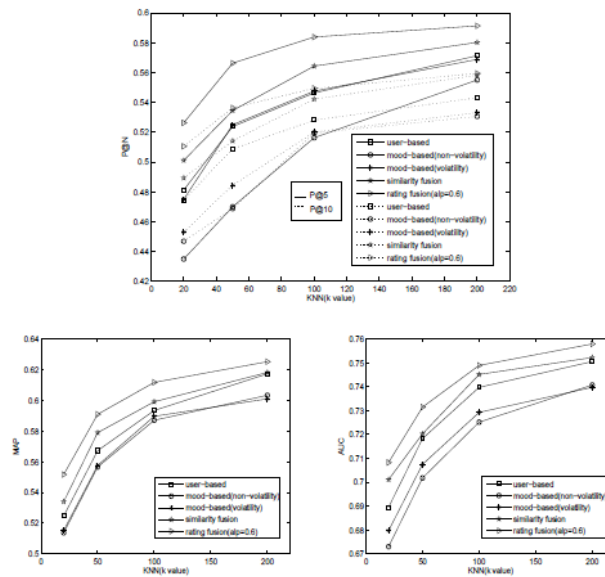


FIGURE 2.14 – Comparaison des performances de différentes approches FC pour le dataset Moviepilot sélectionné en ce qui concerne k le plus proche voisin [8]

2.9 Étude comparative

Dans cette section, nous allons mener une comparaison théorique entre les approches que nous avons détaillées auparavant. Le tableau 2.20 présente une comparaison théorique entre les approches des systèmes de recommandation sensibles au contexte par rapport aux films. La comparaison est faite suivant les axes suivants :

- **Type de contexte** : cet axe décrit les types de contexte utilisés dans les différentes approches des systèmes de recommandation sensibles au contexte.
- **Source de données** : cet axe précise les sources de données utilisées dans les systèmes de recommandation contextuels.
- **Techniques utilisées** : cet axe indique les différents techniques utilisées dans les systèmes de recommandation contextuels par rapport aux films.

Approches	Type de contexte	Source de données	Techniques utilisées
Ostuni et al. [3]	Emplacement	Système DBPEDIA	Pré-filtrage contextuel Post-filtrage contextuel Recommandation basée sur le contenu
Campos et al. [4]	Social et temporel	Les sites web	Pré et post-filtrage contextuel La modélisation contextuelle
Gantner et al. [5]	Temporel	MoviePilot	Pairwise Interaction Tensor Factorization (PITF)
Biancalana et al. [69]	Social	Réseau de neurones	Filtrage collaboratif Machine learning Réseau de neurones
Shi et al. [6]	humeur	Les mots clés	Filtrage collaboratif Joint Matrix Factorization (JMF)
Said et al. [7]	Social et humeur	Les réseaux sociaux	Pairwise Interaction Tensor Factorization (PITF) KNN Factorisation matricielle Filtrage collaboratif
Wang et al. [8]	humeur	Les sites web	Filtrage collaboratif

TABLE 2.20 – Comparaison théorique des approches dans la littérature

2.10 Limites et discussion

les systèmes de recommandation ont été développés en vue de faciliter l'accès aux items pertinents. Leur objectif est d'anticiper les besoins de l'utilisateur en lui fournissant des recommandations d'items jugés pertinents par rapport à ses goûts. À la lumière de ce qui a été dans ce chapitre et à partir du tableau 2.20, nous pouvons conclure que toutes les approches citées dans la littérature sont différentes aux niveaux de type de contexte et les techniques utilisées pour effectuer une recommandation. Parmi les limites des systèmes de recommandation, nous avons identifié la non-prise en compte du contexte dans lequel l'utilisateur décide de faire une recommandation.

2.11 Conclusion

Dans ce chapitre, nous avons présenté quelques approches des systèmes de recommandation sensibles au contexte dans le domaine des films. Par ailleurs tout le long de ce chapitre, nous avons constaté que les approches ont presque toutes l'objectif de construire un système de recommandation contextuelle. Pour notre travail de mémoire, nous nous intéressons à la proposition d'une approche de recommandation contextuelle en se basant sur la méthode d'Analyse Hiérarchique des Procédés (AHP).

Chapitre 3

Nouvelle approche de recommandation contextuelle en se basant sur la méthode d'Analyse Hiérarchique des Procédés (AHP)

3.1 Introduction

Dans un système de recommandation, les éléments d'intérêt et les préférences de l'utilisateur sont représentés sous diverses formes, e.g utiliser un ou plusieurs attributs pour décrire un article. Particulièrement dans les systèmes où les recommandations sont basées sur l'opinion d'autrui, il est crucial de prendre en considération les multiples critères qui affectent les opinions des utilisateurs afin de faire des recommandations plus efficaces. Bien que les systèmes de recommandation utilisent déjà plusieurs attributs pour la production de recommandations, la recherche sur la façon dont les méthodes de prise des décisions multi-critères (MCDM) peuvent faciliter le processus de création d'une recommandation, peut être encore considérée comme sporadique.

Après avoir étudié l'état de l'art des systèmes de recommandation sensibles au contexte dans le domaine des films. Dans ce chapitre, nous commençons par la description des méthodes

de prise de décision multi-critères (**MCDM**). Par la suite, nous allons présenter la méthode d'Analyse Hiérarchique des Procédés et l'intégration de cette méthode dans le processus de recommandation. Enfin, nous allons finir par une conclusion.

3.2 Description des méthodes de prise de décision multicritères (MCDM)

Dans cette section, nous intéressons aux méthodes de prise de décision multi-critères en donnant leurs définitions, les étapes de prise de décision et nous finissons par le processus de fonctionnement des **MCDM**.

3.2.1 Définition des méthodes de prise de décision à critères multiples (MCDM)

Définition 37 **MCDM** est l'une des méthodologies de décision les plus utilisées dans divers domaines tels que : énergie et environnement, affaires, économie, production, etc. Les techniques et approches des **MCDM** améliorent la qualité des décisions en rendant le développement plus efficace, rationnel et explicite [84].

Définition 38 la prise de décision multi-critères (**MCDM**) est une technique de prise de décision basée sur plusieurs alternatives existantes ou une théorie qui explique le processus de prise de décision en considérant plusieurs critères. Afin de modéliser les problèmes de recommandation en tant que **MCDM**, il faut suivre quatre étapes générales de la méthodologie de modélisation pour prendre une décision sur le problème [85] :

- **Objectif de décision** : il définit l'objectif sur lequel les décisions doivent être prises et les raisons de la recommandation de décision.
- **Famille de critères** : il définit l'identification et la modélisation d'un ensemble de critères influençant la décision, ainsi qu'une recommandation complète et non redondante.
- **Modèle de préférence globale** : il définit la fonction d'agrégation pour la préférence

marginale sur chaque critère à la préférence globale du décideur pour chaque élément.

- **Processus d'aide à la décision** : il définit l'étude des différentes catégories et types de systèmes de recommandation qui peuvent être utilisés pour appuyer les recommandations des décideurs, conformément aux résultats des étapes précédentes.

La mise en œuvre de la méthode de prise de décision multi-critères (**MCDM**) dans un système de recommandation n'a pas encore été explorée systématiquement. Un système de recommandation est capable d'expliquer certaines contributions du système qui impliquent plusieurs méthodes MCDM.

MCDM est une théorie de prise de décision qui considère un ensemble limité d'options alternatives par rapport à de nombreux critères. Le problème dans **MCDM** peut être formulé comme suit :

- Supposons qu'il existe M critères et N alternatives. Nous devons choisir une partie ou une série d'alternatives répondant à des critères aussi élevés que possible [11].

Le problème **MCDM** peut être modélisé dans la matrice de décision ci-dessous :

Critères avec leurs poids	C_1	C_2	C_3	...	C_N
Alternatives	W_1	W_2	W_3	...	W_N
A_1	a_{11}	a_{12}	a_{13}	...	a_{1N}
A_2	a_{21}	a_{22}	a_{23}	...	a_{2N}
A_3	a_{31}	a_{32}	a_{33}	...	a_{3N}
.
.
.
A_M	a_{M1}	a_{M2}	a_{M3}	...	a_{MN}

TABLE 3.1 – Matrice de décision [11]

La matrice de décision est une matrice de taille $M \times N$ où l'élément a_{ij} indique la performance de l'alternative A_i lorsqu'elle est évaluée par rapport au critère C_j (pour $i = 1, 2, 3, \dots, M$ et $j = 1, 2, 3, \dots, N$).

3.2.2 Les étapes de prise de décision

Un processus de prise de décision implique les étapes suivantes à suivre :

Étapes	Description
1	Identifier l'objectif / le but du processus de prise de décision
2	Sélection des critères / paramètres / facteurs / décision
3	Sélection des alternatives
4	Sélection des méthodes de pondération pour représenter l'importance des critères
5	Méthode d'agrégation
6	Prise de décision basée sur les résultats d'agrégation

TABLE 3.2 – Les étapes de la prise de décision

3.2.3 Principe de fonctionnement

Dans cette partie, nous nous intéressons au principe de fonctionnement des méthodes de prise de décision à critères multiples (MCDM). Le processus du MCDM suit un principe de fonctionnement commun comme décrit dans le tableau 3.3

	Étapes	Propriétés
1	Sélection des critères	Les critères sélectionnés doivent être : cohérent avec la décision, indépendant les uns des autres, représenté dans la même échelle et mesurable.
2	Sélection des alternatives	Les alternatives sélectionnées doivent être : Disponible, comparable, vrai pas idéal et pratique / faisable

3	Sélection des méthodes de pondération pour représenter l'importance des critères	Exemple des méthodes compensatoires : — Analyse Hiérarchique des Procédés — Processus décisionnel multi-critères flous (FDM), etc
		Exemple des méthodes de classement : — Élimination et Choix Exprimant la Réalité (ELECTRE) — Classement des Préférences — Méthode d'organisation pour l'enrichissement des évaluations (PROMETHUS)
4	Méthode d'agrégation	Peut être un produit, une moyenne ou une fonction

TABLE 3.3 – Principe de fonctionnement de **MCDM**

☞ Pour les méthodes d'agrégation : le résultat de cette agrégation séparera la meilleure alternative des options disponibles.

AHP et **FLDM** sont deux exemples les plus populaires de **MCDM** qui sont largement utilisés pour résoudre des problèmes de prise de décision et dans divers systèmes d'aide à la décision dans le monde. Dans la section suivante, nous allons intéresser à la **méthode d'Analyse Hiérarchique des Procédés (AHP)**.

3.3 Méthode d'Analyse Hiérarchique des Procédés (AHP)

Dans cette section, nous définissons la méthode d'Analyse Hiérarchique des Procédés. Nous commençons, tout d'abord, par l'explication du principe de la méthode AHP ainsi que sa mise

en œuvre. Ensuite, nous précisons les caractéristiques de cette méthode de prise de décision et nous finirons par une discussion et quelques critiques.

3.3.1 Définition de la méthode d'analyse hiérarchique des procédés (AHP)

Définition 39 AHP introduit par Thomas Saaty (1980), est un outil efficace pour traiter les décisions complexes et pouvoir aider le décideur à établir des priorités et à prendre la meilleure décision. En réduisant les décisions complexes à une série de comparaisons par paires, puis en synthétisant les résultats, AHP aide à saisir les aspects subjectifs et objectifs d'une décision. De plus, AHP intègre une technique utile pour vérifier la cohérence des évaluations du décideur, réduisant ainsi les biais dans le processus décisionnel.

3.3.2 Fonctionnement de la méthode AHP

AHP considère un ensemble des critères d'évaluation et un ensemble d'options alternatives parmi lesquelles la meilleure décision doit être prise. Il est important de noter que certains des critères peuvent être contrastés et il n'est pas vrai que la meilleure alternative est celle qui optimise chaque critère unique, plutôt celle qui réalise le compromis le plus approprié parmi les différents critères.

AHP génère un poids pour chaque critère d'évaluation selon les comparaisons par paires des critères du décideur. Plus le poids est élevé, plus le critère correspondant est important. Ensuite, pour un critère fixe, la méthode AHP attribue un score à chaque alternative en fonction des comparaisons par paires des alternatives basées sur ce critère. Plus le score est élevé, la performance de l'option est meilleure par rapport au critère considéré. Enfin, cette méthode combine les pondérations de critères et les scores des évaluations, déterminant ainsi un score global pour chaque option et un classement qui résulte. Le score global pour une option donnée est une somme pondérée des scores obtenus par rapport à tous les critères.

3.3.3 Caractéristiques de l'AHP

AHP est un outil très flexible et puissant car les scores, et donc le classement final, sont obtenus sur la base des évaluations relatives du comparaison par paires des critères et des alternatives fournies par l'utilisateur. Les calculs effectués par AHP sont toujours guidés par l'expérience du décideur et cette méthode peut donc être considérée comme un outil capable de traduire les évaluations (qualitatives et quantitatives) faites par le décideur dans un classement multi-critère. De plus, AHP est simple car il n'est pas nécessaire de construire un système expert complexe avec les connaissances du décideur intégré.

D'autre part, AHP nécessite un grand nombre d'évaluations par l'utilisateur, en particulier pour les problèmes avec de nombreux critères et alternatives. Bien que chaque évaluation unique est très simple, puisqu'elle n'exige que le décideur d'exprimer comment deux alternatives ou critères se comparent, la charge de la tâche d'évaluation peut devenir déraisonnable. En fait, le nombre de comparaisons par paires croît quadratiquement avec le nombre de critères et des alternatives.

Exemple 4 En comparant 10 alternatives sur 4 critères, $4 \times \frac{3}{2} = 6$ comparaisons sont demandées pour construire le vecteur de poids, et $4 \times (10 \times \frac{9}{2}) = 180$ comparaisons par paires sont nécessaires pour construire la matrice de score.

Toutefois, afin de réduire la charge de travail du décideur, AHP peut être complètement ou partiellement automatisée en spécifiant des seuils appropriés pour décider automatiquement certaines comparaisons par paires.

3.3.4 Mise en œuvre de la méthode AHP

La méthode AHP consiste à représenter un problème de décision par une structure hiérarchique reflétant les interactions entre les divers éléments du problème, à procéder ensuite à des comparaisons par paires des éléments de la hiérarchie, et enfin à déterminer les priorités des actions. La méthodologie de l'AHP peut être expliqué dans les étapes suivantes :

- **Étape 1** : Décomposer le problème en une hiérarchie d'éléments inter-reliés. Au sommet de la hiérarchie, on trouve l'objectif et dans les niveaux inférieurs on trouve les éléments contribuant à atteindre cet objectif. Ceci est la partie la plus importante et créative de la

prise de décision.

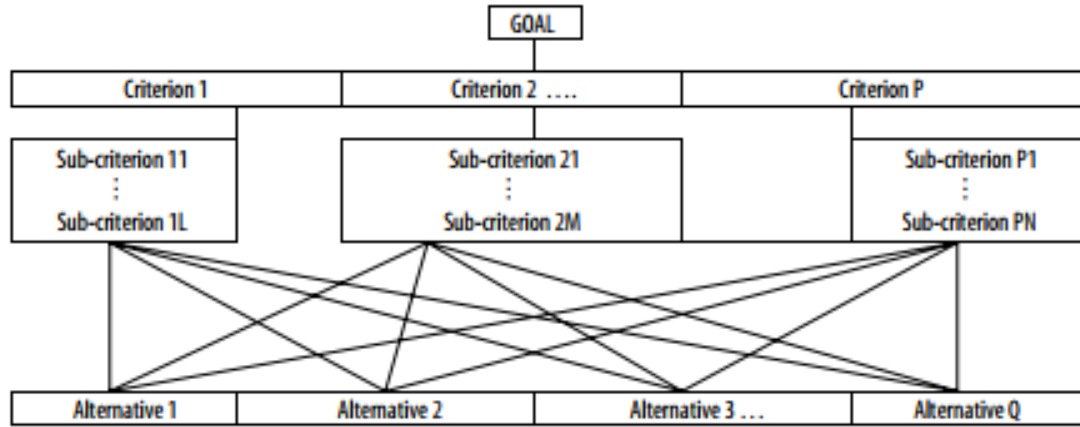


FIGURE 3.1 – Structure hiérarchique générique [9]

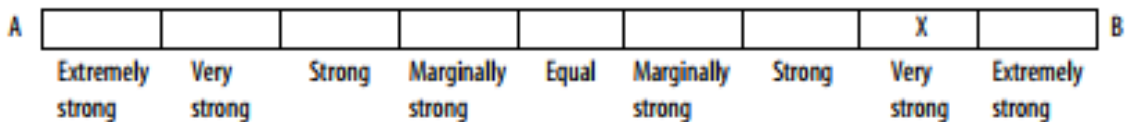


FIGURE 3.2 – Format pour les comparaisons par paires [9]

La classification des hiérarchies se distingue en deux classes :

- **Hiérarchie structurelle** : consiste à décomposer les objets que nous percevons que nos sens, en groupes, en sous-groupes et en ensembles encore plus petits.
- **Hiérarchie fonctionnelle** : consiste à décomposer un système complexe en éléments en fonction de leur relation essentielle.

Chaque élément dans une hiérarchie occupe un niveau. Le sommet de la hiérarchie est constitué d'un élément unique : **l'objectif à atteindre**. Les autres niveaux contiennent plusieurs éléments. Saaty et al [86] propose entre 5 et 9 éléments sous le sommet pour effectuer une bonne analyse. Les éléments d'un même niveau doivent être comparés entre eux en fonction d'un élément du niveau supérieur et doivent être du même ordre de grandeur.

- **Étape 2** : Procéder à des comparaisons par paires des éléments de chaque niveau hiérarchique par rapport à un élément du niveau hiérarchique supérieur. Cette étape per-

met de construire des matrices de comparaisons. Les valeurs de ces matrices sont obtenues par la transformation des jugements en valeurs numériques selon l'échelle de Saaty (Échelle de comparaisons binaires), tout en respectant le principe de réciprocité :

$$P_c(E_A, E_B) = \frac{1}{P_c(E_B, E_A)}$$

Degré d'importance	Définition	Explication
1	Importance égale des deux éléments.	Deux éléments contribuent autant à la propriété.
3	Faible importance d'un élément par rapport à un autre.	L'expérience et l'appréciation personnelles favorisent légèrement un élément à un autre.
5	Importance forte ou déterminante d'un élément par rapport à un autre.	L'expérience et l'appréciation personnelles favorisent fortement un élément à un autre.
7	Importance attestée d'un élément par rapport à un autre.	Un élément est fortement favorisé et sa dominance est attestée dans la pratique.
9	Importance absolue d'un élément par rapport à un autre.	Les preuves favorisant un élément par rapport à un autre sont aussi convaincantes que possible.
2, 4, 6, 8	Valeurs intermédiaires entre deux appréciations voisines.	Un compromis est nécessaire entre deux appréciations.
Réciprocité	Si l'élément i se voit attribuer l'un des chiffres précédents lorsqu'elle est comparée à l'élément j , j aura donc la valeur inverse lorsqu'on la compare à i .	

TABLE 3.4 – Échelle de Saaty [12]

- **Étape 3** : Déterminer l'importance relative des éléments en calculant les vecteurs propres correspondants aux valeurs propres maximales des matrices de comparaisons.
- **Étape 4** : Vérifier la cohérence des jugements.
 - On calcule d'abord, l'indice de cohérence IC :

$$IC = \frac{\lambda_{max} - n}{n - 1} \quad (3.1)$$

Où : λ_{max} est la valeur propre maximale correspondant à la matrice des comparaisons par paires et n est le nombre d'éléments comparés.

- On calcule le ratio de cohérence (RC) définit par :

$$RC = 100 \cdot \frac{IC}{ACI} \quad (3.2)$$

Où ACI est l'indice de cohérence moyen obtenu en générant aléatoirement des matrices de jugement de même taille.

Dimension de la matrice	1	2	3	4	5	6	7	8	9	10
Cohérence aléatoire (ACI)	0.00	0.00	0.58	0.90	1.12	1.24	1.32	1.41	1.45	1.49

TABLE 3.5 – Indice de cohérence moyen

- **Étape 5** : Établir la performance relative de chacune des actions.

$$P_k(e_i^k) = \sum_{j=1}^{n_{k-1}} P_{k-1}(e_i^{k-1}) \cdot P_k(e_i^k / e_i^{k-1}) \quad \text{avec} \quad \sum_{j=1}^{n_k} P_k(e_j^k) = 1 \quad (3.3)$$

Où n_{k-1} est le nombre d'éléments du niveau hiérarchique $k - 1$, et $P_k(e_i^k)$ est la priorité accordée à l'élément e_i au niveau hiérarchique k .

Exemple : Une organisation cherche un nouveau directeur pour l'un de ses départements.

Une entreprise doit sélectionner un partenaire pour externaliser un processus de fabrication. Le comité de direction a décidé d'exploiter la méthode AHP pour faire son choix.

- **Étape 1** : Décomposition du problème en une hiérarchie d'éléments inter-reliés. Le groupe de décision a retenu la hiérarchie suivante : L'objectif est de sélectionner un partenaire

pour sous-traiter le produit en question. Les critères de sélection retenus sont la qualité du produit fourni, la fiabilité du partenaire et l'économie engendrée par cette relation de partenariat : 4 alternatives sont possibles (4 partenaires ont déposé des offres).

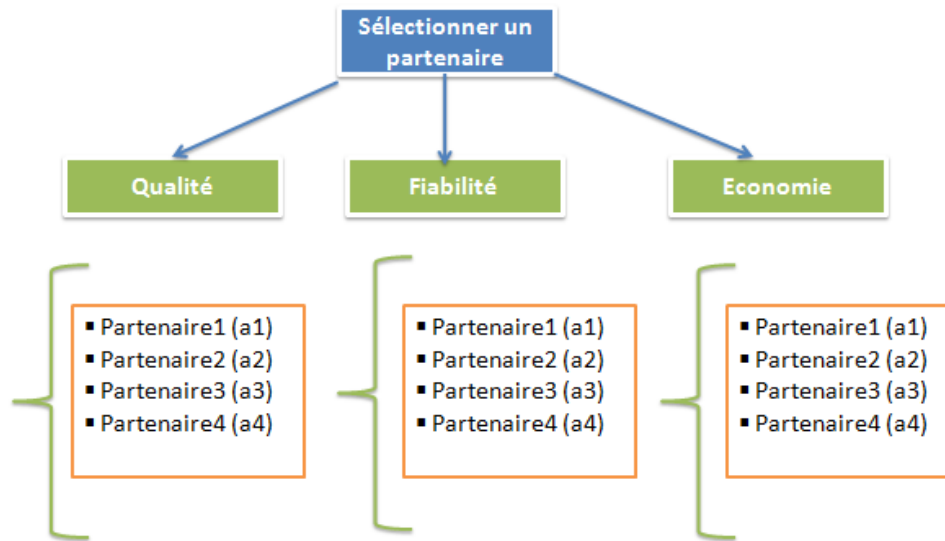


FIGURE 3.3 – Décomposition hiérarchique

— **Étapes 2 et 3** : Comparaisons par paires des éléments de chaque niveau hiérarchique et détermination de l'importance relative des éléments. Après discussion, le groupe de décision s'est mis d'accord que :

- La fiabilité est légèrement plus importante que la qualité.
- La qualité a une importance faible par rapport à l'économie.
- La fiabilité a une importance modérée par rapport à l'économie.

Ces jugements sont traduits dans la matrice suivante :

	Qualité	Fiabilité	Économie
Qualité	1	1/2	3
Fiabilité	2	1	4
Économie	1/3	1/4	1

TABLE 3.6 – Matrice des critères de décision

Après la création de la matrice des critères de décision, Le traitement de cette matrice donne :

$$\lambda_{max} = 3.0183; w_1 = \begin{pmatrix} 0.4481 \\ 0.8527 \\ 0.1862 \end{pmatrix}; \text{ après normalisation, on obtient : } \bar{w}_1 = \begin{pmatrix} 0.3196 \\ 0.5584 \\ 0.1220 \end{pmatrix}$$

Critères	Résultats	Description
Qualité	0.3196	Le second critère important
Fiabilité	0.5584	Le critère le plus important
Économie	0.1220	Le critère le moins important

TABLE 3.7 – Description des critères

En termes de qualité et de fiabilité, les comparaisons par paires des actions sont récapitulées dans les matrices suivantes :

	a_1	a_2	a_3	a_4
a_1	1	1/4	4	1/6
a_2	4	1	4	1/4
a_3	1/4	1/4	1	1/5
a_4	6	4	5	1

	a_1	a_2	a_3	a_4
a_1	1	2	5	1
a_2	1/2	1	3	2
a_3	1/5	1/3	1	1/4
a_4	1	1/2	4	1

FIGURE 3.4 – Matrices des comparaisons par paires

En termes de qualité	En termes de fiabilité
$\lambda_{max} = 4.4347$	$\lambda_{max} = 4.1913$
$\bar{w}_2 = \begin{pmatrix} 0.1160 \\ 0.2470 \\ 0.0600 \\ 0.5770 \end{pmatrix}$	$\bar{w}_3 = \begin{pmatrix} 0.3790 \\ 0.2900 \\ 0.0740 \\ 0.2570 \end{pmatrix}$

TABLE 3.8 – Normalisation des matrices pour les deux critères : qualité et fiabilité

Donc, si on ne tient compte que du critère qualité, c'est le partenaire 4 qui sera sélectionné. Toutefois, si on ne prend compte que le critère fiabilité, c'est le partenaire 1 qui sera retenu. L'information concernant l'économie engendrée par l'association avec un partenaire est récapitulée dans le tableau suivant :

	Économie	Normalisation
a_1	34	$34/113 = 0.3010$
a_2	27	$27/113 = 0.2390$
a_3	24	$24/113 = 0.2120$
a_4	28	$28/113 = 0.2480$
Total	113	1

TABLE 3.9 – Normalisation de matrice pour le critère : Économie

La normalisation des données relatives à l'économie nous a permis de déterminer le vecteur de priorité \bar{w}_4 :

$$\bar{w}_4 = \begin{pmatrix} 0.3010 \\ 0.2390 \\ 0.2120 \\ 0.2480 \end{pmatrix}$$

— **Étape 4** : Évaluation des cohérences des jugements :

Matrice	M1	M2	M3	M4
λ_{max}	3.0183	4.4347	4.1913	***
IC	0.0092	0.1449	0.0638	***
ACI	0.58	0.90	0.90	0.90
RC	1.6 %	16.1 %	7.1 %	***

TABLE 3.10 – Évaluation des cohérences des jugements

- **Étape 5** : Détermination de la performance relative de chacune des actions.

	Qualité	Fiabilité	Économie
a_1	0.1160	0.3790	0.3010
a_2	0.2470	0.2900	0.2390
a_3	0.0600	0.0740	0.2120
a_4	0.5770	0.2570	0.2480

*

Priorité des critères
0.3196
0.5584
0.1120

=

	Priorité des actions
a_1	0.3060
a_2	0.2720
a_3	0.0940
a_4	0.3280

FIGURE 3.5 – Détermination de la performance relative des actions

D'après le vecteur des priorités des actions, on conclut que le partenaire 4 (a_4) a proposé la meilleure offre, suivi du partenaire 1 (a_1), puis des partenaires 2 (a_2) et 3 (a_3).

3.3.5 Critiques

Les points forts de la méthode AHP sont la modélisation du problème de décision par une structure hiérarchique et l'utilisation d'une échelle sémantique pour exprimer les préférences du décideur. Bien qu'elle soit très populaire, la méthode AHP a fait l'objet de plusieurs critiques :

- Un grand nombre d'éléments dans le problème de décision fait exploser le nombre de comparaisons par paires.
- Le problème de renversement de rang (deux actions peuvent voir leur ordre de priorité s'inverser suite à une modification (ajout ou suppression d'une ou de plusieurs actions) de l'ensemble des actions.
- L'association d'une échelle numérique à l'échelle sémantique est restrictive et introduit des biais.

3.4 Approche proposée de recommandation contextuelle se basant sur la méthode AHP

3.4.1 Description de l'approche

La plupart des systèmes de recommandation sensibles au contexte se concentrent d'avantage sur la recommandation de documents pertinents à un utilisateur tout en intégrant des données contextuelles pour autant considérer le problème de l'évolution des contenus [87]. En se basant sur cette caractéristique, nous allons proposer une nouvelle approche de recommandation contextuelle en utilisant la méthode d'Analyse Hiérarchique des Procédés (AHP). Cette méthode est considérée comme un outil efficace pour traiter les décisions complexes et peut aider le décideur à établir des priorités et à prendre la meilleure décision [9]. Dans ce qui suit, nous allons présenter l'architecture de filtrage et l'intégration de la méthode d'Analyse Hiérarchique des Procédés (AHP) dans le processus de recommandation.

3.4.2 Architecture de filtrage

L'architecture de filtrage est composée de pré-filtrage contextuel qui permet d'éliminer les données d'évaluation (rating data) qui ne sont pas pertinentes pour la situation ciblée. Les évaluations restantes sont utilisées pour apprendre un modèle local de prédiction d'évaluation et de recommandation. Puis, la méthode des systèmes de recommandation, le filtrage collaboratif (FC), est lancée sur la base de donnée réduite afin d'obtenir les recommandations liées au contexte C.

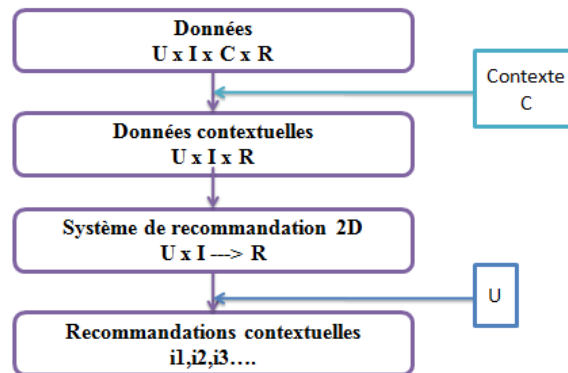


FIGURE 3.6 – Pré-filtrage contextuel [2]

3.4.3 Méthodologie de recommandation

La méthodologie de recommandation proposée utilise principalement la méthode d'Analyse Hiérarchique des Procédés (AHP). Cette méthodologie se fait en quatre étapes :

- Préparation et pré-traitement des données.
- Extraction de données contextuelles.
- Intégration de la méthode AHP.
- Recommandation contextuelle des films.

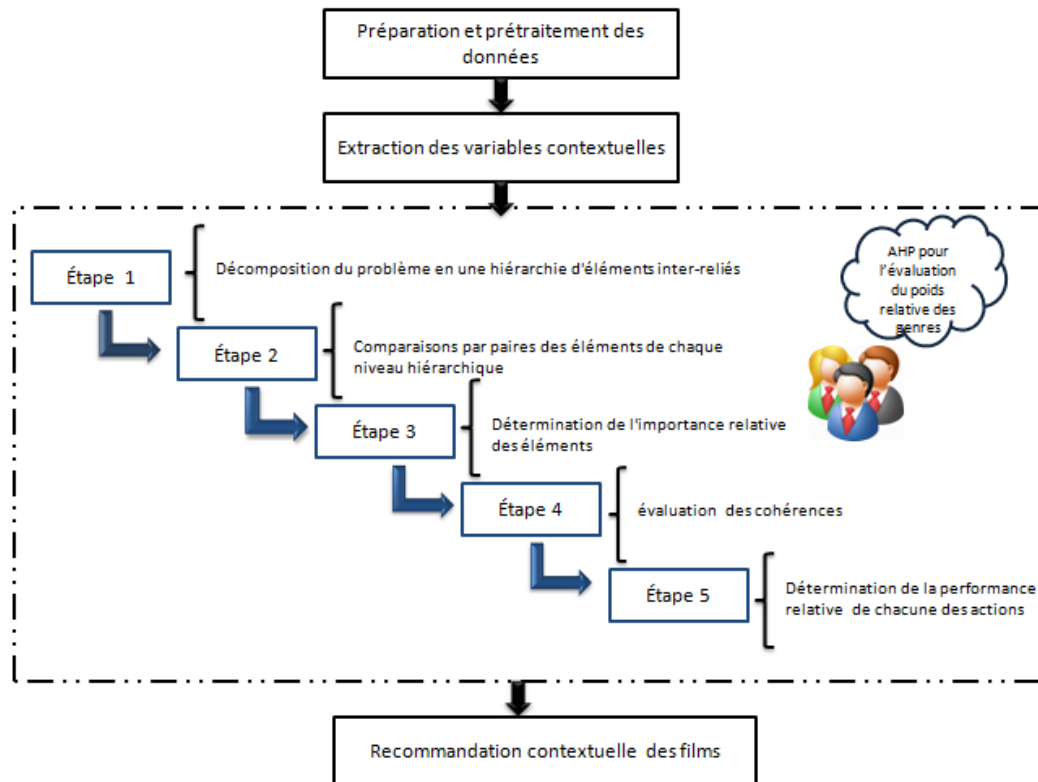


FIGURE 3.7 – Méthodologie de recommandation

3.4.3.1 Préparation et pré-traitement des données

La préparation et pré-traitement des données se fait à partir du dataset LDOS-CoMoDa qui est un dataset de recommandation de films riche en contexte et composée de douze variables contextuelles décrivant la situation dans laquelle les films ont été consommés.

3.4.3.2 Extraction de données à partir du dataset LDOS-CoMoDa

Dans notre nouvelle approche, nous nécessitons des variables contextuelles pour assurer une recommandation des films sensibles au contexte. Les paramètres de contexte qui ont été utilisés dans le dataset LDOS-CoMoDa sont : le temps, type de jour, saison, emplacement, météo, social, endEmotions, émotions dominantes, ambiance, physique, décision, interaction.

- **Temps (time)** : comprend quatre valeurs (Matin, après midi, soir, la nuit).
- **Type de jour (datatype)** : comprend trois valeurs (jour ouvrable, week-end, vacances).
- **Saison (season)** : comprend quatre valeurs (printemps, été, automne, hiver).

- **Emplacement (location)** : comprend trois valeurs (maison, lieu public, maison d'ami).
- **Météo (weather)** : comprend cinq valeurs (ensoleillé/clair, pluvieux, orageux, neigeux, nuageux).
- **Social** : comprend sept valeurs (seul, partenaire, amis, collègues, parents, public, famille).
- **endEmotions (endEmo)** : comprend sept valeurs (triste, heureux, effrayé, surpris, fâché, dégoûté, neutre).
- **Émotions dominantes (dominantEmo)** : comprend sept valeurs (triste, heureux, effrayé, surpris, fâché, dégoûté, neutre).
- **Ambiance (mood)** : comprend trois valeurs (positif, neutre, négatif).
- **Physique (physical)** : comprend seulement deux valeurs (En bonne santé, malade (healthy, ill)).
- **Décision (decision)** : comprend deux valeurs (l'utilisateur a choisi l'article, l'article suggéré par d'autres).
- **Interaction** : comprend aussi deux valeurs (premier, nième).

La figure 3.8 décrit les douze variables contextuelles utilisées dans LDOS-CoMoDa, le nombre de classes catégoriels ou ordinales pour la variable (taille de son rang) $|Rg|$ et le ratio de valeur manquante MVR :

Var. Name	Rg	MVR	Description
time	4	0.017	morning, afternoon, evening, night
daytype	3	0.015	working day, weekend, holiday
season	4	0.017	spring, summer, autumn, winter
location	3	0.016	home, public place, friend's house
weather	5	0.021	sunny/clear, rainy, stormy, snowy, cloudy
social	7	0.013	alone, partner, friends, colleagues, parents, public, family
endEmo	7	0	sad, happy, scared, surprised, angry, disgusted, neutral
dominantEmo	7	0	sad, happy, scared, surprised, angry, disgusted, neutral
mood	3	0	positive, neutral, negative
physical	2	0.022	healthy, ill
decision	2	0.021	user's choice, given by other
interaction	2	0.020	first, n-th

FIGURE 3.8 – Variables contextuelles et leurs propriétés de base [10]

3.4.3.3 Intégration de la méthode AHP

AHP a été utilisé pour déterminer l'importance relative (poids) de genre des films. Les trois étapes principales de l'AHP sont les suivantes :

— **Étape 1 : Décomposition du problème en une hiérarchie d'éléments inter-reliés**

Le problème est décomposé en une hiérarchie de buts, critères, sous-critères et alternatives. Ceci est la partie la plus importante et créative de prise de décision. Le but alors est de structurer le problème de décision comme une hiérarchie qui est fondamentale pour le processus de l'AHP. La hiérarchie indique une relation entre les éléments d'un niveau avec ceux du niveau immédiatement inférieur. Cette relation percole vers le bas pour les niveaux les plus bas de la hiérarchie et de cette manière chaque élément est reliée à tous les autres, du moins d'une manière indirecte.

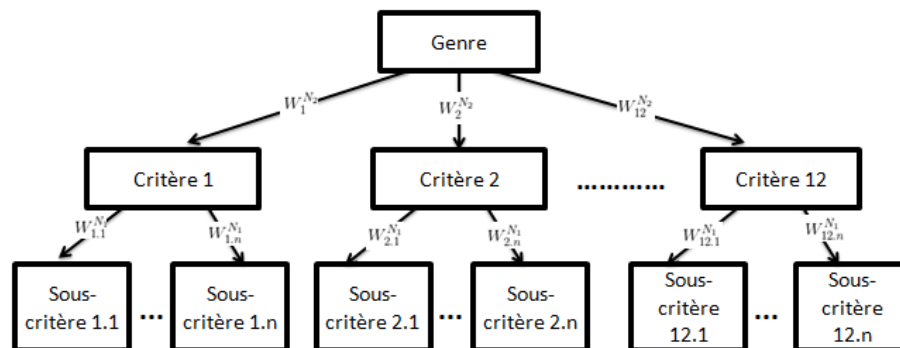


FIGURE 3.9 – Décomposition du problème en arbre hiérarchique

— **Étape 2 : Comparaisons par paires des éléments de chaque niveau hiérarchique**

Les données sont recueillies correspondant à la structure hiérarchique, dans la comparaison par paires des alternatives sur une échelle qualitative comme décrit ci-dessous (voir le tableau 3.11). Nous avons évalué la comparaison comme égale, modérée, forte, très forte, et extrêmement forte.

Degré d'importance	Description
1	Importance égale
2	Importance modérée
3	Importance forte
4	Importance très forte
5	Importance extrême
Ratio = importance de critère sur la ligne / importance du critère dans la colonne	

TABLE 3.11 – Importance relative des éléments

— **Étape 3 : Détermination de l'importance relative des éléments**

Les comparaisons par paires de différents critères générés à l'étape 2 sont organisées en une matrice carrée. Les éléments de la diagonale de la matrice sont 1. Le critère dans la rangée i est mieux que critère dans la colonne j si la valeur de l'élément (i, j) est supérieure à 1 sinon le critère de la colonne j est meilleur que celle dans la ligne i . L'élément (j, i) de la matrice est l'inverse de l'élément (i, j) .

— **Étape 4 : Évaluation des cohérences**

La principale valeur propre et le vecteur propre droit normalisé correspondant de la matrice de comparaison donnent l'importance relative des différents critères étant comparée. Les éléments du vecteur propre normalisé sont appelés poids par rapport aux critères ou sous-critères,

— **Étape 5 : Détermination de la performance relative de chacune des actions**

La consistance de la matrice d'ordre n est évaluée. Les comparaisons faites par cette méthode sont subjectives et l'AHP tolère incohérence par la quantité de redondance dans l'approche. Si cet indice de consistance ne parvient pas à atteindre un niveau requis, les réponses aux comparaisons peuvent être réexaminées. Le classement de chaque alternative est multiplié par les poids des sous-critères et agrégées pour obtenir des classements locaux par rapport à chaque critère. Les évaluations locales sont ensuite multipliées par les poids des critères et agrégées pour obtenir les classements globaux.

3.4.3.4 Recommandation contextuelle des films

L'intégration du contexte dans les systèmes de recommandation se fait selon les trois types suivants : le pré, post-filtrage contextuel et la modélisation contextuelle. Dans notre approche, nous nous intéressons au pré-filtrage contextuel. De plus, en se basant sur les douze critères contextuels fournis par LDOS-CoMoDa, la recommandation des films se fait après l'intégration de la méthode AHP pour arriver à faciliter le choix pour l'utilisateur et lui recommander les films les plus pertinents.

3.5 Conclusion

Dans ce chapitre, nous avons présenté les méthodes de prise de décision multicritères (MCDM). En effet, notre intérêt est porté à la méthode d'Analyse Hiérarchique des Procédés (AHP) qui a été intégrée dans notre approche. Enfin, nous avons présenté notre nouvelle approche de recommandation contextuelle en détaillant l'architecture utilisée et la méthodologie de recommandation. Dans le chapitre suivant, nous exposerons l'étude expérimentale de notre approche ainsi que sa évaluation.

Chapitre 4

Étude expérimentale

4.1 Introduction

Pendant le chapitre précédant, nous avons présenté les méthodes de prise de décision multi-critères (MCDM) et nous nous sommes intéressés à la méthode d'Analyse Hiérarchique des Procédés (AHP) que nous l'avons déjà utilisée dans notre approche.

Dans ce chapitre, Nous allons présenter une étude expérimentale de notre approche sur les base de tests **Movielens** et **LDOS-CoMoDa** pour évaluer ses performances. Dans un premier lieu, nous allons présenter l'environnement d'expérimentation pour évaluer notre approche. Dans un deuxième lieu, nous allons présenter les résultats de l'application de l'approche de recommandation contextuelle utilisant la méthode d'Analyse Hiérarchique des Procédés (AHP).

4.2 Environnement d'expérimentation

Dans cette section, nous allons commencer tout d'abord par la présentation de l'environnement expérimental sur lequel nous avons travaillé pour évaluer et tester notre approche de recommandation contextuelle basant sur la méthode d'Analyse Hiérarchique des Procédés (AHP).

4.2.1 Environnement matériel et logiciel

Toutes les expérimentations ont été réalisées sur PC muni d'un processeur Intel Core i3 ayant une fréquence 2.53 GHz et 4 Go de mémoire tournant sous la plate-forme Windows 7.

Alors, nous avons implémenté notre approche de recommandation contextuelle en utilisant la méthode d'Analyse Hiérarchique des Procédés (AHP) en JAVA.

4.2.2 Base de test

4.2.2.1 LDOS-CoMoDa

Même si le problème de la recommandation contextuelle est devenu un problème de recherche dans le système de recommandation, l'ensemble de données publiques le plus approprié pour l'étude de la prédiction d'évaluation et la sélection des caractéristiques de contexte est l'ensemble de données LDOS-CoMoDa [10]. Les statistiques de cet ensemble de données sont montrées dans le tableau 4.1, il contient 1665 évaluations de 961 articles par 95 utilisateurs sous 12 variables de contexte.

Dataset	LDOS-CoMoDa
#Utilisateurs	95
#Items	961
#Variables contextuelles	12
#Évaluations	1665

TABLE 4.1 – Statistiques de dataset LDOS-CoMoDa

Le dataset **LDOS-CoMoDa** est un dataset de recommandation de film riche en contexte. Certaines des propriétés importantes de l'ensemble de données sont les suivantes :

- Les évaluations et les informations contextuelles sont acquises explicitement auprès des utilisateurs immédiatement après que l'utilisateur a consommé l'élément.
- Les informations contextuelles décrivent la situation dans laquelle l'utilisateur ait consommé l'article.
- Les évaluations et les informations contextuelles proviennent d'une véritable interaction utilisateur-article et non d'une situation hypothétique ou de la mémoire d'interactions passées de l'utilisateur.
- Les utilisateurs peuvent évaluer le même article plus d'une fois s'ils consomment l'article plusieurs fois.

versionDate	userID	itemID	rating	age	sex	city	country	time	daytype	season	location	weather	social	ensemo	dominantE mo	mood	physical	decision	interaction	director	movieCou ntry	movieLang uage	movieYear	genre1	genre2	genre3	actor1	actor2	actor3	budget
15.9.2009	23	14	5	33	1	20	2	3	2	2	1	1	1	2	2	2	1	1	1	234	36	9	2007	7	-1	-1	1309	1524	1656	9000000
	21	5	3	28	1	10	3	2	2	2	1	1	2	2	2	2	2	2	2	775	37	9	1998	7	6	10	1636	1538	1402	9000000
	21	6	4	26	1	10	3	4	2	2	1	1	1	2	2	1	1	2	1	33	37	9	2008	7	10	18	1373	1511	1690	2400000
	22	13	4	28	1	10	3	4	2	2	1	1	2	2	2	1	1	1	1	590	37	9	2010	1	14	19	1382	57	1109	6000000
	21	7	3	28	1	10	3	4	2	2	1	1	2	1	7	1	1	2	1	488	37	9	2003	3	10	18	98	385	1827	3500000
	20	12	5	30	1	10	3	3	1	3	1	1	7	1	1	3	1	1	1	161	37	9	2003	10	-1	-1	482	1190	393	-1
	21	15	3	28	1	10	3	3	1	2	1	5	1	7	5	1	1	2	2	195	37	9	1971	1	8	21	384	93	715	400000
	15	11	4	30	1	10	3	3	1	3	1	1	2	2	2	1	1	2	1	346	37	9	2010	7	18	18	862	61	1378	2000000

FIGURE 4.1 – Dataset LDOS-CoMoDa

4.2.2.2 MovieLens

Nous avons utilisé dans nos expérimentations la base de données MovieLens afin d'évaluer notre approche. L'ensemble de données MovieLens est composé de 943 utilisateurs et 1682 items avec une échelle d'évaluation comprise entre [1-5], où chaque utilisateur dispose de plus de 20 votes. Les statistiques de cet ensemble de données sont montrées dans le tableau 4.2.

Dataset	MovieLens
#Utilisateurs	943
#Items	1682
#Votes	20

TABLE 4.2 – Statistiques de dataset MovieLens

4.2.3 Expérimentations

4.2.3.1 Expérimentation 1

Dans cette section, nous allons présenter les résultats de l'application de notre approche (c'est à dire l'intégration de la méthode AHP dans le processus de recommandation pour calculer les poids des genres pour chaque film). Le dataset LDOS-CoMoDa contient la liste des films avec leur genres. Il existe 22 genres différents pour la liste des films proposés dans LDOS-CoMoDa : (Romance, Adventure, Comedy, Biography, Drama, Horror, Documentary, Mystery, Sci-Fi, Action, War, Sport, Musical, Film-Noir, Animation, History, Thriller, Music, Family, Fantasy, Crime, Western). Un film peut appartenir à l'un des types de genre ou les trois types de genre à la fois :

Exemple :

Item-ID	Titre de film	Genre 1	Genre 2	Genre 3
15	DIRTY HARRY	Action	Crime	Thriller
23	MACGRUBER	Action	Comedy	-1
14	DEATH AT A FUNERAL (UK)	comedy	-1	-1

TABLE 4.3 – Les différents types de genre pour quelques films

Le but de l'intégration de la méthode AHP est de générer les genres avec leurs poids relatifs pour arriver à aider l'utilisateur à faire le bon choix ou bien la bonne décision. Le tableau 4.4 décrit les différents types des genres des films avec leurs poids relatifs dans le dataset **LDOS-CoMoDa** :

Classement	Type de genre	Poids relatifs	Poids relatifs en %
Genre 1 (G1)	Romance	0,5666	56,66
Genre 2 (G2)	Comedy	0,3100	31
Genre 3 (G3)	Adventure	0,2991	29,91
Genre 4 (G4)	Biography	0,0764	7,64
Genre 5 (G5)	Drama	0,0740	7,40
Genre 6 (G6)	Action	0,0729	7,29
Genre 7 (G7)	Horror	0,0637	6,37
Genre 8 (G8)	Documentary	0,0621	6,21
Genre 9 (G9)	Mystrey	0,0505	5,05
Genre 10 (G10)	Western	0,0490	4,90
Genre 11 (G11)	Sport	0,0487	4,87
Genre 12 (G12)	War	0,0487	4,87
Genre 13 (G13)	Musical	0,0484	4,84
Genre 14 (G14)	Film-Noir	0,0483	4,83
Genre 15 (G15)	Sci-Fi	0,0483	4,87
Genre 16 (G16)	Animation	0,0480	4,80
Genre 17 (G17)	History	0,0475	4,75
Genre 18 (G18)	Thriller	0,0473	4,73

Classement	Type de genre	Poids relatifs	Poids relatifs en %
Genre 19 (G19)	Music	0,0473	4,73
Genre 20 (G20)	Family	0,0470	4,70
Genre 21 (G21)	Fantasy	0,0465	4,65
Genre 22 (G22)	Crime	0,0461	4,61

TABLE 4.4 – Description des genres avec leurs poids relatifs dans LDOS-CoMoDa

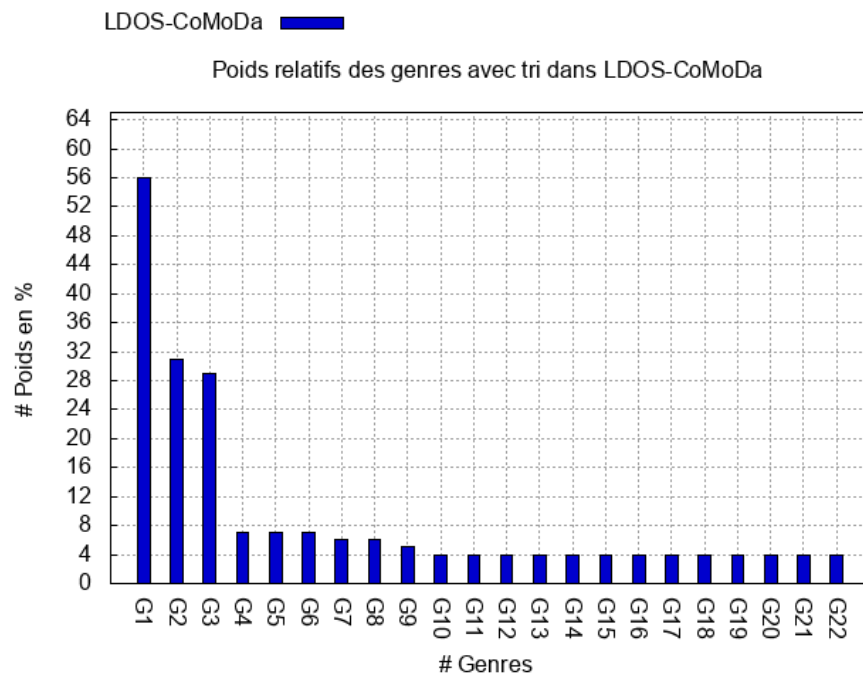


FIGURE 4.2 – Histogramme des poids relatifs des genres avec tri décroissant

4.2.3.2 Expérimentation 2

L'étape qui suit permet de générer les films recommandés en se basant sur le calcul des poids effectué dans l'étape précédente. Le genre "Romance" est classé numéro 1 selon le calcul de poids effectué alors la recommandation des films met en considération le genre "Romance" et la situation de l'utilisateur au cours du processus de recommandation. Les figures 4.3, 4.4, 4.5 montre les N-top films recommandés dans lesquels le genre romance est apparu.

```
ID ITEM: [ 4355 ] id : 4355
Title de film : GOODADVICE(2001)
lien : http://www.imdb.com/title/tt0243931/
TBudget : 0
actor 1 : CharlieSheen
actor 2 : AngieHarmon
actor 3 : DeniseRichards
genre 1 : Comedy
genre 2 : Romance
genre 3 : 0
year : 2001
langage : English
country : UnitedStates
director : SteveRash
NB VUE : [ 1 ]

ID ITEM: [ 4360 ] id : 4360
Title de film : CRY-BABY
lien : http://www.imdb.com/title/tt0099329/
TBudget : 12000000
actor 1 : JohnnyDepp
actor 2 : AmyLocane
actor 3 : PollyBergen
genre 1 : Comedy
genre 2 : Musical
genre 3 : Romance
year : 1990
langage : English
country : UnitedStates
director : JohnWaters
NB VUE : [ 1 ]
```

FIGURE 4.3 – Recommandation de N-Top films

```
ID ITEM: [ 4361 ] id : 4361
Title de film : BOYA
lien : http://www.imdb.com/title/tt1078188/
TBudget : 0
actor 1 : AndrewGarfield
actor 2 : AlfieOwen
actor 3 : KatieLyons
genre 1 : Crime
genre 2 : Drama
genre 3 : Romance
year : 2007
langage : English
country : UnitedKingdom
director : JohnCrowley
NB VUE : [ 1 ]

ID ITEM: [ 4368 ] id : 4368
Title de film : SE, JIE
lien : http://www.imdb.com/title/tt0808357/
TBudget : 15000000
actor 1 : TonyLeungChiuWai
actor 2 : WeiTang
actor 3 : JoanChen
genre 1 : Drama
genre 2 : Romance
genre 3 : Thriller
year : 2007
langage : Mandarin
country : UnitedStates
director : AngLee
NB VUE : [ 1 ]
```

FIGURE 4.4 – Recommandation de N-Top films

```
ID ITEM: [ 4369 ] id : 4369
Title de film : WUTHERINGHEIGHTS(2011)
lien : http://www.imdb.com/title/tt1181614/
TBudget : 7000000
actor 1 : KayaScodelario
actor 2 : JamesHowson
actor 3 : OliverMilburn
genre 1 : Drama
genre 2 : Romance
genre 3 : 0
year : 2011
langage : English
country : UnitedKingdom
director : AndreaArnold
NB VUE : [ 1 ]

ID ITEM: [ 4371 ] id : 4371
Title de film : DELICACY
lien : http://www.imdb.com/title/tt1828995/
TBudget : 0
actor 1 : AudreyTautou
actor 2 : FrancoisDamiens
actor 3 : BrunoTodeschini
genre 1 : Comedy
genre 2 : Romance
genre 3 : 0
year : 2011
langage : French
country : France
director : DavidFoenkinos
NB VUE : [ 1 ]
```

FIGURE 4.5 – Recommandation de N-Top films

L'intégration de la notion du contexte dans le processus de recommandation a donné plus de confiance dans les recommandations. La figure 4.6 décrit le film recommandé avec la situation de l'utilisateur (les 12 critères contextuels).

```
ID ITEM: [ 4355 ] id : 4355
Title de film : GOODADVICE(2001)
lien : http://www.imdb.com/title/tt0243931/
TBudget : 0
actor 1 : CharlieSheen
actor 2 : AngieHarmon
actor 3 : DeniseRichards
genre 1 : Comedy
genre 2 : Romance
genre 3 : 0
year : 2001
langage : English
country : UnitedStates
director : SteveRash
NB VUE : [ 1 ]

USER DATA
*****
Time : Evening
daytype : Weekend
season : Summer
Location : Home
weather : Sunny
Social : My partner
end emo : Neutral
dominant emo : Neutral
Mood : Positive
physical : Healthy
descion : User was given a movie
interaction : first interaction with a movie
```

FIGURE 4.6 – Film recommandé avec les informations contextuelles

4.2.3.3 Expérimentation 3

Dans cette section, nous allons présenter les résultats obtenus à partir du calcul des poids relatifs des genres. Le dataset MovieLens contient la liste des films avec leurs genres. Il existe 18 genres différents pour la liste des films proposés dans MovieLens : (Unknown, Action, Adventure, Animation, Children's, Comedy, Crime, Documentary, Drama, Fantasy, Film-Noir, Horror, Musical, Romance, Sci-Fi, Thriller, War, Western). Un film peut appartenir à l'un des types de genre ou à tous les types à la fois. L'intégration de la méthode AHP permet de générer les genres avec leurs poids relatifs pour arriver à aider l'utilisateur à faire le bon choix. Le tableau 4.5 nous montre le résultat suite au calcul de poids relatifs pour chaque genre ainsi que le tri par ordre décroissant dans le dataset **MovieLens** :

Classement	Type de genre	Poids relatifs	Poids relatifs en %
Genre 1 (G1)	Thriller	0,6766	67,66 %
Genre 2 (G2)	Comedy	0,5666	56,66 %
Genre 3 (G3)	Fantasy	0,3910	39,10 %
Genre 4 (G4)	War	0,3250	32,50 %
Genre 5 (G5)	Crime	0,3120	31,20 %
Genre 6 (G6)	Documentary	0,3000	30 %
Genre 7 (G7)	Film-Noir	0,2980	29,80 %
Genre 8 (G8)	Drama	0,2876	28,76 %
Genre 9 (G9)	Western	0,2789	27,89 %
Genre 10 (G10)	Adventure	0,2545	25,45 %
Genre 11 (G11)	Sci-Fi	0,2501	25,01 %
Genre 12 (G12)	Animation	0,2345	23,45 %
Genre 13 (G13)	Horror	0,2213	22,13 %
Genre 14 (G14)	Children	0,2000	20 %

Classement	Type de genre	Poids relatifs	Poids relatifs en %
Genre 15 (G15)	Romance	0,1987	19,87 %
Genre 16 (G16)	Musical	0,1798	17,98 %
Genre 17 (G17)	Action	0,1760	17,60 %
Genre 18 (G18)	Mystrey	0,1679	16,79 %
Genre 19 (G19)	Unknown	0,0769	7,69%

TABLE 4.5 – Description des genres avec leurs poids relatifs dans **MovieLens**

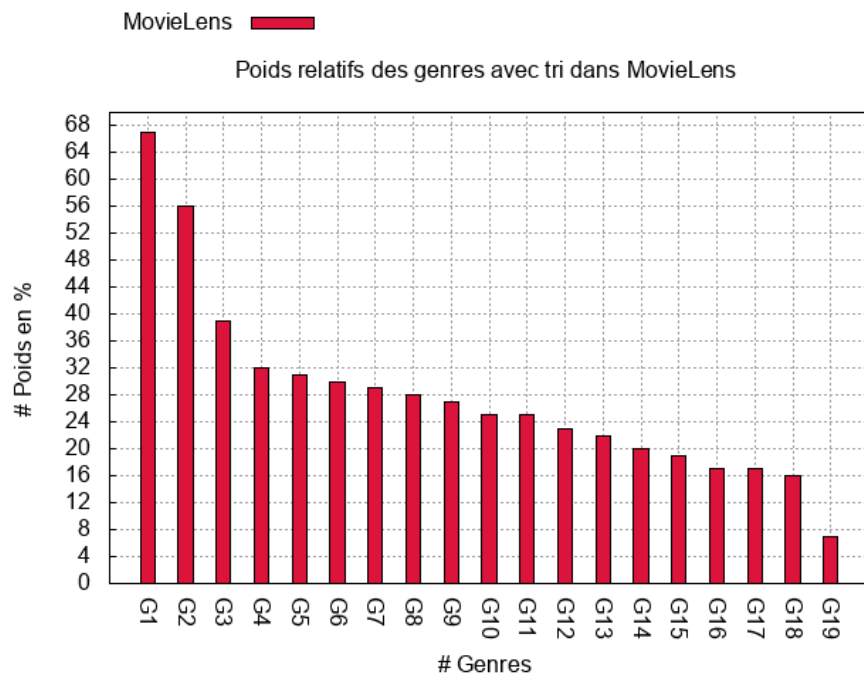


FIGURE 4.7 – Poids relatifs des genres avec tri dans **MovieLens**

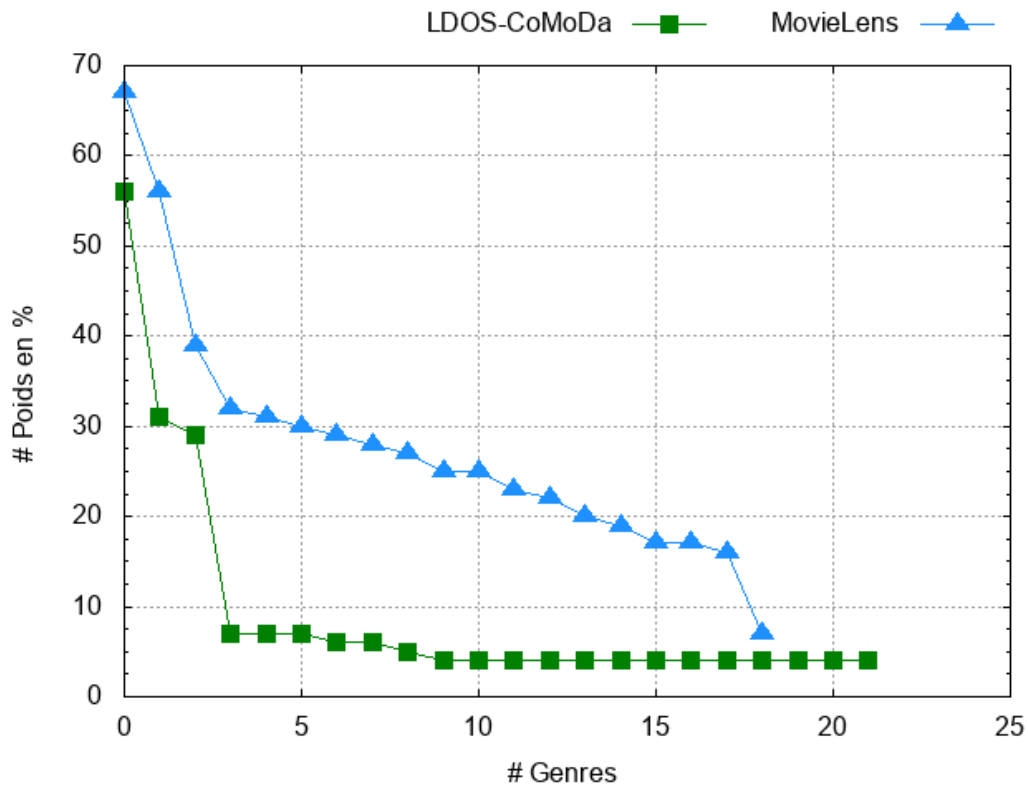


FIGURE 4.8 – Les poids relatifs des genres communs dans **LDOS-CoMoDa** et **MovieLens**

La figure 4.9 décrit le film recommandé avec les informations personnels de l'utilisateur. Le film recommandé est de genre "Thriller" et "Sci-fi".

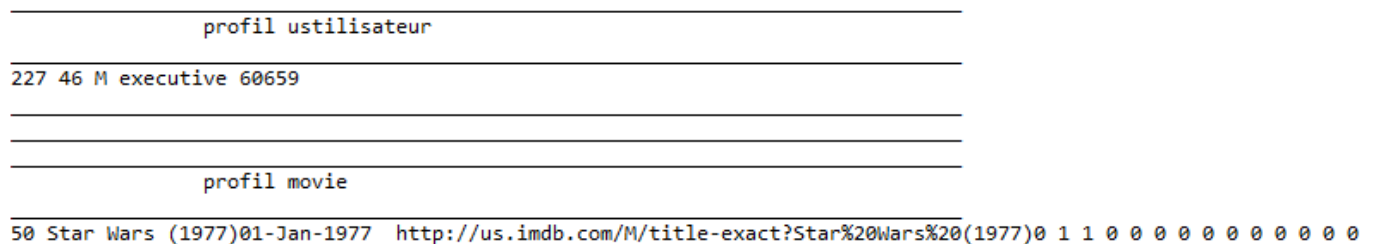


FIGURE 4.9 – Film recommandé avec **MovieLens**

ID utilisateur	Âge	genre	profession	Code postal
227	46	M	executive	60659

TABLE 4.6 – Description des informations personnelles de l'utilisateur

4.2.4 Évaluation expérimentale

Nous allons présenter dans cette partie les différentes mesures d'évaluation utilisées dans nos expérimentations, pour tester la performance de notre approche. La performance des systèmes de recommandation est testée en termes de la précision des listes de recommandation générées. Les mesures d'évaluation de la performance des recommandations sont : **la précision, le rappel et F-mesure. Les mesures de la précision** Afin d'évaluer la performance de notre approche de recommandation, nous avons utilisé les métriques de rappel, précision et F-mesure. Où, F-mesure est calculée comme suit :

$$F - mesure = \frac{2PR}{P + R} \quad (4.1)$$

Les deux paramètres, précision et rappel, sont couramment utilisés pour mesurer la qualité d'une recommandation. Ce sont également des mesures utilisées dans la recherche d'information

. Où P et R sont la précision et le rappel respectivement, et ils sont calculés comme suit :

$$P = \frac{N_t}{N} \quad (4.2)$$

$$R = \frac{N_t}{N_p} \quad (4.3)$$

Notation	Signification
N_p	Nombre total des items pertinents
N_t	Nombre des items pertinents trouvés
N	Nombre total des items

TABLE 4.7 – Notations utilisées dans les mesures de précision

- **Précision** : une mesure de l'exactitude, détermine la fraction des éléments pertinents récupérés sur tous les éléments récupérés. Par exemple, la proportion de films recommandés qui sont réellement pertinents. Dans notre cas, la précision est égale au quotient de la liste des films pertinents recommandés par rapport à la liste totale des films.
- **Rappel** : une mesure d'exhaustivité, détermine la fraction des éléments pertinents extraits de tous les éléments pertinents. Par exemple, la proportion de tous les films recommandés

qui sont pertinents. Dans notre cas, le rappel est égale au quotient de la liste des films pertinents recommandés par rapport au total des films pertinents.

- **F-mesure** : F-mesure tente de combiner Précision et Rappel en une seule valeur à des fins de comparaison. Elle peut être utilisé pour obtenir une vision plus équilibrée des performances. Après le calcul de la précision et le rappel, nous allons passer au calcul de F-mesure qui nous donne la valeur : 0.394.

Précision	Rappel	F-mesure
0.729966 \simeq 0.73	0.270034 \simeq 0.27	0.394

TABLE 4.8 – Valeurs de métriques pour LDOS-CoMoDa

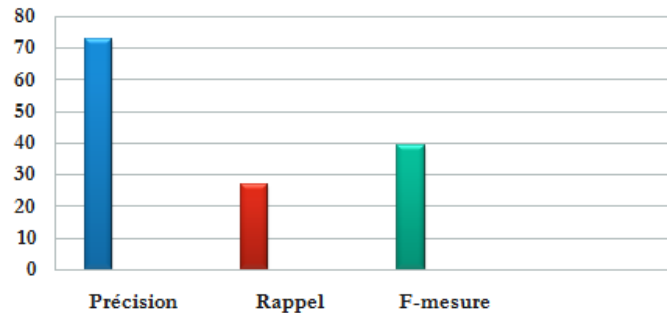


FIGURE 4.10 – Les valeurs de précision, rappel et F-mesure pour **LDOS-CoMoDa**

Dans l'étape suivante, nous allons présenter une comparaison entre les résultats de notre nouvelle approche et l'approche de Bader et al. [13]. L'approche de Bader et al, utilise plusieurs méthodes multi-critères telles-que (AHP, WSM, WPM et TOPSIS) afin de calculer la précision. nous nous intéressons seulement au niveau statique dans la structure hiérarchique lors de l'utilisation de méthode AHP dans l'approche de Bader et al. afin de faire une comparaison avec notre approche. Nous nous intéressons seulement à la première ligne du tableau 4.9 :

Level 1		Level 2		POI set				
MCDM	Norm	MCDM	Norm	1	2	3	4	AVG
AHP	1	AHP	1	0.62	0.69	0.74	0.58	0.66
TOPSIS	0	TOPSIS	0	0.82	0.55	0.63	0.58	0.65
TOPSIS	1	TOPSIS	0	0.82	0.55	0.63	0.58	0.65
WSM	0	TOPSIS	0	0.77	0.63	0.60	0.54	0.64
AHP	1	TOPSIS	1	0.59	0.61	0.73	0.55	0.62
TOPSIS	1	AHP	1	0.59	0.61	0.73	0.55	0.62
WSM	0	AHP	1	0.60	0.59	0.72	0.50	0.60
AHP	1	WPM	1	0.62	0.55	0.68	0.48	0.58
AHP	1	WSM	1	0.57	0.59	0.74	0.38	0.57
WSM	0	WSM	0	0.64	0.60	0.57	0.44	0.56

TABLE 4.9 – Précision des scores globaux [13]

Le tableau 4.10 donne les valeurs de précision ainsi le rappel pour les deux approches :

	Précision	Rappel
Notre Approche	0.73	0.27
Approche de Bader et al. [13]	0.66	—

TABLE 4.10 – Les valeurs de précision et de rappel pour notre approche et l’approche de Bader et al.

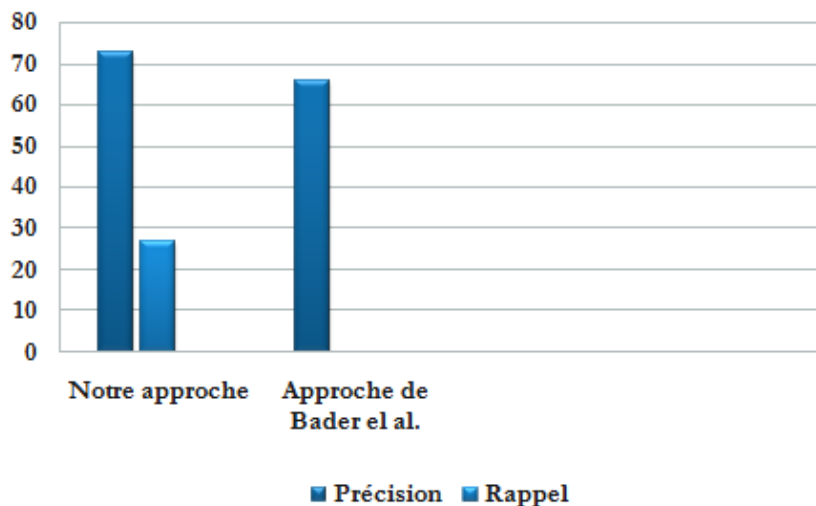


FIGURE 4.11 – Les valeurs de précision et rappel pour les deux datasets LDOS-CoMoDa et MovieLens

Nous calculons la précision de notre approche, cette dernière nous donne une valeur est égal à 0.73, alors nous pouvons constater que si la précision est importante (est égale à 0.73) alors notre système de recommandation est classé comme un système précis.

4.3 Conclusion

Au cours de ce chapitre, nous avons évoqué une évaluation de notre nouvelle approche de recommandation contextuelle en se basant sur la méthode d'Analyse Hiérarchique des Procédés (AHP). En effet, les résultats des expérimentations ont montré que notre approche a donné de bon résultats en termes de précision et rappel vs l'approche de Bader et al.

Conclusion et Perspectives

L'expansion de l'Internet et du nombre d'applications basées sur le Web, tels que les portails d'entreprise, est associée à une prolifération d'informations ou d'items dont le volume ne cesse de croître. Devant cette profusion et cette surcharge d'items, l'utilisateur peine à repérer l'information pertinente qui correspond le plus à ses besoins. Dans ce contexte, les systèmes de recommandation ont été développés en vue de faciliter l'accès à ces items pertinents. Leur objectif est d'anticiper les besoins de l'utilisateur en lui fournissant des recommandations d'items jugés pertinents par rapport à ses goûts. Parmi les limites des systèmes de recommandation classiques, nous avons identifié la non-prise en compte du contexte dans lequel l'utilisateur décide de faire une recommandation.

Dans ce mémoire, nous avons proposé une nouvelle approche de recommandation contextuelle en utilisant la méthode d'Analyse Hiérarchique des Procédés (AHP). En effet, cette approche repose essentiellement sur la prédiction des films en tenant compte de contexte.

Dans un premier lieu, nous avons entamé ce mémoire par la présentation des notions de base utiles, à savoir les systèmes de recommandation classiques et sensibles au contexte, leurs définitions et leurs techniques, et leurs architectures. Dans un second lieu, nous avons effectué une étude synthétique sur les travaux proposés les plus récents dans la littérature pour la recommandation sensible au contexte. La principale limite de ces approches, réside dans le fait que certaines approches ne sont pas prises en considération la décision de l'utilisateur.

Nous avons permis à cette approche la possibilité d'appliquer la méthode AHP pour aider l'utilisateur à effectuer le bon choix. Ainsi, cette étape simplifie le processus de recommandation.

Nous avons mené une étude expérimentale des performances de notre approche. Par la suite nous avons élaboré une étude comparative entre notre approche et les approches de la littérature. Par conséquent, notre approche a permis de donner de bons résultats en termes de précision.

Les systèmes de recommandation sensibles au contexte présentent un domaine plus riche dans plusieurs pistes non encore explorées. Nous pouvons envisager comme perspectives de recherche :

- Il serait intéressant d'exploiter les scores multi-critères contenant des informations contextuelles, pour améliorer les recommandations.
- L'intégration de la méthode TOPSIS (Technique for Order of Preference by Similarity to Ideal Solution), qui permet de classer par ordre de choix un certain nombre d'alternatives sur la base d'un ensemble de critères favorables ou défavorables, dans le processus de génération des recommandations, peut améliorer les recommandations contextuelles.

Annexes

Annexe A

LDOS-CoMoDa DATASET

A.1 Introduction

Dans cette annexe, nous allons présenter brièvement certains concepts utilisés dans ce mémoire pour l'évaluation de notre nouvelle approche de recommandation sensible au contexte en utilisant la méthode d'analyse hiérarchique des procédés (AHP). Nous présentons en premier lieu le dataset **LDOS-CoMoDa**. La deuxième section sera consacrée à présenter le dataset **Movielens**.

A.1.1 Présentation de dataset LDOS-CoMoDa

LDOS-CoMoDa est un dataset de recommandation de film riche en contexte. Il contient des notes pour les films et les douze informations contextuelles décrivant la situation dans laquelle les films ont été consommés.

A.1.2 Description détaillée des fichiers de données

1 Champs de données :

versionDate : date of the dataset version userID (15 - 200, some missing) itemID (1 -4138, some missing) rating (1-5) user's age user's sex (1= male, 2 = female) user's city user's country time (1-4) daytype (1-3) season (1-4) location (1-3) weather (1-5) social (1-7) endEmo(1-7) dominantEmo (1-7) mood (1-3) physical (1-2) decision (1-2) interaction (1-

2) movie director movie's country movie's language movie's year genre1 genre2 genre3
actor1 actor2 actor3 movie's budget

2 Variables contextuelles :

Variables contextuelles	Description
time	Morning, Afternoon, Evening, Night
daytype	Working day, Weekend, Holiday
season	Spring, Summer, Autumn, Winter
location	Home, Public place, Friend's house
weather	Sunny / clear, Rainy, Stormy, Snowy, Cloudy
social	Alone, My partner, Friends, Colleagues, Parents, Public, My family
endEmo	Sad, Happy, Scared, Surprised, Angry, Disgusted, Neutral
dominantEmo	Sad, Happy, Scared, Surprised, Angry, Disgusted, Neutral
mood	Positive, Neutral, Negative
physical	Healthy, Ill
decision	User decided which movie to watch, User was given a movie
interaction	first interaction with a movie, n-th interaction with a movie

TABLE A.1 – Description des variables contextuelles

Les valeurs de contexte dans la base de données correspondent à cet ordre.

Par exemple : daytype-> 1 = Working day, 2 = Weekend, 3 = Holiday Valeur manquante = -1

A.2 Conclusion

Dans cette annexe, nous avons présenté le dataset **LDOS-CoMoDa**. Nous avons décrit en détails les fichiers de données.

Annexe B

MovieLens DATASET

B.1 Présentation de dataset MovieLens

Les ensembles de données MovieLens ont été recueillies par le Projet de recherche GroupLens⁶ à l'Université du Minnesota. Cet ensemble de données comprend 100.000 notes dans une échelle de (1-5) à partir de 943 utilisateurs sur 1682 films. Où, chaque utilisateur a évalué au moins 20 films. Les données ont été collectées à travers le site MovieLens (movielens.umn.edu) au cours de la période de sept mois à partir du 19 Septembre 1997 au 22 Avril, 1998. Ces données ont été nettoyées, où les utilisateurs qui avaient moins de 20 évaluations ou qui n'ont pas eu des informations démographiques complètes ont été retirés de cet ensemble de données. Cet ensemble de données a été utilisé pour la première fois par Herlocker et al., [63].

B.1.1 Informations sur le projet de recherche GroupLens

Le projet de recherche GroupLens est un groupe de recherche au Département d'informatique et de génie de l'Université de Minnesota. Les Membres du projet de recherche GroupLens sont impliqués dans de nombreux projets de recherche liés aux domaines du filtrage d'information, filtrage collaboratif, et les systèmes de recommandation. Le projet est dirigé par les professeurs John Riedl et Joseph Konstan. Le projet a commencé à explorer le filtrage collaboratif automatisé en 1992, mais est surtout connu pour son vaste essai mondial d'un système de filtrage collaboratif automatisé pour les nouvelles Usenet en 1996. La technologie développée

dans le procès Usenet a formé la base pour la formation des perceptions nettes, Inc., qui a été fondée par des membres de recherche GroupLens. Depuis, le projet a élargi son champ d'application à la recherche de solutions globales de filtrage de l'information, l'intégration dans les méthodes basées sur le contenu ainsi que l'amélioration de la technologie actuelle de filtrage collaboratif. De plus amples informations sur le projet GroupLens recherche, y compris les publications de recherche, peut être trouvé sur le site Web suivant : <http://www.grouplens.org/> GroupLens recherche exploite actuellement un recommandeur de film basé sur le filtrage collaboratif : <http://www.movielens.org/>

B.1.2 Description détaillée des fichiers de données

La base de données MoviLens contient plusieurs fichiers pour représenter les différents ensembles de données et pour décrire les films, les utilisateurs, la relation entre utilisateurs et items, ainsi que les scripts de génération des différents ensembles de données. Nous présentons dans les sections suivantes une description détaillée des différents fichiers, ceux disponibles avec la base et ceux que nous avons créés et ajouté afin d'accomplir les expérimentations.

B.1.2.1 Les fichiers disponibles avec la base

- 1 **ml-data.tar.gz** : Fichier compressé de type .tar qui contient toute la base de données téléchargée.
- 2 **u.data** : L'ensemble de données u.data est l'ensemble plein, c.à.d. l'ensemble qui contient les 100 000 évaluations des 943 utilisateurs sur les 1682 films, où, chaque utilisateur a évalué au moins 20 films. Dans cet ensemble, les utilisateurs et les articles sont numérotés consécutivement à partir de 1, mais les relations entre les utilisateurs et les items sont arrangés dans l'ordre de leur collecte. La relation entre un utilisateur et un item dans l'ensemble de données u.data est représentée avec une tab séparée comme suit :

ID utilisateur Id item Note Horodatage (timestamp)
--

Un exemple de cet ensemble de données est le suivant : **1 1 5 874965758** : où, cette ligne indique que l'utilisateur 1 a évalué l'item 1 avec une note (vote) égale à 5 au moment 874965758s, qui est le temps de l'évaluation en secondes depuis le 1/1/1970.

- Fantasy|9
- Film-Noir|10
- Horror|11
- Musical|12
- Mystery|13
- Romance|14
- Sci-Fi|15
- Thriller|16
- War|17
- Western|18

- 6 **u.user** : Ce fichier contient les données démographiques sur les utilisateurs, sous forme d'une tab séparée de données démographiques simples pour les utilisateurs comme suit :

ID utilisateur âge genre profession code postal

Où, les identifiants des utilisateurs (ID utilisateur) sont ceux utilisés dans l'ensemble de données u.data. À titre d'exemple, l'utilisateur ayant l'identifiant 7, qui est un homme âgé de 57 ans et qui travaille comme administrateur avec un code postal 91344, est représenté dans la base comme suit :

7 57 M administrator 91344

- 7 **u.occupation** : Ce fichier contient la liste des professions des différents utilisateurs : administrator, artist, doctor, educator, engineer, entertainment, executive, healthcare, homemaker, lawyer, librarian, marketing, none, other, programmer, retired, salesman, scientist, student, technician, writer.
- 8 **u1.base, u1.test, u2.base, u2.test, u3.base, u3.test, u4.base, u4.test, u5.base, u5.test** : Les ensembles de données u1.base et u1.test jusqu'à u5.base et u5.test sont des sous ensembles de données de u.data avec 80 % de données dans .base et 20 % dans .test. Les ensembles de u1, ..., u5 sont des ensembles de test disjoints et ils sont construits pour être utilisés dans la validation croisée. Ces ensembles de données peuvent être générés à partir u.data par le fichier mku.sh.

- 9 **ua.base, ua.test, ub.base, ub.test** : Les ensembles de données ua.base, ua.test, ub.base et ub.test divisent l'ensemble de données u.data en un ensemble d'entraînement et un ensemble de test, avec 10 notes par utilisateur dans les ensembles de test qui sont disjoints. Les quatre ensembles de données peuvent être générés à partir u.data par le fichier mku.sh.
- 10 **mku.sh** : Ce fichier contient un script pour générer tous les ensembles de données de u.data.
- 11 **allbut.pl** : Ce fichier contient le script qui génère les ensembles d'apprentissage et de test, avec contrainte de sélection de seulement n évaluations des utilisateurs dans les données d'apprentissage.

```
1  #!/usr/local/bin/perl
2  # get args
3  if (@ARGV < 3) {
4  print STDERR "Usage: $0 base_name start stop max_test [ratings ...]\n";
5  exit 1;
6  }
7  $basename = shift;
8  $start = shift;
9  $stop = shift;
10 $maxtest = shift;
11 # open files
12 open( TESTFILE, ">$basename.test" ) or die "Cannot open $basename.test for writing\n";
13 open( BASEFILE, ">$basename.base" ) or die "Cannot open $basename.base for writing\n";
14 # init variables
15 $testcnt = 0;
16 while (<>) {
17 ($user) = split;
18 if (! defined $ratingcnt{$user}) {
19 $ratingcnt{$user} = 0;
20 }
21 ++$ratingcnt{$user};
22 if (($testcnt < $maxtest || $maxtest <= 0)
23 && $ratingcnt{$user} >= $start && $ratingcnt{$user} <= $stop) {
24 ++$testcnt;
25 print TESTFILE;
26 }
27 else {
28 print BASEFILE;
29 }
30 }
```

FIGURE B.1 – Script avec les ensembles d'apprentissage et de test

B.2 Conclusion

Dans cette annexe, nous avons présenté le dataset **MovieLens**. Nous avons présenté également le projet de recherche "**GroupLens**" ainsi qu'une description détaillée des fichiers de données.

Bibliographie

- [1] Catherine Berrut and Nathalie Denos. Filtrage collaboratif, 2003.
- [2] Gediminas Adomavicius and Alexander Tuzhilin. Context-aware recommender systems. In *Recommender systems handbook*, pages 191–226. Springer, 2015.
- [3] Vito Claudio Ostuni, Tommaso Di Noia, Roberto Mirizzi, Davide Romito, and Eugenio Di Sciascio. Cinemappy : a context-aware mobile app for movie recommendations boosted by dbpedia. In *Proceedings of the 2012 International Conference on Semantic Technologies Meet Recommender Systems & Big Data-Volume 919*, pages 37–48. CEUR-WS. org, 2012.
- [4] Pedro G Campos, Ignacio Fernández-Tobías, Iván Cantador, and Fernando Díez. Context-aware movie recommendations : an empirical comparison of pre-filtering, post-filtering and contextual modeling approaches. In *International Conference on Electronic Commerce and Web Technologies*, pages 137–149. Springer, 2013.
- [5] Zeno Gantner, Steffen Rendle, and Lars Schmidt-Thieme. Factorization models for context-/time-aware movie recommendations. In *Proceedings of the Workshop on Context-Aware Movie Recommendation*, pages 14–19. ACM, 2010.
- [6] Yue Shi, Martha Larson, and Alan Hanjalic. Mining contextual movie similarity with matrix factorization for context-aware recommendation. *ACM Transactions on Intelligent Systems and Technology (TIST)*, 4(1) :16, 2013.
- [7] Alan Said, Shlomo Berkovsky, and Ernesto W De Luca. Putting things in context : Challenge on context-aware movie recommendation. In *Proceedings of the Workshop on Context-Aware Movie Recommendation*, pages 2–6. ACM, 2010.
- [8] Licai Wang, Xiangwu Meng, Yujie Zhang, and Yancui Shi. New approaches to mood-based hybrid collaborative filtering. In *Proceedings of the Workshop on Context-Aware Movie*

- Recommendation*, pages 28–33. ACM, 2010.
- [9] Thomas L Saaty. What is the analytic hierarchy process? In *Mathematical models for decision support*, pages 109–121. Springer, 1988.
- [10] Andrej Košir, Ante Odic, Matevz Kunaver, Marko Tkalcic, and Jurij F Tasic. Database for contextual personalization. *Elektrotehniški vestnik*, 78(5) :270–274, 2011.
- [11] János Fülöp. Introduction to decision making methods. In *BDEI-3 workshop, Washington*, 2005.
- [12] Thomas L Saaty. A scaling method for priorities in hierarchical structures. *Journal of mathematical psychology*, 15(3) :234–281, 1977.
- [13] Roland Bader, Eugen Neufeld, Wolfgang Woerndl, and Vivian Prinz. Context-aware poi recommendations in an automotive scenario using multi-criteria decision making methods. In *Proceedings of the 2011 Workshop on Context-awareness in Retrieval and Recommendation*, pages 23–30. ACM, 2011.
- [14] Gediminas Adomavicius, Ramesh Sankaranarayanan, Shahana Sen, and Alexander Tuzhilin. Incorporating contextual information in recommender systems using a multidimensional approach. *ACM Transactions on Information Systems (TOIS)*, 23(1) :103–145, 2005.
- [15] Imen Ben Sassi, Sehl Mellouli, and Sadok Ben Yahia. Context-aware recommender systems in mobile environment : On the road of future research. *Information Systems*, 72 :27–61, 2017.
- [16] Jesús Bobadilla, Fernando Ortega, Antonio Hernando, and Abraham Gutiérrez. Recommender systems survey. *Knowledge-based systems*, 46 :109–132, 2013.
- [17] Robin Burke. Hybrid recommender systems : Survey and experiments. *User modeling and user-adapted interaction*, 12(4) :331–370, 2002.
- [18] Mohamed Nader Jelassi, Sadok Ben Yahia, and Engelbert Mephu Nguifo. A personalized recommender system based on users’ information in folksonomies. In *Proceedings of the 22nd International Conference on World Wide Web*, pages 1215–1224. ACM, 2013.
- [19] Mohamed Nader Jelassi, Sadok Ben Yahia, and Engelbert Mephu Nguifo. Vers des recommandations plus personnalisées dans les folksonomies. In *IC-25èmes Journées francophones d’Ingénierie des Connaissances*, pages 187–198, 2014.

- [20] Mohamed Nader Jelassi, Sadok Ben Yahia, and Engelbert Mephu Nguifo. Towards more targeted recommendations in folksonomies. *Social Network Analysis and Mining*, 5(1) :68, 2015.
- [21] Mohamed Nader Jelassi, Sadok Benyahia, and Mephu Nguifo Engelbert. Étude du profil utilisateur pour la recommandation dans les folksonomies. In *IC2016 : Ingénierie des Connaissances*, 2016.
- [22] Chris Anderson. *The long tail : Why the future of business is selling less of more*. Hachette Books, 2006.
- [23] Francesco Ricci, Lior Rokach, and Bracha Shapira. Introduction to recommender systems handbook. In *Recommender systems handbook*, pages 1–35. Springer, 2011.
- [24] Gediminas Adomavicius and Alexander Tuzhilin. Toward the next generation of recommender systems : A survey of the state-of-the-art and possible extensions. *IEEE transactions on knowledge and data engineering*, 17(6) :734–749, 2005.
- [25] Xiaoyuan Su and Taghi M Khoshgoftaar. A survey of collaborative filtering techniques. *Advances in artificial intelligence*, 2009 :4, 2009.
- [26] K Nageswara Rao. Application domain and functional classification of recommender systems—a survey. *DESIDOC Journal of Library & Information Technology*, 28(3) :17, 2008.
- [27] Òscar Celma Herrada et al. *Music recommendation and discovery in the long tail*. Universitat Pompeu Fabra, 2009.
- [28] Amine Naak. Papyrus : un système de gestion et de recommandation d’articles de recherche. 2009.
- [29] Bernardo Magnini and Carlo Strapparava. Improving user modelling with content-based techniques. In *International Conference on User Modeling*, pages 74–83. Springer, 2001.
- [30] Marco Degenmis, Pasquale Lops, and Giovanni Semeraro. A content-collaborative recommender that exploits wordnet-based user profiles for neighborhood formation. *User Modeling and User-Adapted Interaction*, 17(3) :217–255, 2007.

- [31] Stuart E Middleton, Harith Alani, Nigel R Shadbolt, and David C De Roure. Exploiting synergy between ontologies and recommender systems. In *Proceedings of the 3rd International Conference on Semantic Web-Volume 55*, pages 41–50. CEUR-WS. org, 2002.
- [32] Silvana Aciar, Debbie Zhang, Simeon Simoff, and John Debenham. Informed recommender : Basing recommendations on consumer product reviews. *IEEE Intelligent systems*, 22(3), 2007.
- [33] Greg Linden, Brent Smith, and Jeremy York. Amazon. com recommendations : Item-to-item collaborative filtering. *IEEE Internet computing*, 7(1) :76–80, 2003.
- [34] Octavian Rolland Arnautu. Mures : Un système de recommandation de musique. 2013.
- [35] An-Te Nguyen. *COCofil2 : Un nouveau système de filtrage collaboratif basé sur le modèle des espaces de communautés*. PhD thesis, Université Joseph-Fourier-Grenoble I, 2006.
- [36] Michele Gorgoglione, Umberto Panniello, and Alexander Tuzhilin. The effect of context-aware recommendations on customer purchasing behavior and trust. In *Proceedings of the fifth ACM conference on Recommender systems*, pages 85–92. ACM, 2011.
- [37] Imen Ben Sassi, Chiraz Trabelsi, Amel Bouzeghoub, and Sadok Ben Yahia. Situation-aware user’s interests prediction for query enrichment. In *International Conference on Database and Expert Systems Applications*, pages 191–205. Springer, 2012.
- [38] Imen Ben Sassi, Chiraz Trabelsi, Amel Bouzeghoub, and Sadok Ben Yahia. Recherche d’information contextuelle basée sur la prédiction des intérêts des utilisateurs et leurs relations sociales. *Revue des Sciences et Technologies de l’Information-Série ISI : Ingénierie des Systèmes d’Information*, 18(1) :59–84, 2013.
- [39] Imen Ben Sassi, Sadok Ben Yahia, and Sehl Mellouli. Fuzzy classification-based emotional context recognition from online social networks messages. In *Fuzzy Systems (FUZZ-IEEE), 2017 IEEE International Conference on*, pages 1–6. IEEE, 2017.
- [40] Hazem Souid, Chiraz Trabelsi, Gabriella Pasi, and Sadok Ben Yahia. Hypergraph fuzzy minimals transversals mining : A new approach for social media recommendation. In *Fuzzy Systems (FUZZ-IEEE), 2017 IEEE International Conference on*, pages 1–7. IEEE, 2017.

- [41] Gregory Abowd, Anind Dey, Peter Brown, Nigel Davies, Mark Smith, and Pete Steggles. Towards a better understanding of context and context-awareness. In *Handheld and ubiquitous computing*, pages 304–307. Springer, 1999.
- [42] Anind K Dey. Understanding and using context. *Personal and ubiquitous computing*, 5(1) :4–7, 2001.
- [43] Mariam Daoud. Recherche contextuelle d’information. In *CORIA*, pages 467–472, 2007.
- [44] Gediminas Adomavicius and Alexander Tuzhilin. Context-aware recommender systems. In *Recommender systems handbook*, pages 217–253. Springer, 2011.
- [45] Daphne Koller and Mehran Sahami. Toward optimal feature selection. Technical report, Stanford InfoLab, 1996.
- [46] Huan Liu and Hiroshi Motoda. *Feature selection for knowledge discovery and data mining*, volume 454. Springer Science & Business Media, 2012.
- [47] Samprit Chatterjee and Ali S Hadi. *Regression analysis by example*. John Wiley & Sons, 2015.
- [48] Chiraz Trabelsi, Bilel Moulahi, and Sadok Ben Yahia. Folksonomy query suggestion via users’ search intent prediction. In *International Conference on Flexible Query Answering Systems*, pages 388–399. Springer, 2011.
- [49] Chiraz Trabelsi, Nader Jelassi, and Sadok Ben Yahia. Auto-complétion de requêtes par une base générique de règles d’association triadiques. In *CORIA*, pages 9–24, 2011.
- [50] Chiraz Trabelsi, Bilel Moulahi, and Sadok Ben Yahia. Hmm-care : Hidden markov models for context-aware tag recommendation in folksonomies. In *Proceedings of the 27th Annual ACM Symposium on Applied Computing*, pages 957–961. ACM, 2012.
- [51] Chiraz Trabelsi, Nader Jelassi, and Sadok Ben Yahia. Scalable mining of frequent tri-concepts from folksonomies. In *Pacific-Asia Conference on Knowledge Discovery and Data Mining*, pages 231–242. Springer, 2012.
- [52] Chiraz Trabelsi, Nader Jelassi, and Sadok Ben Yahia. Bgrt : une nouvelle base générique de règles d’association triadiques. *Document numérique*, 15(1) :101–124, 2012.
- [53] Chiraz Trabelsi and Sadok Ben Yahia. An integrated approach for context-aware query recommendation in folksonomies. In *CORIA*, pages 253–268, 2013.

- [54] Chiraz Trabelsi and Sadok Ben Yahia. Harnessing the potential of hmm for movie rating recommendation. *Procedia Computer Science*, 96 :1543–1550, 2016.
- [55] Francesco Ricci. Mobile recommender systems. *Information Technology & Tourism*, 12(3) :205–231, 2010.
- [56] Linas Baltrunas and Xavier Amatriain. Towards time-dependant recommendation based on implicit feedback. In *Workshop on context-aware recommender systems (CARS'09)*, 2009.
- [57] Tommaso Di Noia, Roberto Mirizzi, Vito Claudio Ostuni, Davide Romito, and Markus Zanker. Linked open data to support content-based recommender systems. In *Proceedings of the 8th International Conference on Semantic Systems*, pages 1–8. ACM, 2012.
- [58] Linas Baltrunas and Francesco Ricci. Experimental evaluation of context-dependent collaborative filtering using item splitting. *User Modeling and User-Adapted Interaction*, 24(1-2) :7–34, 2014.
- [59] Linas Baltrunas and Francesco Ricci. Context-based splitting of item ratings in collaborative filtering. In *Proceedings of the third ACM conference on Recommender systems*, pages 245–248. ACM, 2009.
- [60] Umberto Panniello, Alexander Tuzhilin, Michele Gorgoglione, Cosimo Palmisano, and Anto Pedone. Experimental comparison of pre-vs. post-filtering approaches in context-aware recommender systems. In *Proceedings of the third ACM conference on Recommender systems*, pages 265–268. ACM, 2009.
- [61] Nasser M Nasrabadi. Pattern recognition and machine learning. *Journal of electronic imaging*, 16(4) :049901, 2007.
- [62] Leo Breiman. Random forests. *Machine learning*, 45(1) :5–32, 2001.
- [63] Jonathan L Herlocker, Joseph A Konstan, Al Borchers, and John Riedl. An algorithmic framework for performing collaborative filtering. In *Proceedings of the 22nd annual international ACM SIGIR conference on Research and development in information retrieval*, pages 230–237. ACM, 1999.
- [64] Yehuda Koren. Collaborative filtering with temporal dynamics. *Communications of the ACM*, 53(4) :89–97, 2010.

- [65] Ian H Witten, Eibe Frank, Mark A Hall, and Christopher J Pal. *Data Mining : Practical machine learning tools and techniques*. Morgan Kaufmann, 2016.
- [66] Charles Ling, Jin Huang, and Harry Zhang. Auc : a better measure than accuracy in comparing learning algorithms. *Advances in Artificial Intelligence*, pages 991–991, 2003.
- [67] Steffen Rendle and Lars Schmidt-Thieme. Pairwise interaction tensor factorization for personalized tag recommendation. In *Proceedings of the third ACM international conference on Web search and data mining*, pages 81–90. ACM, 2010.
- [68] Steffen Rendle and Lars Schmidt-Thieme. Factor models for tag recommendation in bibsonomy. In *ECML/PKDD 2008 Discovery Challenge Workshop, part of the European Conference on Machine Learning and Principles and Practice of Knowledge Discovery in Databases*, pages 235–243, 2009.
- [69] Claudio Biancalana, Fabio Gasparetti, Alessandro Micarelli, Alfonso Miola, and Giuseppe Sansonetti. Context-aware movie recommendation based on signal processing and machine learning. In *Proceedings of the 2nd Challenge on Context-Aware Movie Recommendation*, pages 5–10. ACM, 2011.
- [70] Neal Lathia, Stephen Hailes, Licia Capra, and Xavier Amatriain. Temporal diversity in recommender systems. In *Proceedings of the 33rd international ACM SIGIR conference on Research and development in information retrieval*, pages 210–217. ACM, 2010.
- [71] Mukund Deshpande and George Karypis. Item-based top-n recommendation algorithms. *ACM Transactions on Information Systems (TOIS)*, 22(1) :143–177, 2004.
- [72] Shlomo Berkovsky, Tsvi Kuflik, Lora Aroyo, Dominik Heckmann, Alexander Kröner, Francesco Ricci, and Geert-Jan Houben. Predicting user experiences through cross-context reasoning. In *LWA*, pages 27–31, 2006.
- [73] Alan Said, Shlomo Berkovsky, and Ernesto W De Luca. Introduction to special section on camra2010 : Movie recommendation in context. *ACM Transactions on Intelligent Systems and Technology (TIST)*, 4(1) :13, 2013.
- [74] Nathan N Liu, Bin Cao, Min Zhao, and Qiang Yang. Adapting neighborhood and matrix factorization models for context aware recommendation. In *Proceedings of the Workshop on Context-Aware Movie Recommendation*, pages 7–13. ACM, 2010.

- [75] Antoine Brenner, Bruno Pradel, Nicolas Usunier, and Patrick Gallinari. Predicting most rated items in weekly recommendation with temporal regression. In *Proceedings of the Workshop on Context-Aware Movie Recommendation*, pages 24–27. ACM, 2010.
- [76] Pedro G Campos, Alejandro Bellogín, Fernando Díez, and J Enrique Chavarriaga. Simple time-biased knn-based recommendations. In *Proceedings of the Workshop on Context-Aware Movie Recommendation*, pages 20–23. ACM, 2010.
- [77] Yue Shi, Martha Larson, and Alan Hanjalic. Mining mood-specific movie similarity with matrix factorization for context-aware recommendation. In *Proceedings of the workshop on context-aware movie recommendation*, pages 34–40. ACM, 2010.
- [78] Pei Wu, Weiping Liu, and Cihang Jin. A novel recommender system fusing the opinions from experts and ordinary people. In *Proceedings of the Workshop on Context-Aware Movie Recommendation*, pages 41–44. ACM, 2010.
- [79] Fernando Díez, J Enrique Chavarriaga, Pedro G Campos, and Alejandro Bellogín. Movie recommendations based in explicit and implicit features extracted from the filmtipset dataset. In *Proceedings of the Workshop on Context-Aware Movie Recommendation*, pages 45–52. ACM, 2010.
- [80] Bin Liu and Zheng Yuan. Incorporating social networks and user opinions for collaborative recommendation : local trust network based method. In *Proceedings of the Workshop on Context-Aware Movie Recommendation*, pages 53–56. ACM, 2010.
- [81] Hossein Rahmani, Beau Piccart, Daan Fierens, and Hendrik Blockeel. Three complementary approaches to context aware movie recommendation. In *Proceedings of the Workshop on Context-Aware Movie Recommendation*, pages 57–60. ACM, 2010.
- [82] Laurent Candillier, Kris Jack, Françoise Fessant, and Frank Meyer. State-of-the-art recommender systems. *Collaborative and Social Information Retrieval and Access Techniques for Improved User Modeling*, 2009.
- [83] Pinata Winoto and Tiffany Y Tang. The role of user mood in movie recommendations. *Expert Systems with Applications*, 37(8) :6086–6092, 2010.
- [84] Abbas Mardani, Ahmad Jusoh, Khalil MD Nor, Zainab Khalifah, Norhayati Zakwan, and Alireza Valipour. Multiple criteria decision-making techniques and their applications—a
-

- review of the literature from 2000 to 2014. *Economic Research-Ekonomska Istraživanja*, 28(1) :516–571, 2015.
- [85] Nikos Manouselis and Constantina Costopoulou. Analysis and classification of multi-criteria recommender systems. *World Wide Web*, 10(4) :415–441, 2007.
- [86] Thomas L Saaty. Decision making—the analytic hierarchy and network processes (ahp/anp). *Journal of systems science and systems engineering*, 13(1) :1–35, 2004.
- [87] Djallel Bouneffouf. Recommendation mobile, sensible au contexte de contenus\’evolutifs : Contextuel-e-greedy. *arXiv preprint arXiv :1402.1986*, 2014.